



SISTEMA PARA EL PROCESAMIENTO DE IMAGENES DIGITALES IMPLANTADO EN UNA MICROCOMPUTADORA

Tesis que para obtener el grado de Maestro en Ciencias de la Computación, presenta el Licenciado en Ciencias Físico Matemáticas:

Alfredo Cortés Anaya

**Unidad Académica de los Ciclos Profesional y de Posgrado
del Colegio de Ciencias y Humanidades. Universidad
Nacional Autónoma de México.**

**TESIS CON
FALLA DE ORIGEN**



Universidad Nacional
Autónoma de México



UNAM – Dirección General de Bibliotecas Tesis Digitales Restricciones de uso

DERECHOS RESERVADOS © PROHIBIDA SU REPRODUCCIÓN TOTAL O PARCIAL

Todo el material contenido en esta tesis está protegido por la Ley Federal del Derecho de Autor (LFDA) de los Estados Unidos Mexicanos (México).

El uso de imágenes, fragmentos de videos, y demás material que sea objeto de protección de los derechos de autor, será exclusivamente para fines educativos e informativos y deberá citar la fuente donde la obtuvo mencionando el autor o autores. Cualquier uso distinto como el lucro, reproducción, edición o modificación, será perseguido y sancionado por el respectivo titular de los Derechos de Autor.

Contenido

Página

Introducción	1
Capítulo 1 Preliminares	4
1.1 Requerimientos electrónicos	4
1.2 Obtención de imágenes	5
1.3 Nomenclatura y notación matemática	5
1.4 Automatas de estados finitos	8
Capítulo 2 Almacenamiento y despliegue de imágenes	11
2.1 Formato y almacenamiento de imágenes	11
2.2 Despliegue rápido de una imagen	13
2.3 Ventaneo y enrollamiento	19
Capítulo 3 Funciones de utilería	21
3.1 Ayuda al usuario	21
3.2 Manejo de errores	21
3.3 Definición de tablas de LUT's	23
3.4 Impresión de valores de una subimagen	24
3.5 Conversión de una matriz de datos a formato SPID	25
3.6 Composición de tres bandas	26
3.7 Extracción de bandas	28
Capítulo 4 Operaciones sobre imágenes	30

4.1 Operaciones puntuales	30
4.1.1 Normalización de las operaciones aritméticas	31
4.1.2 Programación de las operaciones aritméticas	31
4.1.3 Normalización del histograma	33
4.2 Operaciones de área	35
4.2.1 Filtros digitales lineales	35
4.2.2 Ampliación de imágenes	40
4.2.3 Interpolación lineal segmentaria	43
4.2.4 Interpolación cúbica segmentaria	45
4.2.5 Reducción de imágenes	49
4.3 Operaciones vectoriales	49
4.3.1 La Transformada de Fourier	50
4.3.2 Implantación de la transformada	52
Capítulo 5 Biblioteca de funciones del sistema SPID en C	58
5.1 Subrutinas de modo gráfico, alta resolución, spidtrj.h	59
5.2 Rutinas de graficación, spidgraf.h	61
5.3 Subrutinas de entrada/salida, spides.h	62
5.4 Subrutinas de propósito general, spidgral.h	65
5.5 Subrutinas de punto flotante, spidflot.h	69
5.6 Subrutinas de alto nivel, spidlib.h	70
Capítulo 6 Programa fuente SPID.C	73
Capítulo 7 Conclusiones	83
Apéndice A. Programas de la biblioteca SPIDES.ASM	85
Apéndice B. Constantes y tipos de SPID	102
Bibliografía	106

Algoritmos

	Página
Despliegue de imágenes	15
Despliegue de una subimagen	17
Despliegue del histograma	18
Ampliación de imágenes en línea	19
Definición de tablas de LUT's	25
Conversión de imágenes a formato SPID	26
Composición de 3 bandas de una imagen multiespectral	28
Extracción de una banda en una imagen multiespectral	29
Suma de imágenes	32
Normalización del histograma de una imagen	34
Filtraje de imágenes	38
Extrapolación de datos en una subimagen	39
Filtraje de subimágenes	40
Ampliación de imágenes por doblamiento de elementos	43
Ampliación de imágenes por interpolación lineal segmentaria	45
Reducción de imágenes por supresión de elementos	49
Cálculo de la semi-transformada	53
Transformada rápida de Fourier de un renglón	55
Cálculo de las amplitudes máxima y mínima y normalización del espectro	57

Tablas

	Página
Matriz de transición, M^t y matriz de salidas M^s que utiliza SPID.	8
Funciones de salida dadas por la matriz M^s de la tabla anterior.	9
Errores posibles de ser detectados en el uso de SPID	21
Ejemplo de una tabla de LUT's, que define 16 tonos de gris	23

Este trabajo de tesis presenta al *Sistema para el Procesamiento de Imágenes Digitales* (SPID) implantado en una microcomputadora. Los aspectos más importantes de este sistema son:

1. Efectuar operaciones sobre imágenes, transformando éstas de acuerdo a una función aplicada, (*e.g.* operaciones aritméticas, filtrajes, etc.). Existe una gran variedad de operaciones que se pueden realizar sobre las imágenes, sin embargo, en el SPID se han implantado sólo las más representativas, ya que la finalidad de este trabajo es dar la estructura básica necesaria para desarrollos posteriores, de acuerdo a las necesidades específicas de cada usuario.
2. Transportar datos entre los diferentes dispositivos de almacenamiento de la microcomputadora. El volumen de datos en un sistema de procesamiento de imágenes es considerable, por lo que se deben utilizar algoritmos eficientes para lograr una velocidad óptima en la transferencia. Básicamente, la operación más usual de traslado de datos en el SPID es de la memoria principal al disco y viceversa.
3. Obtener información referente a las imágenes en cuanto a la distribución de sus datos (*e.g.* histograma). Estas operaciones no alteran el contenido de una imagen, pero sirven como base a operaciones del tipo mencionado en el primer párrafo.

El *procesamiento de imágenes digitales* es un conjunto de métodos y técnicas enfocados hacia un objetivo general: Mejorar el aspecto visual (cualitativo) de una imagen, de tal manera que resulte más fácil detectar contrastes en la misma, para una mejor evaluación de los recursos naturales que la imagen represente.

Suponemos aquí que una imagen es un arreglo matricial que se puede considerar como una función de dos variables discretas:

$$\vartheta_{ij}, \quad \{1 \leq i \leq M, 1 \leq j \leq N\},$$

en donde M es el número de renglones y N el número de columnas de la imagen, respectivamente. La función anterior es el resultado de un muestreo bidimensional de una escena determinada; este muestreo se logra generando una malla rectangular y equiespaciada sobre la escena, en la que se determinan valores correspondientes a alguna característica física. Generalmente los valores de ϑ están asociados a tonos de gris que representan la

respuesta espectral de la escena, en un $\Delta\lambda$ de longitudes de onda dado. El intervalo de la función se define en el conjunto $Z_{[0..255]}$, (los enteros en el intervalo $[0..255]$). Este conjunto no es más que el intervalo de valores que un número entero de 8 dígitos binarios¹ puede representar. Son 8 *dígitos binarios*, llamados octetos (*bytes*), precisamente los que definen el valor de un elemento de imagen (*pixel*).

El advenimiento de las computadoras digitales y de los dispositivos electrónicos en los que se puede representar y desplegar una imagen han venido a contribuir al desarrollo y al análisis de su contenido, debido a su velocidad de procesamiento, fundamental en el tratamiento de imágenes en donde la cantidad de información a procesar puede ser muy grande.

Podemos mencionar algunos ejemplos del campo de acción del procesamiento de imágenes a la Geofísica y la Geología, en donde esta técnica puede jugar un papel de mucha importancia en el análisis, evaluación y explotación de los recursos naturales de nuestro planeta. Esta información se obtiene por medio de satélites artificiales utilizando mecanismos ópticos y electrónicos muy elaborados.

En general, las imágenes se pueden clasificar en cuatro clases representativas [Pav182]:

- Clase 1** Todas aquellas imágenes formadas por una escala completa de grises (256) y las imágenes de color. Las imágenes de satélite pertenecen a esta clase. Su almacenamiento se lleva a cabo en forma matricial, renglón a renglón como una cadena de longitud $M \times N$.
- Clase 2** Todas las imágenes formadas por dos colores (blanco y negro), por lo que se les llama *imágenes binarias*. Para su almacenamiento se utiliza la misma técnica que en el párrafo anterior, excepto que ahora son sólo dos valores.
- Clase 3** Las imágenes compuestas de líneas y curvas continuas; por ejemplo un diagrama que muestre las curvas de nivel de una función bidimensional.
- Clase 4** Estas imágenes constan sólo de puntos aislados y muy separados entre sí, respecto al espacio que ocupan. No llenan el plano que los contiene como lo hace una imagen de clase 1, por lo que para su almacenamiento se requiere el valor de las coordenadas de cada uno de sus puntos.

El sistema SPID utiliza imágenes de la clase 1, ya que el monitor puede desplegar 256 colores diferentes y las imágenes están codificadas utilizando este mismo número de valores. Una de las características que hacen de SPID un sistema amigable es el uso de menús dado que éstos son de gran utilidad en la programación de sistemas por la interacción que debe tener el usuario con la computadora. Un *menú* es una manera cómoda de presentarle al usuario las alternativas de solución a su problema, con el mínimo esfuerzo de su parte y de una manera interactiva; la característica principal de todo manejador de menús es la de

¹ En inglés se les llama *bits* de su abreviación *binary digit*.

presentar al usuario un conjunto de alternativas de las cuales pueda elegir las necesarias para la solución de su problema. Un manejador de menús se implanta eficientemente con el uso de autómatas de estados finitos, cuyas características de ejecución e implantación se definen en el capítulo 1. El despliegue de imágenes es de importancia fundamental en un sistema interactivo, ya que éste debe ser tan rápido como sea posible.

Capítulo 1

Preliminares

Todo libro o artículo técnico requiere de un marco matemático de referencia con base en el cual se pueda desarrollar la teoría pertinente; esta tesis no es la excepción y es en este capítulo donde se definirán los antecedentes matemáticos relacionados con el diseño e implantación del SPID.

1.1 Requerimientos electrónicos

El equipo de cómputo básico que SPID requiere es una tarjeta gráfica de alta resolución, 256K octetos de memoria principal y un monitor a color. La impresora es opcional, pero si se cuenta con ella, entonces se podrán obtener copias de imágenes en papel.

Para el despliegue de una imagen se utiliza una tarjeta de alta resolución conocida como HLGE (de su nombre en inglés *High Level Graphics Engine*) que significa *Tarjeta gráfica de alta resolución*. Se considera que el despliegue de una imagen es una de las partes más importantes de un sistema interactivo, y la HLGE lo realiza de manera satisfactoria en cuanto a velocidad y resolución se refiere ya que el despliegue de una imagen de 480×640 elementos se lleva a cabo aproximadamente en 2 segundos.

La tarjeta de alta resolución permite el despliegue de imágenes haciendo un uso mínimo del microprocesador de la computadora. La resolución espacial que proporciona la tarjeta es de 480 renglones \times 640 columnas mostrando 256 colores a la vez, que se pueden escoger de 4096 opciones. Tiene un emulador de gráficas a color que permite a la computadora ejecutar programas de gráficas como si se tratara de la tarjeta CGA (*Color Graphics Adaptor*), utilizada por la mayoría de las microcomputadoras IBM-AT con una resolución de 200×320 elementos a 4 colores. La HLGE tiene su propio microprocesador de 32 bits que procesa los comandos que se le envían desde el CPU de la microcomputadora.

El procesador de comandos utiliza una sección de memoria fija del sistema cuya longitud es de 1024 octetos, área de donde toma los comandos que el sistema le envía.

La HILGE tiene un área interna de memoria de 307200 octetos que mapea, a través de un filtro, a la pantalla de despliegue; este filtro define la intensidad en cada uno de 3 haces de luz (ROJO, VERDE Y AZUL), los cuales, al mezclarse, definen un color. La intensidad se le proporciona como un arreglo de 3 valores en el intervalo $[0..15]$, que corresponden a cada color primario. Para el despliegue de imágenes en blanco y negro, se logran únicamente 16 tonos diferentes que varían entre el blanco y el negro, obtenidos de mezclar iguales intensidades de luz en los tres haces: ROJO, VERDE Y AZUL (el negro se obtiene con la tercia $(0,0,0)$ y el blanco con $(15,15,15)$).

Es importante mencionar que SPID hace los despliegues por bloques de datos y que en ningún momento almacena en memoria principal del sistema más de 64K octetos. De la misma manera, para cualquier tipo de operación se trabaja con bloques pequeños de memoria que se pueden manejar fácilmente en la microcomputadora, pero sin causar trabajo excesivo a la unidad lectora de disco, ya que esto haría que el sistema fuese lento. Es decir, se escogen los bloques de datos que optimicen el espacio en memoria y la lectura en disco.

Hay algunas operaciones matemáticas que gastan mucho tiempo de microprocesador. En estos casos, es necesario el uso de un coprocesador matemático. El sistema funciona con un coprocesador matemático 8087/80287 para el procesamiento de imágenes, principalmente en las operaciones de área y vectoriales. Sin el coprocesador el SPID no funciona.

1.2 Obtención de imágenes

Existen al menos tres métodos para obtener una imagen digitizada: El primer método consiste en generar la imagen con dispositivos electrónicos integrados en los satélites del tipo LANDSAT y SPOT, equipo con el que generan imágenes digitizadas de escenas correspondientes a medios diferentes, utilizando medios ópticos.

El segundo método consta de un sistema digitizador que se compone de una cámara de televisión y de un rastreador. Este último genera un archivo de datos; con la imagen captada por la cámara, asignando valores de acuerdo a la intensidad luminosa en la escena.

Finalmente las *imágenes sintéticas* se forman a partir de funciones matemáticas. Por ejemplo una función de dos variables discretas para que genere un conjunto de puntos que definen, a su vez, una superficie. Este conjunto de puntos se selecciona de tal manera que forman una malla espaciada, finita, en cuyo intervalo se encuentra definida la función. Si los valores de la superficie se mapean en el conjunto $Z_{[0...255]}$, se obtiene una imagen.

1.3 Nomenclatura y notación matemática

Se define el conjunto \mathfrak{S} cuyos elementos son todas aquellas imágenes que maneja SPID, de la forma I^{MN} , en donde MN es la dimensión de la imagen: M renglones \times N columnas. Se utiliza la variable v_{ij} para identificar al elemento de una imagen que se encuentra en el renglón i y en la columna j .

Ventana es el área de una imagen que se puede ver, y el "enrollamiento", tiene como función mover esta ventana a lo largo y ancho de la imagen permitiendo al usuario la visualización completa de la misma, cuando sus dimensiones son mayores de lo que un monitor puede mostrar en la pantalla.

La notación $[x]$ define al entero obtenido a partir de x y que se encuentre más cercano a 0, es decir, el entero máximo menor o igual a x si $x > 0$; mientras que si $x < 0$, representa el entero mínimo mayor o igual a x .

$Z_{\{x_1, \dots, x_2\}}$ es el conjunto de enteros $\{x_1, \dots, x_2\}$. En este trabajo se hace continua referencia al conjunto $Z_{[0, \dots, 255]}$; el conjunto de enteros que se puede representar con un octeto. Se hace poca referencia a los conjuntos, únicamente en lo que se refiere a su uso en la representación de autómatas de estados finitos analizados en la siguiente sección. Un conjunto se escribirá con letras caligráficas, por ejemplo: A, B, C , etc. La cardinalidad de un conjunto A se denotará como $|A|$.

El *esfuerzo computacional* de un algoritmo se define como la cantidad de operaciones aritméticas (suma, resta, división y multiplicación), operaciones de acceso a disco (búsqueda de datos y direccionamiento del apuntador a los archivos) y operaciones de movimiento de datos en memoria principal y de ésta a la memoria integrada de la HLGE. Al esfuerzo computacional de un algoritmo F se denota como $C(n)$, en donde n es el tamaño del mismo. El *tamaño* n de un algoritmo se define de acuerdo al contexto del mismo, por ejemplo, si se trata de un producto escalar, el tamaño n es la cantidad de elementos en un vector; si se trata de una multiplicación matricial, entonces el tamaño n del problema es la dimensión de una matriz, etc.

El *orden de un algoritmo* se define de la siguiente manera: Sea un algoritmo F y sean $C(n)$ y $f(n)$ dos funciones de $N \rightarrow N$, donde n es el tamaño del problema que se quiere resolver y $C(n)$ es el esfuerzo computacional del algoritmo F ; se dice que $C(n) = O(f(n))$ si existen constantes $c > 0$ y $k \geq 0$ tales que $|C(n)| \leq c|f(n)| \quad \forall n \geq k$. Esta definición indica que dada una función $C(n)$, existe otra función $f(n)$ que multiplicada por una constante acota a $C(n)$ y $O(f(n))$ es el orden del algoritmo F .

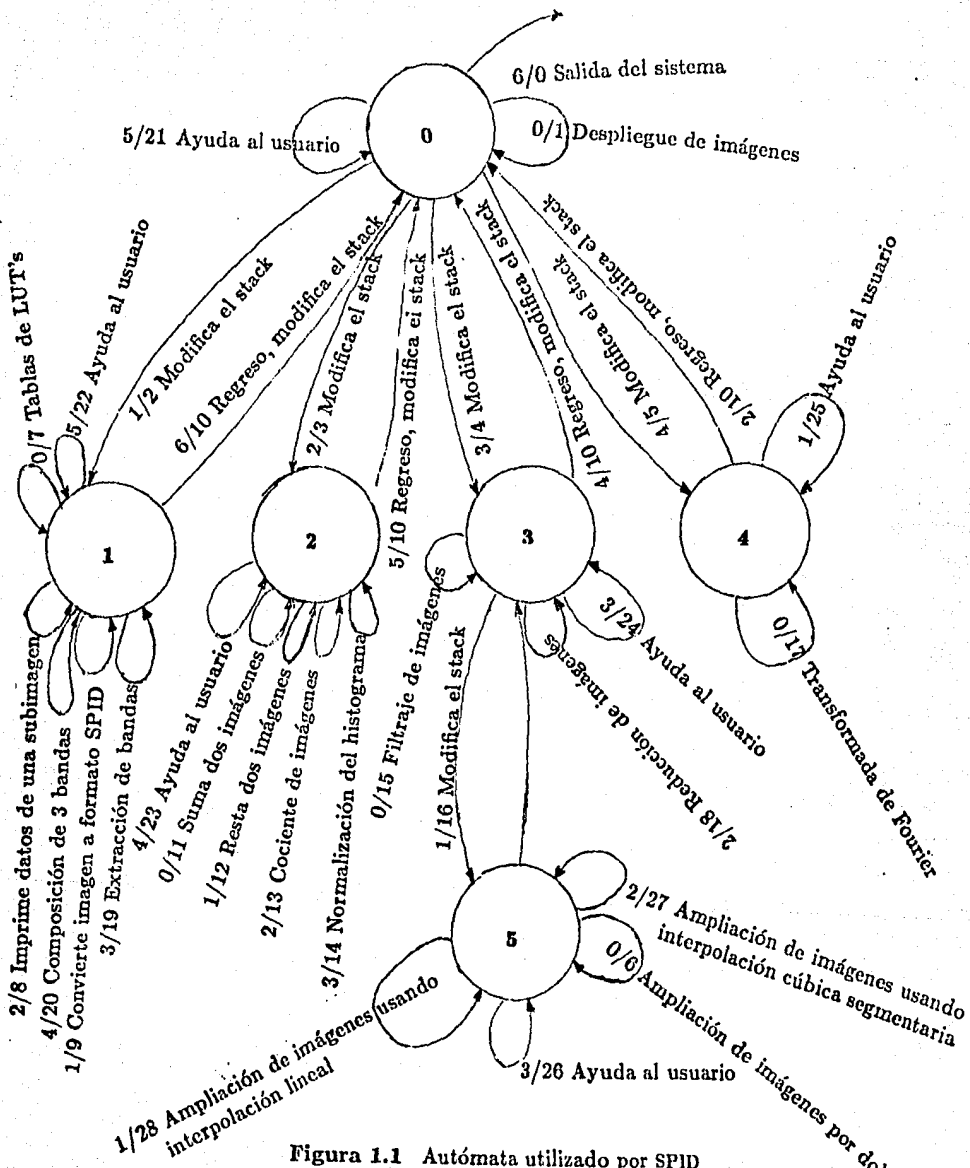


Figura 1.1 Autómata utilizado por SPID

1.4 Automatas de estados finitos

Debido a que el núcleo de SPID está gobernado por un *autómata o máquina de estados finitos*, en esta sección se definirán algunos conceptos matemáticos referentes a estos conceptos. Al final de esta sección se presenta una manera de implantarlos en una computadora como parte integral de un sistema interactivo.

La teoría de autómatas se puede definir como el "*análisis en el comportamiento dinámico de los sistemas de información cuyos parámetros son discretos*" [Boot 67], estos parámetros se pueden dividir en tres categorías: parámetros de entrada, parámetros que indican el estado del sistema y parámetros de salida. Los *parámetros de entrada* consisten en un conjunto de elementos que definen el comportamiento del autómata y que el sistema recibe produciendo un cambio en su comportamiento. Los *parámetros de salida* representan el comportamiento *observable* del sistema y constan principalmente de funciones y procedimientos que el sistema ejecuta en respuesta a los parámetros de entrada.

Cabe señalar que el concepto de teoría de autómatas es una abstracción matemática relacionada con la invención y estudio de máquinas idealizadas a las que se les conoce con el nombre de *autómatas*. La abstracción está relacionada con el manejo de información en dispositivos electrónicos tales como una computadora, la cual es precisamente nuestra herramienta de trabajo en el desarrollo de este sistema. En esta sección se mencionará la importancia y la facilidad del uso de una abstracción matemática de este estilo.

Como se puede ver en la Fig. 1.1, el autómata utilizado por el sistema SPID consta de 6 estados, tiene 7 parámetros de entrada y genera 28 funciones de salida. Para la representación de este autómata en un sistema se requiere usar una estructura de datos conveniente que represente lo mejor posible dentro de la computadora el diagrama de la Fig. 1.1. Veremos en seguida que la mejor representación es a través de matrices.

La representación matricial de un autómata requiere de dos matrices: M^t y M^s ; en la matriz M^t se almacena el estado siguiente mientras que en M^s se almacena un índice que apunta a una función de salida. El elemento M_{ij}^t es el estado al que debe pasar el autómata cuando se encuentre en el estado e_i y reciba un símbolo de entrada a_j ; y el elemento M_{ij}^s es el apuntador a una función de salida correspondiente al cambio de estado. Si el autómata que se representa consta de $|\mathcal{E}|$ estados y $|\mathcal{A}|$ símbolos de entrada, entonces la matriz de transición tendrá respectivamente $|\mathcal{E}|$ renglones y $|\mathcal{A}|$ columnas. En la Tabla 1.1 se muestran las matrices que utiliza SPID.

Matriz de transición M^t							Matriz de salidas M^s						
0	1	2	3	4	0	6	1	2	3	4	5	21	0
1	1	1	1	1	1	0	7	9	8	19	20	22	10
2	2	2	2	2	0	0	11	12	13	14	23	10	10
3	5	3	3	0	3	0	15	16	18	24	10	0	10
4	4	0	4	4	4	0	17	25	10	0	0	0	10
5	5	5	5	3	5	3	6	28	27	26	10	0	10

Tabla 1.1 Matriz de transición, M^t y matriz de salidas M^s que utiliza SPID.

Los valores numéricos que aparecen en la matriz de salidas M^s tienen asignada una función específica dada por la Tabla 1.2:

A manera de ejemplo y considerando el diagrama de la Fig. 1.1 y las Tablas 1.1 y 1.2, supóngase que SPID se encuentra en el estado 2, (renglón 2 de la matriz de transición M^t) y recibe de entrada un 2 (columna 2 de M^t), generará una salida igual al número que se encuentra en la misma posición en la matriz de salidas M^s (renglón 2, columna 2), que es 13 (los renglones y columnas de las matrices se numeran desde 0), viendo la Tabla 1.2, en la entrada 13 dice "Cociente de imágenes", que no es más que una rutina que se ejecutará enseguida.

Salida	Función realizada
1	Despliegue de imágenes
2	Modifica el stack
3	Modifica el stack
4	Modifica el stack
5	Modifica el stack
6	Ampliación de imágenes por doblamiento
7	Tabla de luts
8	Imprime una subimagen
9	Convierte una imagen a formato SPID
10	Modifica el stack
11	Suma dos imágenes
12	Resta dos imágenes
13	Cociente de imágenes
14	Normalización del histograma
15	Filtraje de imágenes
16	Modifica el stack
17	Transformada de Fourier
18	Reducción de imágenes
19	Extracción de bandas
20	Composición de 3 bandas
21	Ayuda al usuario
22	Ayuda al usuario
23	Ayuda al usuario
24	Ayuda al usuario
25	Ayuda al usuario
26	Ayuda al usuario
27	Ampliación de imágenes usando interpolación cúbica segmentaria
28	Ampliación de imágenes usando interpolación lineal

Tabla 1.2 Funciones de salida dadas por la matriz M^s de la tabla anterior.

Almacenamiento y despliegue de imágenes

Una de las partes clave en un sistema para el procesamiento de imágenes digitales es su preparación y manejo; básicamente su almacenamiento pero, más importante, su despliegue; éste debe ser lo más rápido posible debido a las características interactivas con las que debe trabajar cualquier sistema como SPID.

En este capítulo se desglosa la estructura interna de una imagen; se analiza su despliegue en un monitor de alta resolución y se revisan algunos aspectos de SPID que, propiamente, no son procesos sobre imágenes sino más bien de ayuda al usuario. Por ejemplo, el uso de ventanas para la visualización por secciones de una imagen y del enrollamiento; con lo que el usuario puede ver toda la imagen, por muy grande que ésta sea, utilizando una ventana que se puede deslizar a lo largo y ancho de la imagen almacenada en disco.

2.1 Formato y almacenamiento de imágenes

La estructura de datos que se emplee en la representación de una imagen depende mucho del dispositivo de almacenamiento utilizado, que puede ser cinta, disco o memoria principal. La estructura es importante en la implantación, eficiencia y tiempo de respuesta de los algoritmos y programas de acceso a estos datos, por lo que resulta de crucial importancia la selección de una estructura adecuada de almacenamiento de imágenes. En la representación de una imagen se debe contemplar la posibilidad de almacenar imágenes multispectrales, facilidad de accesos a disco directo y aleatorio, ya que esto último permitirá trabajar con subimágenes.

La estructura de datos en disco utilizada por SPID para almacenar una imagen es muy sencilla y consta de dos partes fundamentales: en la primera parte se encuentran los

datos que definen la imagen, mientras que en la segunda parte se encuentran algunos datos relacionados con sus características.

Al principio, se encuentra el histograma de la imagen, seguida por dos datos muy importantes: los valores mínimo y máximo dentro de la imagen y sus dimensiones—*alto x ancho*.

El histograma necesita 1K octetos de espacio ya que cada valor se almacena en 4 octetos y son 256 valores por almacenar. En seguida vienen 6 octetos con la siguiente información: En el primero se encuentra el valor del elemento mínimo dentro de la imagen, mientras que en el segundo se almacena el valor máximo; los cuatro restantes almacenan las dimensiones de la imagen 2 para los renglones y 2 para las columnas, éstos representan números enteros sin signo, con lo que se pueden manejar (procesar) imágenes cuyas dimensiones sean de 65536×65536 elementos, lo cual es suficiente para una imagen común, ya que sólo para su almacenamiento se requeriría del orden de 429 Mb,¹ las imágenes de satélite LANDSAT 4 y 5 pueden ser de hasta 6000×6000 . En la Fig. 2.1 se muestra gráficamente la estructura de una imagen en formato SPID.

MATRIZ DE DATOS DE LA IMAGEN				
Histograma de la imagen 1024 octetos	Elemento Mínimo	Elemento Máximo	Número de Renglones	Número de Columnas

Figura 2.1 Estructura de una imagen en el SPID

La estructura matricial que se le ha dado a las imágenes, obedece a que la mayoría de las operaciones que realiza SPID se simplifican con este esquema por tratarse de operaciones puntuales y de área.

Hasta ahora se ha hecho referencia a una imagen matricial, sin embargo, los datos en disco se encuentran almacenados en un arreglo lineal donde se han concatenado los renglones de la imagen, de arriba hacia abajo, uno a continuación del otro. El valor de un elemento $\vartheta_{i,j} \in I^{MN}$ (renglón i , columna j) se encuentra en el arreglo lineal en la posición:

$$\vartheta_{i,j} = (i - 1) * M + j \quad \forall 1 \leq i \leq M \quad y \quad \forall 1 \leq j \leq N. \quad (2.1)$$

La posición inicial del histograma de una imagen se calculará con la fórmula:

¹ Una microcomputadora con disco duro maneja del orden de 40Mb.

$$Basc_h = x - 1030 \quad (2.2)$$

en donde el valor 1030 surge de sumar 1024 (el tamaño del histograma) y 6 (la información que define la imagen).

La posición de los elementos mínimo y máximo de una imagen se calculan con las fórmulas siguientes:

$$\begin{aligned} \vartheta_{min} &= val(x - 6) \\ \vartheta_{max} &= val(x - 5), \end{aligned} \quad (2.3)$$

las dimensiones M y N se calculan con las fórmulas:

$$\begin{aligned} M &= val(x - 4) * 256 + val(x - 3) \\ N &= val(x - 2) * 256 + val(x), \end{aligned} \quad (2.4)$$

en donde x es la longitud total del arreglo lineal que compone la imagen y la función $val(a)$ regresa el valor de la localidad a en el arreglo. Se definen M y N en función de x ; x se calcula a partir de la longitud de un archivo en disco. La función LeeLongImg, explicada en el Capítulo 5, se encarga de actualizar el valor de x de las fórmulas anteriores.

La estructura de almacenamiento de los datos posibilita una visualización más clara de la imagen, permitiendo a la vez el acceso a una subimagen cualesquiera, dando las coordenadas de su esquina superior izquierda y las dimensiones de la misma, tarea que realiza la función LeeSubImg, analizada más a fondo en el Capítulo 5. Esta posibilidad de acceder subimágenes de manera rápida es una de las principales características del sistema SPID.

Las imágenes que SPID puede manejar no tienen restricciones severas, aun cuando sus dimensiones sean grandes. Para su manejo, se dividen en bloques cuyo tamaño no exceda el de la memoria principal, de tal manera que se puedan manejar en este espacio procesando los bloques uno a uno, permaneciendo el resto en disco, hasta procesar la imagen completa. Con este esquema se requiere que SPID sea capaz de leer y escribir de disco a memoria y viceversa, tan rápido como sea posible. Como se ha mencionado, los algoritmos que se presentan en este trabajo intentan tener un máximo de eficiencia. En el Apéndice A se listan las subrutinas utilizadas en el manejo de entrada/salida de datos, ahí mismo se resalta la importancia de la implantación de las funciones de lectura y escritura de datos a disco, que es una de las tareas más frecuentes y que consumen más tiempo.

2.2 Despliegue rápido de una imagen

Con el uso de la tarjeta de alta resolución, el monitor puede desplegar la sección de una imagen de 480 renglones por 640 columnas. La HLGE contiene memoria interna dedicada exclusivamente al monitor y de la cual hace un mapeo directo al mismo. El despliegue de un punto se traduce a la escritura de datos en una localidad de esta memoria, cada punto ocupa un octeto de memoria, por lo que se pueden desplegar 256 colores a la vez (de un conjunto de 4096). El acceso a la memoria de la tarjeta no es directo, se puede hacer mediante un comando de control, sin embargo, no es con este método que conviene desplegar una imagen, ya que tarda del orden de 15 segundos en desplegar toda la pantalla, y en este tipo de programas es un tiempo demasiado largo.

En SPID se programa el DMA (*Direct Memory Access*) del sistema para hacer transferencias directas entre la memoria de la tarjeta y la memoria de la computadora y viceversa, con lo cual se logra el despliegue de una imagen en fracciones de segundo.

Cada vez que se desea ver una sección de imagen, ésta se lleva de disco a memoria principal y de ahí se despliega a través del DMA. Este esquema puede parecer tardado pero el trabajar con bloques de memoria menores o iguales a 64K octetos facilita mucho las transferencias, sobre todo si se considera que el canal del DMA transfiere información a una velocidad aproximada de 400 Kb/s por segundo.

En el algoritmo 2.1 se muestra cómo se lleva a cabo el despliegue de una imagen. En este algoritmo hay algunos pasos generales que requieren mayor explicación, tales como los que incluyen los programas: DESPLEGAR.IMAGEN, DESPLEGAR.HISTOGRAMA y AMPLIAR.IMAGEN. Los algoritmos 2.2 al 2.4 correspondientes a estos programas se muestran a continuación.

Debido a que en esta tesis se pretende también hacer una evaluación aproximada del *esfuerzo o costo computacional de los algoritmos*, que puede llamarse también *complejidad de un algoritmo*² se evaluará la complejidad de los algoritmos de despliegue. La complejidad de éstos es proporcional al tamaño de la imagen en el caso del despliegue de una imagen, mientras que el despliegue del histograma y del cambio de tablas LUT's es constante.

² Normalmente este parámetro se da en función de la cantidad de operaciones aritméticas que los algoritmos realizan, y en este trabajo así se hizo. Sin embargo, no se debe negar la posibilidad de realizar la evaluación de un algoritmo tomando en consideración otro tipo de operaciones, como puede ser el movimiento de datos entre memoria principal y secundaria.

```

1  Inicio del algoritmo
2  Leer un caracter, mientras éste no sea ESC
   y el estado actual no sea 0, hacer :
3  si el caracter leído es 'A' o 'a' hacer :
4      Crear el medio ambiente de AMPLIACION
5      Leer a través del DMA la subimagen a ampliar
6  fin_si
7  si el caracter leído es 'D' o 'd' hacer :
8      Crear el medio ambiente y el menú de DESPLIEGUE
9      Ejecutar el programa DESPLEGAR.IMAGEN
10 fin_si
11 si el caracter leído es 'H' o 'h' hacer :
12     Crear el medio ambiente del HISTOGRAMA
13     Ejecutar el programa DESPLEGAR.HISTOGRAMA
14 fin_si
15 si el caracter leído es 'L' o 'l' hacer :
16     Cambiar la tabla de LUT's y avanzar el índice
       en el archivo TBL-LUTS.DAT
17 fin_si
18 si el caracter leído es 'CR' hacer :
19     Ejecutar el programa AMPLIA.IMAGEN y desplegar
       la imagen ampliada, con opción a seguir ampliando
20 fin_si
21 si fue una función especial (↑, ↗, →, ↘, ↓, ↙, ←, ↖), entonces
       mover la ventana de ampliación en la dirección indicada
22 fin_si
23 fin_mientras
24 Fin del algoritmo

```

Algoritmo 2.1 Despliegue de imágenes

Cabe hacer notar que el sistema utiliza dos segmentos de memoria de 64K octetos para el almacenamiento de datos temporales. A estos segmentos se les ha dado el nombre de SEG.IMG1 y SEG.IMG2, respectivamente. Las transferencias de datos, utilizando el DMA sólo se pueden hacer en límites físicos de memoria que empiecen en segmentos de 64K, no se pueden hacer en otras particiones tal como lo hacen los segmentos de datos o de código. Esta restricción es algo impositiva en el uso del DMA, ya que con esto el sistema se ve restringido a utilizar conjuntamente los dos segmentos mencionados anteriormente.

La forma en que se determina la partición de 64K es tomando en consideración que los dos segmentos lógicos se encuentran contiguos en memoria y ambos límites cruzan una partición de 64K como se muestra en la figura 2.2.

Segmento $n - 2$	Segmento	$n - 1$	Segmento	n	Segmento	$n + 1$	Segmento $n + 2$
		SEG_IMG1		SEG_IMG2			

Figura 2.2 Uso físico y lógico de segmentos en memoria

La memoria física es con la que cuenta toda computadora como circuitos integrados, encima de la cual se crean particiones a las cuales se les denomina memoria lógica, ésta última es con la que se entienden los programas de aplicación como lo es SPID. La figura 2.2 se debe interpretar de la siguiente manera: Existen dos capas que se sobreponen: La que forman los segmentos físicos (Segmento $n - 2$, ..., Segmento $n + 2$) y la que forman los segmentos lógicos (SEG_IMG1 y SEG_IMG2).

Se puede apreciar en la misma figura que los segmentos lógicos se fijan en tres segmentos físicos, a saber, $n - 1$, n , $n + 1$, de los cuales, sólo el segundo se cubre totalmente.

Cada segmento físico de 64K octetos se identifica con un número entre 0 y 15 (Fh, hexadecimal), para encontrar el número $n \in Z_{[0...15]}$ se lleva a cabo la siguiente operación:

$$n = \text{SEG_IMG2} \&\& \text{F000h} \gg Ch \quad (2.5)$$

en donde $\&\&$ denota el AND lógico entre bits de los números involucrados, mientras que \gg denota el corrimiento de bits a la derecha. El AND hace ceros todos los bits del número SEG_IMG2, excepto los 4 más significativos, mientras que el corrimiento los mueve a la derecha ajustando n al conjunto $Z_{[0...15]}$.

La función BaseImg, explicada en el capítulo 5 utiliza la fórmula anterior para calcular la partición a 64K y de esta manera se puede utilizar en la transferencia de datos, vía el DMA.

El despliegue de una subimagen se lleva a cabo leyendo bloques de 64K octetos de disco a memoria a través del DMA, y de memoria se pasan a la tarjeta de despliegue, la cual a través de un mapeo a su memoria y utilizando la tabla de LUT's definida en el momento, despliega la imagen. El algoritmo de despliegue de imágenes es el 2.2.

En el paso 3 del Algoritmo 2.2 se utiliza la función LeeSubImg analizada en el apéndice A. En casi todos los algoritmos se utiliza esta función por la propiedad de SPID de hacer todas las operaciones por subimágenes.

1	Inicio del algoritmo
2	mientras falten líneas por desplegar, hacer :
3	Leer una subimagen a memoria
4	Escribir la subimagen a la tarjeta, vía el DMA
5	Actualizar el número de líneas leídas y desplegadas
6	fin_mientras
7	Fin del algoritmo

Algoritmo 2.2 Despliegue de una subimagen

La complejidad del algoritmo depende únicamente de la longitud de la imagen desplegada y esto se debe a la forma en que se leen los datos.

Analizaremos someramente el funcionamiento de LeeSubimg: Lee de disco el número de líneas que puedan almacenarse en un bloque de memorias de 64K, resulta claro que entre más ancha sea una imagen menos renglones se harán, la fórmula usada es:

$$\text{LineasALeer} = \frac{64K}{N} \propto \frac{1}{N} \quad (2.6)$$

en donde N es el ancho de la imagen. Para desplegar toda la subimagen se repite el proceso de lectura de bloques x veces, en donde:

$$x = \left\lceil \frac{\text{ALTOPAN}}{\text{LineasALeer}} \right\rceil \propto N \quad (2.7)$$

de donde se puede ver que el orden del algoritmo de despliegue es lineal ($O(N)$).

En el paso 13 del algoritmo 2.1 se hace mención al despliegue del histograma, este despliegue es bastante rápido ya que la información se encuentra disponible en cada imagen (ver la Fig. 2.1). La altura máxima de cada valor del histograma es igual a ALTOHISTO, que en el archivo SPID.DEF, mostrado en el apéndice B, tiene un valor de 415 puntos. Cada valor del histograma se escala a este máximo y se traza una línea vertical de la altura correspondiente al escalamiento dado por la fórmula:

$$\text{Altura de cada valor} = \frac{\text{Valor máximo en el histograma}}{\text{ALTOHISTO}} \text{ Valor a desplegar} \quad (2.8)$$

La *Altura de cada valor* está dado en puntos en la pantalla de despliegue, el *valor máximo del histograma* se calcula a partir de todos sus valores y el *valor a desplegar* varía desde el 0 hasta el 255, para cada imagen. El algoritmo se muestra a continuación:

1	Inicio del algoritmo
2	Leer los valores del histograma
3	Calcular el elemento máximo (Max.Histo)
4	Calcular el cociente: $\text{Cociente} = \frac{\text{Max.Histo}}{\text{ALTOHISTO}}$
5	para cada elemento en el histograma, hacer :
6	Calcular el número de puntos cuya altura se desplegará para este valor, con la fórmula 2.6 anterior, pero sin calcular cada vez el cociente del paso 4
7	Desplegar la línea con la altura calculada
8	fin para
9	Fin del algoritmo

Algoritmo 2.3 Despliegue del histograma

En el paso 2 del algoritmo anterior se utiliza la función LeeHisto, esta función carga en memoria el histograma de la imagen que es un arreglo de 256 valores. En el paso 3 se encuentra el elemento máximo de estos valores y se hace un mapeo (paso 6) de cada valor del histograma para ser desplegada una línea proporcional al valor en cuestión. La complejidad en cada uno de los pasos de este algoritmo es constante, por lo que la complejidad de todo el algoritmo es también constante.

La ampliación de imágenes se lleva a cabo en el modo de despliegue o a través de los menús. El primer caso se puede considerar que es *proceso en línea*, mientras que el segundo como *proceso por bloques*. Se le llama en línea porque al momento de elegir una ampliación se lleva a cabo en el momento y se despliega inmediatamente el resultado, sin almacenar el resultado en disco; mientras que en el proceso por bloques la imagen obtenida se almacena en disco, sin desplegarse.

En el caso de ampliación por bloques, existen tres maneras de hacerlo, como se verá en este capítulo: Por doblamiento de elementos, por interpolación lineal y por interpolación cúbica. Por otro lado la ampliación en línea se lleva a cabo utilizando interpolación lineal, se escogió ésta ya que es más rápida que la cúbica y da más resolución que el doblamiento de elementos.

La complejidad del algoritmo 2.4, de ampliación en línea, es constante ya que depende de constantes, el área que se amplía en línea es de $(\text{ALTOSUB} \times \text{ANCHOSUB})$ y se amplía $2 \cdot \text{ALTOSUB} \times 2 \cdot \text{ANCHOSUB}$.


```

1  Inicio del algoritmo
2  Crear un archivo temporal TEMPO.BAK
3  Leer la subimagen a ampliar y escribirla en TEMPO.BAK
4  Crear un segundo archivo temporal TEMPO2.BAK
5  mientras falten líneas por ampliar, hacer
6  Leer una subimagen de TEMPO.BAK
7  para cada renglón de la subimagen, hacer
8  para cada par de elementos  $v_k, v_{k+1}$ , hacer
      
$$v_{\text{interpolado}} = \frac{v_k + v_{k+1}}{2}$$

9  fin_para
10 Repetir los dos pasos anteriores, pero considerando
    que las columnas son renglones y los renglones
    columnas, es decir, interpolar por columnas
11 fin_para
12 Escribir la subimagen ampliada en el archivo TEMPO2.BAK
13 fin_mientras
14 Finalmente, desplegar el archivo TEMPO2.BAK
15 Borrar los archivos TEMPO.BAK y TEMPO2.BAK
16 Fin del algoritmo

```

Algoritmo 2.4 Ampliación de imágenes en línea

2.3 Ventaneo y enrollamiento

En la sección 2.1 se mencionó la estructura de una imagen. Se dijo que al final de la misma existe un par de datos que definen sus dimensiones (alto \times ancho). La estrategia de guardar esta información permite que una imagen sea de cualesquiera dimensiones, es decir, no tiene restricciones³ en cuanto a tamaño, más que la capacidad de almacenamiento en disco.

Sin embargo, la pantalla de despliegue es de dimensiones finitas (y en SPID se aparta un área de la pantalla para despliegue, de dimensiones 460 \times 530). Esta ventana sirve para visualizar una imagen cuyas dimensiones sean mayores que las desplegadas. En el capítulo 1 ya se definió lo que significa una ventana y el enrollamiento. En el despliegue de una imagen cuyo tamaño es mayor que el de la ventana de visualización se utiliza el enrollamiento. Inicialmente, la ventana se posiciona en la parte superior izquierda de la

³ Excepto la que ya se mencionó en el capítulo anterior. Ya que el alto y el ancho de una imagen varían en el conjunto $Z_{(0...65535)}$, la restricción en el tamaño de una imagen es que no mida más de 65535 de ancho ni de alto. Dimensión suficiente en la mayoría de los casos.

imagen y a continuación la despliega, el usuario tiene las teclas ↑, ↗, →, ↘, ↓, ↙, ←, y ↖ a su disposición, con estas puede realizar el enrollamiento que le permitirá visualizar la imagen por secciones.

Funciones de utilería

Existe un conjunto de operaciones implantadas en SPID que no modifican el contenido de las imágenes, sin embargo, son importantes ya que ayudan al usuario en la preparación de imágenes para un proceso posterior. Por ejemplo, se requiere a veces imprimir en papel los datos numéricos de una subimagen, para analizarlos cuantitativamente. En este capítulo explicaremos cada una de las funciones de utilería.

3.1 Ayuda al usuario

Existe una ayuda en línea que proporciona SPID al usuario. Esta ayuda indica brevemente el nivel en que se encuentra el usuario dentro del sistema al momento de invocarla.

Para cada conjunto de operaciones se explica brevemente su significado, no se explica a detalle cada operación, sino más bien a nivel de su clasificación. En el caso de SPID ésta se hace de acuerdo a cada una de las secciones del capítulo 4: Operaciones puntuales, de área, vectoriales, funciones de utilería, etc.

Esta función considera el estado en que se encuentra el autómata, el cual hace las veces de índice de acceso a la tabla de ventanas, éstas, a su vez, contienen los textos instructivos al usuario.

3.2 Manejo de errores

En el uso de todo sistema existe la posibilidad de cometer errores en su uso; por lo tanto se debe tener un programa que los maneje de la manera más eficiente posible: Tal es el caso de SPID que puede recuperarse de todos los errores cometidos por el usuario. La Tabla

3.1 muestra los errores que se manejan en SPID.

Tabla 3.1 Errores posibles de ser detectados en el uso de SPID

Número de error	Descripción del error
0	SPID requiere un coprocesador matemático
1	Número de función inválida
2	No se encuentra la imagen
3	No se encuentra el camino
4	Ya no hay espacio para abrir imágenes
5	No se le permite el acceso a la imagen
6	Manejador de archivo inválido
7	Se destruyeron bloques de control en memoria
8	Espacio insuficiente en memoria
9	Direcciones en memoria inválidas
10	Medio ambiente inválido (ver SET)
11	Formato inválido
12	Código de acceso inválido
13	Datos inválidos
14	Error fatal: El espacio en disco es insuficiente
15	Especificación de <i>drive</i> inválida
16	Intento de borrar este directorio
17	No es el mismo dispositivo
18	No se encontraron más archivos
20	La imagen < > ya existe
21	El formato de la imagen es inválido
22	Error en el formato de un número real
23	Error en el formato de un número entero
24	Las dimensiones de las imágenes no son iguales

Los errores 1—18 son los que regresa el sistema operativo MS-DOS al ejecutar una acción errónea en cualquiera de sus funciones. Hay una excepción en este conjunto de errores: El número 14 no es de la versión 2.0 o menor del sistema operativo, este error se incorporó hasta versiones posteriores, pero con otro número, sin embargo, aquí se incluye en este número ya que no se utiliza normalmente. El resto de los errores son propios del sistema SPID.

A grandes rasgos, los errores se clasifican en dos grupos: Los no críticos y los que sí lo son. Un error crítico termina la ejecución del sistema ya que no puede continuar, mientras que los errores no críticos sólo avisan al usuario sobre una falta que haya cometido y se restituye el funcionamiento. A los errores dentro del sistema se les conoce con los identificadores CRITICO y NO.CRITICO. Los errores críticos son únicamente dos: La falta

de un coprocesador matemático en el equipo de cómputo utilizado (error 0) y espacio insuficiente en disco (error 14), éste se genera al ejecutar un programa que obtenga como resultado nuevas imágenes para las cuales ya no hay espacio en disco.

El despliegue de errores se hace en el momento en que se cometen y se utiliza una ventana del tamaño de despliegue, se muestra el tiempo necesario para que sea leído por el usuario. Si es crítico, se termina la ejecución del sistema, de otro modo se restablece su funcionamiento, desapareciendo la ventana.

3.3 Definición de tablas de LUT's

Este programa de utilería es dependiente de la tarjeta gráfica IILGE que se utilizó en el desarrollo de SPID. La pantalla puede mostrar simultáneamente 256 colores diferentes, sin embargo, éstos se pueden escoger de un total de 4096, definidos de la siguiente manera: Existen 3 colores primarios: rojo, verde y azul; cada uno con 16 intensidades que varían entre 0 y 15, de aquí que los colores diferentes que se pueden producir son: $(16 \text{ rojos}) \times (16 \text{ verdes}) \times (16 \text{ azules}) = 4096$.

Una tabla de 256 colores se construye usando las intensidades en cada uno de los colores primarios y formando tercias, a cada una de las cuales se le asigna un índice, este índice varía entre 0 y 255. Por ejemplo, la tercia (0,0,0) define el color negro; la tercia (0,0,15) define el color azul más intenso, y a cada una de estas tercias se le asigna un índice, cuando un elemento de la imagen a desplegar sea igual a éste, entonces el elemento aparecerá en la pantalla en el color dado por la tercia que lo define.

La definición de una tabla conlleva a la falsa coloración de una imagen, de tal forma que tablas diferentes colorean imágenes de manera diferente. En la Tabla 3.2 se muestra un ejemplo. Se definen todas las tercias asociadas a los 16 tonos de gris que se pueden obtener. la escala es creciente, de tal manera que el 0 corresponde al negro y el 255 al blanco más intenso. Se repite cada tercia para intervalos de 16 valores. En la Tabla 3.2 se muestra una definición de 256 colores.

En el sistema SPID se pueden definir hasta 15 tablas diferentes, las cuales se almacenan en un archivo llamado TBL-LUTS.DAT. La tarjeta de despliegue IILGE tiene 4 tablas predefinidas internamente. Cada imagen desplegada puede conmutar de tablas -lo cual cambia su coloración- utilizando una opción en el menú de despliegue llamada CAMBIA LUT.

Esta opción carga una a una las tablas definidas por el usuario, además de las que tiene integradas la tarjeta, pudiendo colorear una imagen de hasta 19 formas diferentes; será tarea del usuario definir tablas que se apeguen a la coloración más conveniente de una imagen.

Tabla 3.2 Ejemplo de una tabla de LUT's, que define 16 tonos de gris

Indice	Tercia	Indice	Tercia	Indice	Tercia	Indice	Tercia
0	(0,0,0)	64	(4,4,4)	128	(8,8,8)	192	(12,12,12)
1	(0,0,0)	65	(4,4,4)	129	(8,8,8)	193	(12,12,12)
⋮	⋮	⋮	⋮	⋮	⋮	⋮	⋮
15	(0,0,0)	79	(4,4,4)	143	(8,8,8)	207	(12,12,12)
16	(1,1,1)	80	(5,5,5)	144	(9,9,9)	208	(13,13,13)
17	(1,1,1)	81	(5,5,5)	145	(9,9,9)	209	(13,13,13)
⋮	⋮	⋮	⋮	⋮	⋮	⋮	⋮
31	(1,1,1)	95	(5,5,5)	159	(9,9,9)	223	(13,13,13)
32	(2,2,2)	96	(6,6,6)	160	(10,10,10)	224	(14,14,14)
33	(2,2,2)	97	(6,6,6)	161	(10,10,10)	225	(14,14,14)
⋮	⋮	⋮	⋮	⋮	⋮	⋮	⋮
47	(2,2,2)	111	(6,6,6)	175	(10,10,10)	239	(14,14,14)
48	(3,3,3)	112	(7,7,7)	176	(11,11,11)	240	(15,15,15)
49	(3,3,3)	113	(7,7,7)	177	(11,11,11)	241	(15,15,15)
⋮	⋮	⋮	⋮	⋮	⋮	⋮	⋮
63	(3,3,3)	127	(7,7,7)	191	(11,11,11)	255	(15,15,15)

El algoritmo 3.1 muestra a grandes rasgos el programa utilizado para la generación de tablas de LUT's.

3.4 Impresión de valores de una subimagen

Por ahora, el sistema no cuenta con una interfaz ni dispositivo para la impresión de imágenes, sin embargo, a veces es necesario conocer el valor numérico de sus elementos. Existe una opción en SPID en el menú de funciones de utilería que imprime el valor de los elementos de una subimagen. Estos valores se encuentran en el conjunto $Z_{\{0..255\}}$.

El usuario proporciona únicamente el nombre de la imagen, las coordenadas del punto superior izquierdo de la subimagen a imprimir, así como la altura y el ancho de la misma. Debe estar conectada una impresora para que esta función opere correctamente.

```

1  Inicio del algoritmo
2  Abrir el archivo TBL-LUTS.DAT
3  Muestra el medio ambiente de la generación de tablas de LUT's
4  Desplegar los valores de
   Índice, Intensidad del rojo, verde y azul módulo 16
5  Leer un caracter, mientras éste no sea ESC, hacer :
6  Colorear la region que muestra el color,
   de acuerdo a la tercia definida
7  si el caracter leído es '←', entonces mover el cursor a la izquierda,
8  si el cursor se encontraba en el primer cuadro,
   entonces moverlo al último
9  si el caracter leído es '→', entonces mover el cursor a la derecha,
10 si el cursor se encontraba en el último cuadro,
   entonces moverlo al primero
11 si el caracter leído es '↑', entonces incrementar el contador
   del cuadro en que se encuentre el cursor, si es el índice,
   entonces se hace mod 256 de otro modo se hace mod 16
12 si el caracter leído es '↓', entonces restar uno al contador
   del cuadro en que se encuentre el cursor, si es el índice,
   entonces se hace mod 256 de otro modo se hace mod 16
13 fin_mientras
14 Escribir en memoria la tabla
15 Al final de la definición, escribir la tabla en el archivo TBL-LUTS.DAT
   con un índice dado por el usuario, entre 1 y 14
16 Cerrar el archivo TBL-LUTS.DAT
17 Fin del algoritmo

```

Algoritmo 3.1 Definición de tablas de LUT's

3.5 Conversión de una matriz de datos a formato SPID

La Figura 2.1 muestra el formato de una imagen, tal como lo maneja SPID. La función que explicaremos en esta sección toma como datos de entrada la matriz que define la imagen; calcula los elementos mínimo y máximo dentro de la imagen; calcula el histograma de la misma y almacena toda esta información al final de la imagen, tal como se muestra en la Figura 2.1.

El usuario proporciona el número de renglones y columnas que definen la imagen, si éstos no coinciden con el archivo, la imagen obtenida no será la correspondiente a la matriz de datos original. Este fenómeno se reflejará en el despliegue de la imagen, ya que para esto SPID lee las dimensiones al final de la misma y, si no coinciden con la matriz, el despliegue no será correcto.

En el siguiente algoritmo se muestra a grandes rasgos la conversión de un archivo de datos al formato requerido por el sistema SPID.

- 1 **Inicio del algoritmo**
- 2 *Inicializar el histograma a ceros*
- 3 *Actualizar las dimensiones de la imagen a crear*
- 4 **mientras falten líneas por procesar, hacer :**
- 5 *Leer un bloque de datos del archivo de entrada*
- 6 *Calcular los elementos mínimo y máximo de este bloque de datos*
- 7 *Actualizar el histograma con este bloque de datos*
- 8 *Escribir el bloque de datos en un archivo de salida*
- 9 **fin_mientras**
- 10 *Escribir en el archivo de salida los valores de los elementos mínimo y máximo encontrados además del histograma y las dimensiones de la imagen*
- 11 **Fin del algoritmo**

Algoritmo 3.2 Conversión de imágenes a formato SPID

La complejidad del algoritmo anterior es fácil de estimar. En los pasos 2 y 3 se requiere de un tiempo constante. El paso 6 es el que más tiempo consume y es proporcional a $N \cdot \text{LineasALeer}$, [Horo78], en donde N es el ancho de la imagen y "LineasALeer" es el número de líneas a leer en un segmento de memoria en el i -ésimo paso. Este proceso se repite x veces, en donde:

$$x = \left\lceil \frac{M}{\text{LineasALeer}} \right\rceil \quad (3.1)$$

De las consideraciones anteriores, la complejidad de conversión de formatos de imágenes es de $O(MN)$. A lo largo del trabajo veremos que casi todos los algoritmos son de esta complejidad, la diferencia en tiempo que existe entre la ejecución de uno y otro está dado por una constante, lo cual quiere decir que aun cuando su orden de complejidad sea el mismo, no lo es su tiempo de ejecución.

3.6 Composición de tres bandas

Hasta ahora sólo se ha hablado y tratado con imágenes monoespectrales, sin embargo, existen 2 operaciones de movimiento de datos en SPID que manejan imágenes multiespectrales, como las provenientes de satélites de percepción remota.

La primera de ellas —analizada en esta sección— es la de composición de 3 bandas y la segunda —analizada en la siguiente sección— es la de extracción de una banda.

Las imágenes multispectrales del satélite SPOT están compuestas de 3 bandas, la primera banda, con un intervalo espectral de $0.59\mu\text{m}$, se encuentra en el verde-amarillo (visible); la segunda banda, entre 0.61 y $0.68\mu\text{m}$, se encuentra en el naranja-rojo (visible) y finalmente; la tercera banda, entre 0.79 y de $0.89\mu\text{m}$, se encuentra en el infrarojo cercano (invisible).

Las imágenes multispectrales LANDSAT se componen de 6 bandas con diferentes intervalos espectrales. Para cada tipo de imagen se requiere, en algunos casos, el despliegue simultáneo de 3 bandas. Antes del despliegue se crea una imagen compuesta por las tres bandas, en el caso de una imagen SPOT se ocupan las tres bandas, pero en el caso de una imagen LANDSAT existen $C_3^6 = 20$ combinaciones posibles de componer una imagen, considerando 3 bandas a la vez, será decisión del usuario cuales bandas considerar.

La composición se lleva a cabo de la siguiente manera: Cada banda tiene su intervalo de valores en el conjunto $Z_{\{0, \dots, 255\}}$ por lo que se requieren $256 \times 256 \times 256 = 256^3 = 16777216$ colores diferentes para desplegar simultáneamente 3 bandas. Sin embargo, la tarjeta gráfica HLGE —y muchas otras en el mercado— no alcanza a mostrar esta variedad de colores simultáneamente. Para evitar esta limitación, se considera que el conjunto de valores que puede tomar cada elemento de cada banda se reduce drásticamente, de tal manera que la composición se ajuste a los 256 colores disponibles. Para la primera banda se considera que sus elementos pueden tomar sólo 4 valores, para la segunda y tercera bandas sus elementos pueden tomar sólo 8 valores. La razón de esto es la siguiente: Cada punto en la pantalla requiere de 8 unidades, éstas se deben distribuir entre las tres bandas a componer: 2 para la primera, 3 para la segunda y tercera. Con esta restricción en el intervalo de valores se obtienen $2^2 \times 2^3 \times 2^3 = 2^8 = 256$ colores diferentes.

La operación aplicada a cada banda a componer es la siguiente:

$$\text{Elemento obtenido} = \frac{\text{Elemento original}}{x} \quad (3.2)$$

en donde x es 64 para la primera banda y 32 para la segunda. Esta fórmula ajusta y clasifica la primera banda en 4 valores y la segunda y tercera en 8 valores. De acuerdo a lo anterior, el valor de cada elemento de la imagen compuesta es de la forma $1_r 1_v 2_u 3_a 3_a$, en donde el número representa la posición de cada banda y el subíndice el color asignado (r , rojo; v , verde y a , azul).

```

1  Inicio del algoritmo
2  mientras falten líneas por componer, hacer
3      Leer un bloque de datos de la imagen multispectral
4      Inicializar tres apuntadores al inicio de cada renglón
      que se va a componer, según la banda: Rojo, verde y azul
5      para cada elemento de los tres renglones hacer
6          Elemento generado = Rojo&&C0h|| Verde&&3Ch|| Azul&&07h
      en donde && denota el AND lógico,
      el caracter '|' denota el OR lógico
      y la 'h' denota números en notación hexadecimal
7      Avanzar los apuntadores
8  fin_para
9  Desechar los demás renglones del bloque de datos leídos
10 Escribir el bloque de datos compuesto
11 fin_mientras
12 Fin del algoritmo

```

Algoritmo 3.3 Composición de 3 bandas de una imagen multispectral

El Algoritmo 3.3 muestra a grandes rasgos las operaciones llevadas a cabo en la composición de tres bandas.

3.7 Extracción de bandas

En el formato de las imágenes multispectrales SPOT y LANDSAT se combinan todas las bandas renglón por renglón; como lo muestra la Figura 3.1.

renglón 1	banda 1
renglón 1	banda 2
⋮	⋮
renglón 1	banda N
renglón 2	banda 1
renglón 2	banda 2
⋮	⋮
renglón 2	banda N
⋮	⋮
renglón M	banda 1
renglón M	banda 2
⋮	⋮
renglón M	banda N

Figura 3.1 Formato de una imagen multispectral

La función de extracción de una banda determinada lee todos los datos de la imagen y desecha aquéllos que no corresponden a esa banda. De esta manera se puede desplegar una imagen multiespectral banda por banda, como lo muestra el Algoritmo 3.4.

```
1  Inicio del algoritmo
2  mientras falten líneas por extraer, hacer
3      Leer un bloque de datos de la imagen multiespectral
4      Inicializar dos apuntadores: Uno al inicio del primer renglón
      a extraer y el otro al inicio del bloque a generar
5      para cada renglón a extraer hacer
6          Mover el renglón del bloque leído al bloque generado
7      fin_para
8      Desechar los demás renglones del bloque de datos leídos
9      Escribir el bloque de datos extraído
10  fin_mientras
11  Fin del algoritmo
```

Algoritmo 3.4 Extracción de una banda en una imagen multiespectral

Capítulo 4

Operaciones sobre imágenes

La parte central de un sistema para el procesamiento de imágenes digitales es el conjunto de algoritmos y programas que realizan transformaciones de las mismas. En este capítulo se proporcionan los aspectos teóricos y la implantación de algunos de estos algoritmos.

Estas operaciones pueden ser de una inmensa variedad que dependerá de las aplicaciones que se le pretenda dar al sistema. Inicialmente SPID se construyó con un núcleo básico de funciones, pero ha sido diseñado para agregarle todas aquellas que una aplicación específica requiera. La clasificación hecha en este capítulo se tomó de [Daws87] y agrupa en tres categorías todas las operaciones comunes: puntuales, de área y vectoriales.

4.1 Operaciones puntuales

La característica principal de las operaciones puntuales es que se llevan a cabo punto a punto. El proceso de transformación en una imagen para cada uno de sus elementos depende únicamente del valor mismo, es decir, las operaciones puntuales se definen de la siguiente manera:

$$\vartheta'_{ij} = f(\vartheta_{ij}), \quad \begin{array}{l} 1 \leq i \leq M \\ 1 \leq j \leq N \end{array} \quad (4.1)$$

en donde ϑ'_{ij} es el elemento obtenido después de aplicar la función f puntualmente a cada elemento de la imagen.

En esta sección se analizarán las operaciones aritméticas (suma, resta y cociente de imágenes o bandas) como parte fundamental de las operaciones puntuales. La normalización del histograma se considera como una operación puntual, aunque el cálculo del

histograma sea en sí una operación estadística.

4.1.1 Normalización de las operaciones aritméticas

Así como existen las operaciones algebraicas en los enteros, así también las hay en las operaciones entre imágenes. A continuación se definirán estas operaciones, las cuales se llevan a cabo de manera puntual, a nivel de elementos de imagen. Sean $\vartheta_{1ij} \in I_1$, $\vartheta_{2ij} \in I_2$, $\vartheta_{3ij} \in I_3$ tres elementos de tres imágenes diferentes, se definen las operaciones aritméticas entre imágenes como:

$$\vartheta_{3ij} = \begin{cases} \vartheta_{1ij} + \vartheta_{2ij} & \text{SUMA} \\ \vartheta_{1ij} - \vartheta_{2ij} & \text{RESTA} \\ \vartheta_{1ij} * \vartheta_{2ij} & \text{PRODUCTO} \\ \vartheta_{1ij} / (\vartheta_{2ij} + 1) & \text{DIVISION} \end{cases} \quad \begin{matrix} \forall 1 \leq i \leq M \\ \forall 1 \leq j \leq N \end{matrix} \quad (4.2)$$

Las operaciones anteriores pueden generar elementos de una nueva imagen cuyo resultado se salga del intervalo de valores permitido. Por ejemplo, la suma $\vartheta_{3ij} = \vartheta_{1ij} + \vartheta_{2ij}$ no estará en el conjunto $Z_{[0...255]}$, si $\vartheta_{3ij} > 255$.

Sean $\vartheta_{max} = \max(\vartheta_{3ij})$ y $\vartheta_{min} = \min(\vartheta_{3ij})$ $\{ \forall 1 \leq i \leq M \text{ y } \forall 1 \leq j \leq N \}$ los valores definidos por la fórmula 4.1. Si existe un valor $\vartheta \in I_3$ que no se encuentre en el conjunto $Z_{[0...255]}$, entonces hay dos formas de ajustar ϑ al conjunto; la primera, haciendo:

$$\vartheta' = \begin{cases} 0 & \text{si } \vartheta < 0 \\ 255 & \text{si } \vartheta > 255, \end{cases} \quad (4.3)$$

y la segunda:

$$\vartheta' = \left\lfloor 255 \frac{\vartheta - \vartheta_{min}}{\vartheta_{max} - \vartheta_{min}} \right\rfloor, \quad (4.4)$$

en donde ϑ' es el valor ajustado. La primera transformación simplemente *corta* los valores fuera del alcance de su límite más cercano, esta operación realiza la función *Ajusta*, analizada en el capítulo 5. La segunda transformación distribuye de manera más uniforme los valores fuera de rango ya que mapea linealmente el intervalo $[\vartheta_{min}, \vartheta_{max}]$ en el conjunto $Z_{[0...255]}$.

4.1.2 Programación de las operaciones aritméticas

Las operaciones aritméticas entre imágenes se llevan a cabo de igual manera que la mayor parte de operaciones programadas en el sistema: Procesando una subimagen que se pueda

manejar en memoria principal y repitiendo el proceso hasta que se termine con toda la imagen.

Para cada subimagen la operación se lleva a cabo renglón a renglón y elemento por elemento. Posicionalmente se opera con los dos elementos de las dos imágenes operando según la fórmula (4.2).

Si las dimensiones de las dos imágenes no coinciden, entonces genera un mensaje de error al usuario (ver la Tabla 3.1, error 24). El sistema continúa su ejecución preguntando nuevamente por otro par de imágenes. El usuario proporciona únicamente el nombre de las dos imágenes operandos y la imagen resultado. El algoritmo general para la suma de imágenes es el 4.1.

```
1  Inicio del algoritmo
2  Leer los nombres de las imágenes de entrada y de salida
3  Leer las dimensiones de las dos imágenes de entrada
4  si las dimensiones coinciden hacer
5      mientras falten líneas por procesar hacer
6          Leer secuencialmente un bloque de datos
7          para cada renglón hacer
8              para cada columna hacer
9                  Aplicar la fórmula (4.2)
10             fin_para
11         fin_mientras
12         Escribir el bloque de datos obtenido
13         Actualizar el número de líneas procesadas
14     fin_mientras
15     fin_si
16     de otro modo Desplegar un mensaje de error (24)
17     y volver a empezar en el paso 2
17  Fin del algoritmo
```

Algoritmo 4.1 Suma de imágenes

Nótese que para la suma no se requiere normalizar la operación si se calcula únicamente el promedio de la suma.

El resto de operaciones aritméticas se lleva cabo de la misma manera que la suma, utilizando el mismo algoritmo, excepto que en el paso 9 se aplica la operación correspondiente.

La complejidad del algoritmo anterior y de los tres algoritmos restantes es fácil de estimar. El ciclo principal (pasos 5-14) es muy parecido estructuralmente al del algoritmo 3.2 (pasos 4-9) por lo que se espera que sea de la misma complejidad. En efecto, en el paso 9 se requiere una operación¹, considerando el paso 8, se requieren N operaciones,

¹ Depende de qué operación se esté llevando a cabo entre imágenes: Suma, resta o cociente

dentro del ciclo 7-11 las operaciones son $N \times \text{LineasALcer}$, en donde LineasALcer es un valor determinado por el tamaño de un bloque de memoria de 64K bytes y el ancho de las imágenes operandos:

$$\text{LineasALcer} = \left\lfloor \frac{64K}{N} \right\rfloor \quad (4.5)$$

Al realizar el ciclo 5-14 el valor de LineasALcer tiende a M , la cantidad total de renglones de las imágenes de entrada. De lo anterior, se deduce que la complejidad del algoritmo es $O(MN)$.

4.1.3 Normalización del histograma

Las operaciones estadísticas actúan puntualmente sobre cada elemento de la imagen, pero sin modificarlo. Estas operaciones sirven únicamente al usuario para proporcionar información, de acuerdo a la cual se puede tomar alguna decisión respecto a la imagen.

Una de las operaciones de mayor importancia que se puede realizar con los elementos de una imagen es el cálculo de su *histograma*, operación que se puede clasificar dentro de las operaciones puntuales de una imagen ya que toma en consideración el valor de cada elemento de la misma, independientemente del resto de la imagen, pero a la vez es una operación que proporciona información estadística acerca de la imagen. Conociendo el histograma se pueden tomar varias medidas para el realce de las características de la imagen mediante una reclasificación de valores, como lo veremos enseguida.

Si ϑ_{ij} $\{i \in [1, \dots, M], j \in [1, \dots, N]\}$ es el valor de un elemento cualquiera de la imagen $I \in \mathfrak{S}$, el *histograma* de la misma, $h(i)$ $\{i = 0, \dots, 255\}$, se calcula utilizando el siguiente algoritmo:

$$\begin{aligned} \text{Inicialmente } h(i) &= 0 \quad \forall i \in [0, \dots, 255] \\ h(\vartheta_{ij}) &= h(\vartheta_{ij}) + 1 \quad \text{para cada } i = 1, \dots, M \quad j = 1, \dots, N. \end{aligned} \quad (4.6)$$

El arreglo $h(i)$ $\{i = 0, \dots, 255\}$ define una función discreta cuyo intervalo está comprendido en el conjunto $Z_{[0..255]}$ y su dominio, también acotado, varía en el conjunto de los enteros $Z_{[0..MN]}$, el cual depende de las dimensiones de la imagen. El dominio define la distribución de datos contenidos en una imagen, ya que determina cuántos elementos de un valor dado existen dentro de la imagen.

En la sección 2.1 se mencionó que el histograma se encuentra almacenado al final de cada imagen. Consta de 256 valores de la forma $h(i)$, cada uno de los cuales representa

el número de veces que el elemento i se encuentra en la imagen. Cada uno de estos valores se almacena en 4 octetos con lo que cada elemento puede estar en una imagen 2^{32} veces.

El histograma muestra la distribución de datos dentro de la imagen que representa. Suele suceder que la distribución no sea uniforme y que el uso de las intensidades de grises no aproveche toda su escala. Si la distribución de datos en una imagen se encuentra alrededor de un solo número dado, la forma del histograma generado será un pulso.

La normalización del histograma no es más que la redistribución de los valores de grises en todo el intervalo $Z_{[0..255]}$ y el algoritmo utilizado para esta operación es el 4.2:

```

1  Inicio del algoritmo
2  Leer los nombres de la imágenes de entrada y la de salida
3  Leer el histograma  $H_{0..255}$ 
4  Calcular el valor promedio del histograma  $H_p = \frac{MN}{256}$ 
5  hacer  $Der = 0, H_{int} = \sum_{i=0}^n H_i = 0$  (La integral del histograma)
6  para  $i = 0$  hasta 255 hacer
7      hacer  $Izq = Der$ 
8      hacer  $H_{int} = H_{int} + H_i$ 
9      mientras  $H_{int}$  sea mayor que  $H_p$  hacer
10          $H_{int} = H_{int} - H_p$ 
11          $Der = Der + 1$ 
12     fin_mientras
13     hacer  $H_{i_{nuevo}} = \frac{Izq + Der}{2}$ 
14 fin_para
15 mientras falten líneas por procesar hacer
16     Leer secuencialmente un bloque de datos
17     para cada renglón hacer
18         para cada columna hacer
19              $\vartheta_{ij} = H_{\vartheta_{ij_{nuevo}}}$ 
20         fin_para
21     fin_para
22     Escribir el bloque de datos obtenido
23 fin_mientras
24 Fin del algoritmo

```

Algoritmo 4.2 Normalización del histograma de una imagen

En el algoritmo anterior, la variable $H_{i_{nuevo}}$ es un arreglo de 256 elementos, el cual, a partir del paso 15, contiene el mapeo a los nuevos elementos de la imagen, es decir, el valor original de la imagen de entrada sirve de índice para localizar el nuevo elemento (el elemento normalizado) en el arreglo.

El mapeo se hace por bloques de datos y se lleva a cabo en el paso 19. El proceso se repite para cada bloque de datos de la imagen original, hasta que se termine con la misma. Al final, la imagen obtenida (normalizada) se almacena con un nuevo nombre, dado por el usuario, en el paso 2.

4.2 Operaciones de área

Las operaciones de área son aquéllas en las que el resultado obtenido sobre un elemento de una imagen, al aplicarle dicha operación, dependerá tanto de su valor original como de los valores vecinos al mismo.

La fórmula correspondiente a una operación de área se define de manera análoga a las operaciones puntuales:

$$\vartheta'_{ij} = f \left(\begin{array}{cccc} \vartheta_{i-c_1, j-c_2} & \cdots & \vartheta_{i-c_1, j} & \cdots & \vartheta_{i-c_1, j+c_2} \\ \vdots & & \vdots & & \vdots \\ \vartheta_{i, j-c_2} & \cdots & \vartheta_{i, j} & \cdots & \vartheta_{i, j+c_2} \\ \vdots & & \vdots & & \vdots \\ \vartheta_{i+c_1, j-c_2} & \cdots & \vartheta_{i+c_1, j} & \cdots & \vartheta_{i+c_1, j+c_2} \end{array} \right) \quad \begin{array}{l} 1 \leq i \leq N \\ 1 \leq j \leq M \\ c_1 \ll N \\ c_2 \ll M \end{array} \quad (4.7)$$

en donde las constantes c_1 y c_2 definen el *alcance* de la operación de área. Normalmente estos valores son mucho más pequeños que las dimensiones de la imagen.

Sea un elemento $\vartheta_{ij} \in I$ cualquiera, se definen sus *4-vecinos inmediatos* como los elementos $\vartheta_{i+1, j}, \vartheta_{i-1, j}, \vartheta_{i, j+1}, \vartheta_{i, j-1}$ y sus *4-vecinos en diagonal* como los elementos $\vartheta_{i+1, j+1}, \vartheta_{i+1, j-1}, \vartheta_{i-1, j+1}, \vartheta_{i-1, j-1}$ [Pav182]. Los ocho elementos forman el conjunto de los *8-vecinos* de ϑ_{ij} . Estas definiciones se pueden ampliar tanto como se desee, siempre y cuando el elemento ϑ_{ij} se encuentre en el centro del área formada por los vecinos.

4.2.1 Filtros digitales lineales

Un filtro digital consiste en una operación que se realiza sobre una imagen y cuyo resultado es otra imagen con características diferentes a la original, y dependen del filtro que se use. A estos filtros se les conoce como *operadores locales*, ya que actúan transformando cada elemento de una imagen de acuerdo a su valor y al de sus vecinos inmediatos; se puede definir matemáticamente un filtro digital y la conexión que entabla entre la imagen original I y la imagen filtrada I' , como:

$$\vartheta'_{ij} = \sum_{k=-m}^m \sum_{l=-n}^n h(i, j, k, l) \vartheta_{i+k, j+l} \quad \begin{array}{l} \vartheta_{ij} \in I \quad \vartheta'_{ij} \in I' \\ \forall 1 \leq i \leq M \quad \text{y} \quad \forall 1 \leq j \leq N \end{array} \quad (4.8)$$

A este tipo de filtro se le conoce con el nombre de *filtraje lineal* si la función $h(i, j, k, l)$ es lineal en sus variables. Las constantes m, n definen las dimensiones del filtro que, en general, es de forma rectangular ($m \neq n$), sin embargo, los filtros más usuales definen los valores $m = n = 1$, con los cuales se construye un filtro cuadrado de tres por tres, en cuyo caso se utilizan los 8-vecinos del elemento en cuestión.

La función $h(i, j, k, l)$ depende de la posición del elemento a filtrar (e.g., i, j), por lo que este filtro es *variante bajo el espacio*. Si se desea hacer un filtraje *invariante bajo el espacio*, independiente de la posición de los elementos a filtrar, entonces el filtro de la ecuación anterior se convierte en:

$$\vartheta'_{ij} = \sum_{k=-m}^m \sum_{l=-n}^n h(k, l) \vartheta_{i+k, j+l} \quad \vartheta_{ij} \in I \quad \vartheta'_{ij} \in I' \quad (4.9)$$

$$\forall 1 \leq i \leq M \quad \text{y} \quad \forall 1 \leq j \leq N$$

en donde $h(k, l)$ está definida por una matriz a la que llamaremos *núcleo del filtro* (i.e. *kernel*) y cuyos elementos deberán definirse de acuerdo a la transformación que se debe llevar a cabo. Existen filtros lineales para una gran variedad de operaciones. Los que se muestran en la Figura 4.1, son los que están implantados en el SPID.

El algoritmo 4.3 utilizado para el filtraje de imágenes requiere únicamente los valores de m y n y los elementos $h(k, l)$ del núcleo del filtro. De esta manera el SPID intenta ser lo más eficiente posible dado que da la libertad total al usuario en la selección de las dimensiones y contenido del filtro. En el caso más simple en que $m = n = 1$, el núcleo estará formado por una matriz de elementos correspondientes, posicionalmente, al elemento mismo, y a sus 8-vecinos. Si se trata de un filtro en el que $m = n = 2$, el núcleo estará formado por una matriz de elementos correspondientes, posicionalmente, al elemento mismo, y a sus 24-vecinos, definidos éstos de manera análoga a los 8-vecinos.

Se evaluará el costo del filtraje lineal de una imagen de dimensiones $M \times N$. De la fórmula (4.9) anterior, el cálculo de un elemento ϑ'_{ij} requiere de $(2m + 1)(2n + 1)$ sumas y productos, en donde $2m + 1$ y $2n + 1$ son el alto y ancho del kernel del filtro. Si se considera igual una suma a un producto en cuanto a tiempo de ejecución y sabiendo que existen $M \times N$ elementos en la imagen, el tiempo total en el filtraje de una imagen es proporcional a:

$$C(I') = 2MN(2m + 1)(2n + 1) \quad (4.10)$$

Si consideramos el caso comúnmente usado en que $m = n = cte \ll M, N$, entonces $C(I') = O(MN)$. En la evaluación anterior se ha considerado que las imágenes I' e I se encuentran completamente en memoria principal, lo cual, en SPID no es siempre el caso, si la imagen es de dimensión pequeña, entonces (4.10) es válida, de otro modo se debe tomar en consideración el manejo de bloques de memoria secundaria a memoria principal

y viceversa, lo cual ocasiona un gasto computacional extra que va en función del tamaño del bloque que se pueda almacenar en un momento dado en memoria principal.

0	1	0
1	-4	1
0	1	0

Filtro laplaciano

0	0	0
0	2	-1
0	-1	0

Filtro gradiente

0	-1	0
-1	5	-1
0	-1	0

Filtro pasa altas

1	1	1
1	1	1
1	1	1

Filtro pasa bajas

-1	-2	-1
0	0	0
1	2	1

Filtro detector de bordes horizontales

1	0	-1
2	0	-2
1	0	-1

Filtro detector de bordes verticales

0	-1	2
-1	2	-1
2	-1	0

Filtro detector de bordes a 45°

2	-1	0
-1	2	-1
0	-1	2

Filtro detector de bordes a 135°

Figura 4.1 Filtros digitales implantados en SPID

Todas las operaciones realizadas en el Algoritmo 4.3 son muy generales en cada uno de los pasos mostrados. Los pasos 6, 7, 12, 13, 18 y 19 merecen una atención especial ya que son la parte central del filtraje de imágenes en el dominio espacial.

Los pasos 6, 12 y 18 indican una extrapolación de elementos de un bloque de datos. Esta operación es necesaria para llevar a cabo el filtraje de datos en las fronteras de la imagen. Para el filtraje en las fronteras de una subimagen se requiere tomar una decisión en la forma en que se llevará a cabo. Existen al menos dos formas de hacerlo:

```

1  Inicio del algoritmo
2  Leer los nombres de la imagen de entrada y la de salida
3  Leer las dimensiones del núcleo  $m \times n$ 
4  Leer los datos del filtro  $f(i,j)$   $1 \leq i \leq m$   $1 \leq j \leq n$ 
5  Leer un bloque de datos de la imagen de entrada
6  Extrapolar el bloque leído en memoria para efectos de frontera
7  Filtrar el bloque de datos
8  Escribir el bloque de datos filtrado a la imagen de salida
9  hacer LíneasEn64K = Número de líneas que caben en
un segmento de memoria de 64K bytes
10 mientras las líneas que faltan por filtrar sean más que
LíneasEn64K hacer
11 Leer un bloque de datos de la imagen de entrada
12 Extrapolar el bloque leído en memoria para efectos de frontera
13 Filtrar el bloque de datos
14 Escribir el bloque de datos filtrado a la imagen de salida
15 fin_mientras
16 si faltan líneas por procesar entonces hacer
17 Leer el bloque de datos restante
18 Extrapolar el bloque leído en memoria para efectos de frontera
19 Filtrar el bloque de datos
20 Escribir el bloque de datos filtrado a la imagen de salida
21 fin_si
22 Fin del algoritmo

```

Algoritmo 4.3 Filtraje de imágenes

- a) Colocando el filtro en las fronteras y despreciando aquellos elementos que geométricamente quedan fuera del filtraje.
- b) Extrapolando los elementos de la frontera hasta donde cubre el filtro. La extrapolación se simplifica si se copian los elementos de las fronteras tantas veces como sea necesario.

En la implantación de este sistema se utilizó el esquema del inciso b), copiando elementos en las fronteras. El algoritmo 4.4 profundiza más sobre la extrapolación o repetición de elementos en una subimagen. De hecho esta parte prepara un bloque de datos para un filtraje posterior.

```

1  Inicio del algoritmo
2  La subimagen leída es
   ( $\vartheta_{ij}$   $1 \leq i \leq Alto$   $1 \leq j \leq Ancho$ )
3  hacer  $AltoTotal = Alto + 2 * \left\lfloor \frac{AltoFiltro}{2} \right\rfloor$ 
4  hacer  $AnchoTotal = Ancho + 2 * \left\lfloor \frac{AnchoFiltro}{2} \right\rfloor$ 
5  hacer un corrimiento de elementos en el bloque de datos
   de tal manera que el elemento  $\vartheta_{11}$  se mueva a la posición de
    $\vartheta_{1+AltoFiltro,1+AnchoFiltro}$ 
6  para  $i = AnchoFiltro/2$  hasta  $i = AnchoTotal - AnchoFiltro/2$ 
   hacer
7     para  $j = 1$  hasta  $j = AltoFiltro/2$  hacer
8          $\vartheta_{ji} = \vartheta_{AltoFiltro/2+1,i}$ 
9     fin_para
10  fin_para
11  para  $j = AnchoFiltro/2$  hasta  $j = AnchoTotal - AnchoFiltro/2$ 
   hacer
12     para  $i = AltoTotal - AltoFiltro/2$  hasta  $i = AltoTotal$  hacer
13         hacer  $\vartheta_{ji} = \vartheta_{AltoTotal - AltoFiltro/2 - 1, i}$ 
14     fin_para
15  fin_para
16  para  $j = 1$  hasta  $j = AltoTotal$  hacer
17     para  $i = 1$  hasta  $i = AnchoFiltro/2$  hacer
18         hacer  $\vartheta_{ji} = \vartheta_{j, AnchoFiltro/2 + 1}$ 
19     fin_para
20  fin_para
21  para  $j = 1$  hasta  $j = AltoTotal$  hacer
22     para  $i = AnchoTotal - AnchoFiltro/2$  hasta  $i = AnchoTotal$ 
   hacer
23         hacer  $\vartheta_{ji} = \vartheta_{j, AnchoTotal - AnchoFiltro/2 - 1}$ 
24     fin_para
25  fin_para
26  Fin del algoritmo

```

Algoritmo 4.4 Extrapolación de datos en una subimagen

Los pasos 7, 13 y 19 del algoritmo de filtraje de imágenes anterior (Algoritmo 4.3) requieren de un análisis más a fondo, ya que en ellos es donde se llevan a cabo las operaciones básicas del filtraje. El Algoritmo 4.5 ilustra más a fondo el mecanismo mediante el cual se filtra una subimagen.

```

1  Inicio del algoritmo
2  hacer  $AltoTotal = Alto + 2 * \left\lfloor \frac{AltoFiltro}{2} \right\rfloor$ 
3  hacer  $AnchoTotal = Ancho + 2 * \left\lfloor \frac{AnchoFiltro}{2} \right\rfloor$ 
4  La subimagen a filtrar es
   ( $\vartheta_{ij}$   $1 \leq i \leq AltoTotal$   $1 \leq j \leq AnchoTotal$ )
5  para  $i = AltoFiltro/2 + 1$  hasta  $i = AltoTotal - AltoFiltro/2 - 1$ 
   hacer
6     para  $j = AnchoFiltro/2 + 1$ 
       hasta  $j = AnchoTotal - AnchoFiltro/2 - 1$  hacer
7          $\vartheta'_{ij} = \sum_{k=-AltoFiltro}^{AltoFiltro} \sum_{l=-AnchoFiltro}^{AnchoFiltro} \vartheta_{i-k,j-l} Filtro_{kl}$ 
8         Normalizar el valor calculado:  $\vartheta'_{ij} = \frac{\vartheta'_{ij}}{AltoFiltro * AnchoFiltro}$ 
9     fin_para
10  fin_para
11  Fin del algoritmo

```

Algoritmo 4.5 Filtrado de subimágenes

En el paso 7 del Algoritmo 4.5, la variable $Filtro_{kl}$ se refiere al núcleo del filtro, el cual está dado en la fórmula 4.8 como la función h .

4.2.2 Ampliación de imágenes

Cuando se tiene información continua del comportamiento de una superficie, como la que genera una función de dos variables independientes en el espacio, esta superficie se puede analizar desde cualquier distancia a la misma ya que existe una fuente que genera la información necesaria para la creación de la superficie. De esta manera se crea la sensación de que se puede ampliar o reducir la superficie ampliando o reduciendo la distancia de observación a la misma.

En el caso de imágenes el problema no es tan trivial, ya que la información que se tiene es discreta y de tamaño fijo pues no se tiene a la disposición una función generadora. Sin embargo, es a veces necesario analizar una imagen desde diferentes puntos de vista, ampliando detalles de interés o reduciendo zonas muy extensas que no presentan cambios locales.

Se puede tomar la idea de una función generadora de imágenes la cual se discretiza en puntos equiespaciados a lo largo y ancho de una escena y en los cuales toma los valores que formarán la imagen. Suponiendo que esto es válido, se presenta a continuación una solución al problema de ampliación de imágenes.

Dada una imagen y un factor de escala, se podrá generar otra imagen cuya razón de crecimiento respecto a la original será igual al factor de escala. Si la escala es menor a la unidad, entonces la imagen se reducirá. Por el contrario, si la escala es mayor de la unidad, entonces la imagen se ampliará. En este sentido la ampliación y la reducción son el mismo problema.

Si la imagen original tiene dimensiones $M \times N$ y el factor de escala es c , entonces:

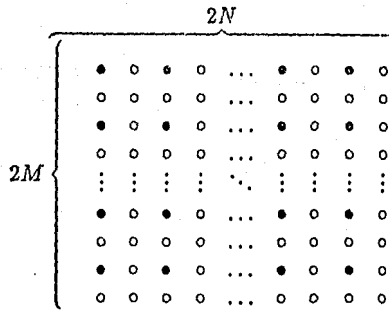
$$M' = [cM]; \quad N' = [cN] \quad (4.11)$$

en donde M' y N' son las dimensiones de la imagen ampliada. El factor de escala utilizado en el sistema SPID es 2 para la ampliación y de $\frac{1}{2}$ para la reducción, por lo que las fórmulas anteriores se convierten en:

$$\begin{array}{lll} M' = [2M]; & N' = [2N] & \text{Ampliación} \\ M' = \left[\frac{M}{2} \right]; & N' = \left[\frac{N}{2} \right] & \text{Reducción} \end{array} \quad (4.12)$$

A continuación se explicará el método utilizado para la operación de ampliación de imágenes. Se supondrá que una imagen es la representación de una escena digitizada en puntos discretos y cuya separación real es lo suficientemente cercana de tal manera que no se pierde la información contenida en la escena. Una imagen ampliada se verá como se muestra en la Fig. 4.2.

En un primer paso de la ampliación y en cada renglón de la imagen original, entre cada par de elementos se inserta uno nuevo, interpolado usando los vecinos en el renglón. Después de hacerlo con los renglones se obtiene una imagen ampliada a lo ancho; en un segundo paso, en cada columna de la imagen ampliada por renglones se inserta un nuevo elemento, interpolado usando los elementos vecinos en la columna. De esta manera, la ampliación de imágenes se ejecuta como una operación separable. Al final de estas dos etapas, se obtiene una imagen ampliada de dimensiones $2M \times 2N$, cuando el tamaño de la imagen original es $M \times N$.



- Elementos de la imagen original
- Elementos obtenidos con interpolación

Figura 4.2 Formato de una imagen ampliada.

Para fines de implantación de un algoritmo la función básica es la de ampliar un renglón. Esta ampliación se hará $M+N$ veces, M para los renglones y N para las columnas. Si vemos un renglón desde una perspectiva unidimensional se verá como se muestra en la Figura 4.3.

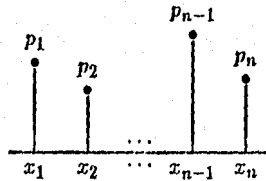


Figura 4.3 Un renglón cualquiera de una imagen.

en donde p_i ($i = 1, \dots, n$) es el valor, en un renglón, del elemento de la imagen en la posición x_i correspondiente. Para facilitar la notación utilizaremos p_i para señalar el i -ésimo elemento en un renglón cualquiera de una imagen, mientras que p_{ij} señalará el j -ésimo elemento del i -ésimo renglón de la misma, esto último sólo cuando el contexto sea bidimensional y se trate de señalar un renglón específico.

En la ampliación y reducción de imágenes se requiere de un determinado tipo de interpolación que llene los huecos dejados por la imagen al ser ampliada.

En este trabajo se manejarán tres tipos de ampliación. La decisión de cuál utilizar dependerá del usuario y de la imagen en particular que se esté analizando. El primer método que se utilizará será el de *doblamiento de elementos de una imagen*, éste consiste en repetir cada elemento de la imagen original 4 veces en la imagen ampliada, una vez en

su posición original, otra a la derecha y dos más abajo en las mismas columnas que las 2 anteriores. Con este esquema, la imagen ampliada se cuadruplica en número de elementos. El segundo método consiste en utilizar *interpolación lineal y cúbica segmentaria*, en este caso, se interpola cada elemento de acuerdo al valor de sus elementos vecinos sobre el mismo renglón o columna.

A continuación se muestran los algoritmos de ampliación de imágenes, utilizando repetición de elementos, interpolación lineal segmentaria e interpolación cúbica segmentaria y finalmente se presenta el algoritmo de reducción de imágenes.

```

1  Inicio del algoritmo
2  Dar el nombre de la imagen de entrada
3  Verificar que su formato sea correcto
4  mientras falten líneas por procesar hacer
5      Leer un bloque de datos:  $\vartheta_{ij}$   $1 \leq i \leq \text{Alto}$   $1 \leq j \leq \text{Ancho}$ 
6      para  $i = 1$  hasta  $i = \text{Alto}$  hacer
7          para  $j = 1$  hasta  $j = \text{Ancho}$  hacer
8               $\vartheta'_{2i-1,2j-1} = \vartheta'_{2i-1,2j} = \vartheta_{ij}$ 
9          fin_para
10     fin_para
11     para  $i = 1$  hasta  $i = \text{Alto}$  hacer
12         para  $j = 1$  hasta  $j = 2 \times \text{Ancho}$  hacer
13              $\vartheta'_{2i,j} = \vartheta'_{2i-1,j}$ 
14         fin_para
15     fin_para
16     Escribir el bloque de datos ampliado:
17          $\vartheta'_{ij}$   $1 \leq i \leq 2 \times \text{Alto}$   $1 \leq j \leq 2 \times \text{Ancho}$ 
18     fin_mientras
19 Fin del algoritmo

```

Algoritmo 4.6 Ampliación de imágenes por doblamiento de elementos

En los pasos 6-10 del Algoritmo 4.6 se hace la ampliación de una subimagen (ϑ_{ij}) por columnas, es decir, se dobla el ancho del bloque. En los pasos 11-15 se hace la ampliación por renglones, tomando en consideración la ampliación anterior. La subimagen ϑ_{ij} de dimensiones $\text{Alto} \times \text{Ancho}$ se amplía a la subimagen ϑ'_{ij} de dimensiones $2 \cdot \text{Alto} \times 2 \cdot \text{Ancho}$.

4.2.3 Interpolación lineal segmentaria

La interpolación segmentaria deriva su nombre de la propiedad que tiene de llevarse a cabo *localmente*, es decir, interpola a partir de un conjunto de puntos comprendidos en una vecindad. Para el caso lineal, esta vecindad está compuesta de dos puntos.

La ecuación de una recta en el plano que pasa por los puntos (x_{k-1}, y_{k-1}) y (x_k, y_k) está dada por la fórmula:

$$y - y_{k-1} = \frac{y_k - y_{k-1}}{x_k - x_{k-1}} (x - x_{k-1}) \quad (4.13)$$

Esta ecuación se aplicará a la ampliación de imágenes, en donde éstas están formadas por renglones y columnas. La interpolación se hará por renglones y después por columnas, pero para cada caso se aplicará la fórmula anterior a cada par de puntos. La interpolación entre los elementos $\vartheta_{c,k-1}, \vartheta_{c,k}$ de un renglón $c \in Z_{[1..M]}$ cualquiera de una imagen se llevará a cabo con la siguiente fórmula:

$$y - \vartheta_{c,k-1} = \frac{\vartheta_{c,k} - \vartheta_{c,k-1}}{x_k - x_{k-1}} (x - x_{k-1}) \quad (4.14)$$

La fórmula anterior se simplifica si se toman en consideración los siguientes hechos: Primero, la separación entre elementos de la imagen se considera unitaria, por lo que el denominador del lado derecho se hace unitario; segundo, el punto interpolado se encuentra en el punto medio de los puntos interpolantes, es decir, $x - x_{k-1} = x_k - x = x_k - x_{k-1} / 2 = \frac{1}{2}$. Sin pérdida de generalidad, puede considerarse que la ecuación anterior se aplica sobre un renglón c cualquiera de la imagen, y por lo tanto, se puede ignorar la primera dimensión. Con las dos simplificaciones anteriores, la fórmula anterior se reduce a:

$$\vartheta'_k = \vartheta_{k-1} + \left(\frac{\vartheta_k - \vartheta_{k-1}}{2} \right) = \left(\frac{\vartheta_{k-1} + \vartheta_k}{2} \right) \quad (4.15)$$

la cual muestra que el punto a interpolar no es más que el promedio de los dos elementos de la imagen considerados.

En el Algoritmo 4.7 se implantan todas las fórmulas anteriores para la ampliación de imágenes utilizando interpolación lineal segmentaria. En principio, es casi el mismo algoritmo que el 4.6, lo único que cambia es la forma de obtener los nuevos elementos. En este caso el valor se obtiene promediando los valores de los dos elementos vecinos al elemento a obtener.

Para calcular la complejidad del Algoritmo 4.7 analicemos paso a paso su ejecución. El ciclo 6-11, que varía con i y j realiza una suma y un cociente por cada juego de índices, que en total son $Alto \times Ancho$. El ciclo 12-16, por el otro lado, realiza $2 \times Alto \times (2 \times Ancho)$ operaciones, totalizando $5 \times Alto \times Ancho$ por cada bloque de datos cargado a memoria. El número de bloques (b) que se cargan a memoria depende de las dimensiones de la imagen, y está dado por:

$$b = \frac{MN}{64K} \quad (4.16)$$

```

1  Inicio del algoritmo
2  Dar el nombre de la imagen de entrada
3  Verificar que su formato sea correcto
4  mientras falten líneas por procesar hacer
5      Leer un bloque de datos:  $\vartheta_{ij}$   $1 \leq i \leq \text{Alto}$   $1 \leq j \leq \text{Ancho}$ 
6      para  $i = 1$  hasta  $i = \text{Alto}$  hacer
7          para  $j = 1$  hasta  $j = \text{Ancho}$  hacer
8               $\vartheta'_{2i-1,2j-1} = \vartheta_{ij}$ 
9               $\vartheta'_{2i-1,2j} = \frac{\vartheta_{i,j} + \vartheta_{i,j+1}}{2}$ 
10             fin_para
11         fin_para
12     para  $i = 1$  hasta  $i = \text{Alto}$  hacer
13         para  $j = 1$  hasta  $j = 2 \times \text{Ancho}$  hacer
14              $\vartheta'_{2i,j} = \frac{\vartheta'_{2i-1,j} + \vartheta'_{2i+1,j}}{2}$ 
15         fin_para
16     fin_para
17     Escribir el bloque de datos ampliado:
18          $\vartheta'_{ij}$   $1 \leq i \leq 2 \times \text{Alto}$   $1 \leq j \leq 2 \times \text{Ancho}$ 
19 Fin del algoritmo

```

Algoritmo 4.7 Ampliación de imágenes por interpolación lineal segmentaria

en donde el denominador es el tamaño de un segmento de memoria y M y N son el alto y ancho de una imagen, respectivamente. De aquí que el número total de operaciones en la ampliación lineal de imágenes sea de:

$$b \times 5 \times \text{Alto} \times \text{Ancho} = \frac{MN}{64K} \times 5 \times \frac{64K}{\text{Ancho}} \times \text{Ancho} = 5MN = O(MN) \quad (4.17)$$

4.2.4 Interpolación cúbica segmentaria

Es conveniente, para el desarrollo del algoritmo general, considerar el caso unidimensional y posteriormente hacer una obvia extensión a dos dimensiones. Por cuatro puntos cualesquiera en el plano, se puede hacer pasar uno y sólo un polinomio cúbico (Doer, 1978), que cumple con las siguientes propiedades:

$$\begin{aligned}
 P_i(x_j) &= p_j & i &= 1, \dots, n-1 \\
 P_{i-1}(x_j) &= P_i(x_j) & j &= i-1, i, i+1
 \end{aligned}
 \tag{4.18}$$

en donde $P_i(x_j)$, $P_{i-1}(x_j)$ y $P_i(x_j)$ son polinomios cúbicos representados en la Figura 4.4.

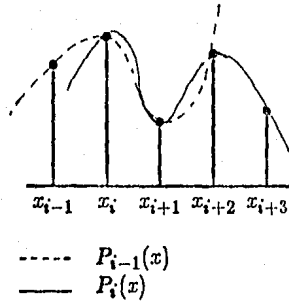


Figura 4.4 Dos polinomios adyacentes.

Es decir, el requisito de cada segmento polinomial es que pase por los cuatro puntos contiguos $(x_i, x_{i+1}, x_{i+2}, x_{i+3})$ y se traslapen uno con el otro en tres de esos cuatro puntos. En cada segmento polinomial se interpolará únicamente un punto, cuya posición se encuentra exactamente a la mitad de los cuatro interpolantes. Ya que la distribución de elementos en una imagen es homogénea consideraremos que la separación entre ellos es constante e igual a la unidad, es decir, $x_i - x_{i-1} = 1$, esto simplificará los desarrollos posteriores. Cada polinomio se puede referir a un sistema de coordenadas cartesiano, como lo ilustra la Figura 4.5.

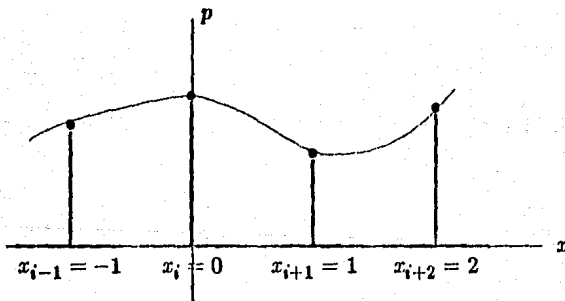


Figura 4.5 Superposición de un sistema de coordenadas.

De acuerdo a la Figura 4.5, la ecuación del polinomio cúbico interpolante se puede

determinar a partir de una tabla de diferencias divididas de Newton (Boor, 1978), de la siguiente manera:

-1	p_i		
		$p_{i+1} - p_i$	
0	p_{i+1}	$\frac{p_{i+2} - 2p_{i+1} + p_i}{2}$	
		$p_{i+2} - p_{i+1}$	$\frac{p_{i+3} - 3p_{i+2} + 3p_{i+1} - p_i}{6}$
1	p_{i+2}	$\frac{p_{i+3} - 2p_{i+2} + p_{i+1}}{2}$	
		$p_{i+3} - p_{i+2}$	
2	p_{i+3}		

De donde se puede deducir el polinomio:

$$P(x) = p_i + (x+1)(p_{i+1} - p_i) + x(x+1)\frac{p_{i+2} - 2p_{i+1} + p_i}{2} + x(x^2 - 1)\frac{p_{i+3} - 3p_{i+2} + 3p_{i+1} - p_i}{6} \quad (4.19)$$

Como ya se dijo, el valor a interpolar se encuentra en el punto medio de los elementos $x_i = 0$ y $x_{i+1} = 1$, por lo que $x = (x_{i+1} - x_i)/2 = 1/2$, sustituyendo este valor en la ecuación anterior se obtiene:

$$P\left(\frac{1}{2}\right) = \frac{9(p_{i+1} + p_{i+2}) - (p_i + p_{i+3})}{16} \quad (4.20)$$

y esta es la fórmula que se aplica en la ampliación de imágenes. Aunque el cociente no necesariamente es entero, el valor esperado para $P\left(\frac{1}{2}\right)$ en un entero en el intervalo $[0..255]$ por lo que el cociente se calcula con aritmética entera, truncando el resultado.

La fórmula (4.17) define un polinomio cúbico, y utilizando (4.18) se puede llevar a cabo la interpolación de todos aquellos elementos dentro del renglón que cuenten con dos elementos vecinos a cada lado, sin embargo, en los extremos de los mismos no se puede aplicar (4.18) ya que no existen los elementos suficientes para la interpolación, esto se ilustra en las Figuras 4.6a y 4.6b.

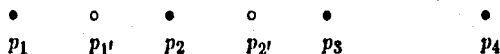


Figura 4.6a Interpolación en el extremo izquierdo.

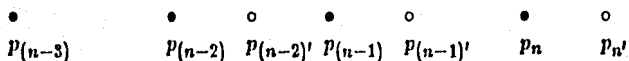


Figura 4.6b Interpolación y extrapolación en el extremo derecho.

En la Figura (4.6a) se muestran los cuatro elementos originales (•) y dos obtenidos con interpolación (o) del extremo izquierdo de un renglón en una imagen ampliada, mientras que en la Figura (4.6b) se muestran también cuatro elementos originales y tres obtenidos por interpolación y extrapolación. Para interpolar el elemento $p_{1'}$ (Figura 4.6a) utilizaremos el primer polinomio interpolante de cada renglón $P_1(x)$, de esta manera, según la Figura 4.6a y fijando el sistema de coordenadas que se muestra en la Figura 4.5, la interpolación será en el punto $x = -\frac{1}{2}$, sustituyendo este valor en el polinomio (4.17), tendremos:

$$P\left(-\frac{1}{2}\right) = p_{1'} = \frac{5(p_i + 3p_{i+1} - p_{i+2}) + p_{i+3}}{16} \quad (4.21)$$

De la misma manera se hace para el penúltimo elemento a interpolar ($p_{(n-1)'}$ en la Figura 4.6b), utilizando en este caso el último polinomio interpolante, $P_{n-3}(x)$, en el punto $x = \frac{3}{2}$, sustituyendo este valor en el polinomio (4.17), tendremos:

$$P\left(\frac{3}{2}\right) = p_{(n-1)'} = \frac{p_i - 5(p_{i+1} - 3p_{i+2} - p_{i+3})}{16} \quad (4.22)$$

Un caso especial se presenta en el extremo derecho, cuando se desea obtener el último elemento en la ampliación, $p_{n'}$ (Figura 4.6b). Este elemento no se encuentra dentro del renglón interpolante, como se puede ver en la figura. En este caso se hace una extrapolación utilizando el último polinomio interpolante, $P_{n-3}(x)$, de cada renglón. Para extrapolar en el punto $x = \frac{5}{2}$ nuevamente se utiliza el polinomio (4.17), según el cual se obtiene:

$$P\left(\frac{5}{2}\right) = p_{n'} = \frac{21p_{i+1} - 5(p_i + 7(p_{i+2} - 7p_{i+3}))}{16}. \quad (4.23)$$

Se puede considerar otra posibilidad cuando se amplía una imagen utilizando las fórmulas de esta sección: En el caso de las fronteras se puede descartar el elemento de las fronteras, en cuyo caso la reducción en las dimensiones de la imagen sería de dos renglones y dos columnas. Este caso especial no se maneja en SPID, sólo se menciona como posibilidad.

Utilizaremos las Fórmulas 4.18-4.21 para deducir la complejidad del algoritmo de ampliación de imágenes utilizando interpolación cúbica segmentaria. Se considerará que todas las operaciones aritméticas de punto fijo requieren del mismo tiempo de ejecución. La fórmula (4.18) requiere de dos sumas, una resta, un producto y un cociente; cinco operaciones en total. Las fórmulas (4.19), (4.20) y (4.21) requieren de seis operaciones aritméticas cada una. En cada renglón de la imagen original se insertan $N - 3$ elementos, que son interpolados usando la ecuación (4.18) y un elemento por cada ecuación (4.19), (4.20) y (4.21), de aquí que el número total de operaciones por renglón es de:

$$5(N - 3) + 18 = 5N + 3. \quad (4.24)$$

Si la imagen tiene M renglones, entonces el número total de operaciones en el primer paso de la ampliación es $M(5N + 3)$, en el segundo paso se realizan $N(5M + 3)$, que se obtiene intercambiando M y N . De aquí que el número total de operaciones aritméticas es de:

$$10MN + 3(M + N) = O(MN). \quad (4.25)$$

4.2.5 Reducción de imágenes

El algoritmo para la reducción de imágenes lee bloques de datos a los cuales les extrae los elementos despreciando uno y reteniendo el otro para cada uno de los renglones y columnas de la subimagen. En el algoritmo 4.8 se muestra la reducción de imágenes.

Debido a que en este algoritmo no se lleva a cabo ninguna operación aritmética no se evalúa su complejidad, que está dada en función de los accesos a disco y del movimiento de datos en memoria.

```

1  Inicio del algoritmo
2  Dar el nombre de la imagen de entrada
3  Verificar que su formato sea correcto
4  mientras falten líneas por procesar hacer
5      Leer un bloque de datos:  $v_{ij}$   $1 \leq i \leq \text{Alto}$   $1 \leq j \leq \text{Ancho}$ 
6      para  $i = 1$  hasta  $i = \lfloor \frac{\text{Alto}}{2} \rfloor$  hacer
7          para  $j = 1$  hasta  $j = \lfloor \frac{\text{Ancho}}{2} \rfloor$  hacer
8               $v'_{ij} = v_{2i-1, 2j-1}$ 
9          fin_para
10     fin_para
11     Escribir el bloque de datos reducido:
12          $v'_{ij}$   $1 \leq i \leq \lfloor \frac{\text{Alto}}{2} \rfloor$   $1 \leq j \leq \lfloor \frac{\text{Ancho}}{2} \rfloor$ 
13     fin_mientras
13  Fin del algoritmo

```

Algoritmo 4.8 Reducción de imágenes por supresión de elementos

4.3 Operaciones vectoriales

Se han clasificado con el nombre de *operaciones vectoriales* aquéllas que modifican los elementos de una imagen dependiendo de los valores de todos los elementos restantes a lo largo del conjunto que forman una columna o un renglón de la imagen. En cierta forma este tipo de operaciones son un caso más general que el de operaciones de área, en las que el elemento modificado depende únicamente de un conjunto de elementos que forman una vecindad al mismo.

La fórmula utilizada para las operaciones vectoriales se define de manera análoga a las operaciones de área, de la siguiente manera:

$$\vartheta'_{ij} = f \begin{pmatrix} \vartheta_{11} & \dots & \vartheta_{1j} & \dots & \vartheta_{1N} \\ \vdots & & \vdots & & \vdots \\ \vartheta_{i1} & \dots & \vartheta_{ij} & \dots & \vartheta_{iN} \\ \vdots & & \vdots & & \vdots \\ \vartheta_{M1} & \dots & \vartheta_{Mj} & \dots & \vartheta_{MN} \end{pmatrix} \quad \begin{matrix} 1 \leq i \leq N \\ 1 \leq j \leq M \end{matrix} \quad (4.26)$$

de donde se puede ver que las operaciones vectoriales dependen de toda la imagen para la actualización de cada uno de los elementos de la misma.

4.3.1 La Transformada de Fourier

El significado general de una transformación sobre una imagen es su descomposición en un conjunto de componentes que tienen algunas propiedades de las que se puede obtener algún provecho, propiedades tales como las variaciones espaciales en las componentes de una imagen. El concepto de filtrajes de la sección anterior vuelve a tener significado dentro del contexto de transformada de Fourier, si se toma en cuenta que una imagen puede descomponerse en una serie de frecuencias, se podrán, por ejemplo descartar las componentes de baja frecuencia y obtener un filtro pasa altas que sólo permita el paso de frecuencias medias y altas. Las componentes de baja frecuencia de la transformación contienen las variaciones muy lentas en la intensidad de la imagen, mientras que las componentes de alta frecuencia contienen las variaciones rápidas en la intensidad de la imagen.

La Transformada de Fourier de una función real de dos variables reales, $I(x, y)$ se define como:

$$I'(u, v) = \int_{-\infty}^{\infty} \int_{-\infty}^{\infty} I(x, y) e^{-jxu} e^{-jyv} dx dy. \quad (4.27)$$

Esta transformada se aplica únicamente a funciones de variables x, y continuas. En el procesamiento de imágenes digitales se requiere de una transformada de variables discretas.

La transformada discreta de Fourier (TDF) de una imagen I es la imagen I' definida con la fórmula siguiente:

$$I'(u, v) = \frac{1}{MN} \sum_{k=0}^{M-1} \sum_{l=0}^{N-1} I(k, l) e^{-j2\pi ku/M} e^{-j2\pi lv/N}. \quad (4.28)$$

Esta transformada se puede separar en las dos dimensiones que la componen, de tal manera que se pueda aplicar la transformada a la imagen por renglones y posteriormente por columnas, esta propiedad permite a SFID realizar la TDF por bloques.

La relación entre las fórmulas (4.27) y (4.28) es directa. Se puede demostrar, [Brac65], que si $I(k, l)$ se obtiene por muestreo de una función $I(x, y)$ continua de dos variables continuas x, y en los puntos $x = x_0 + k\Delta x$, $y = y_0 + l\Delta y$, en donde los valores de $I'(u, v)$ corresponden a los muestreos de la transformada continua de Fourier de $I(x, y)$ en los puntos $u/M\Delta x$, $v/N\Delta y$, la sustitución directa de estos valores en la ecuación 4.27, genera la ecuación 4.28 y la imagen $I'(u, v)$ obtenida con la TDF es periódica, con período M en u y período N en v , [Cool67].

En secciones posteriores haremos referencia a la TDF como una herramienta en el procesamiento de imágenes digitales. Una de sus aplicaciones más importantes es en la restauración de imágenes, utilizada muy a menudo ya que proporciona una mejora muy significativa en la calidad de la imagen.

Si se define $\alpha = e^{-j2\pi/N}$ y la matriz A como sigue:

$$A = \begin{pmatrix} 1 & 1 & \dots & 1 \\ 1 & \alpha & \dots & \alpha^{N-1} \\ & \vdots & \ddots & \\ 1 & \alpha^{N-1} & \dots & \alpha^{(N-1)(N-1)} \end{pmatrix}. \quad (4.29)$$

En donde el elemento $A_{k,l} = \alpha^{kl}$. La ecuación (4.28) se puede escribir como:

$$I' = AIA^T. \quad (4.30)$$

El cálculo directo de esta transformada implica $O(N^4)$ operaciones (sumas y productos). Para mostrar más fácilmente como se programa la transformada discreta de Fourier, se define el caso unidimensional como:

$$I'(u) = \sum_{k=0}^{N-1} I(k) e^{-j2\pi ku/N} \quad 0 \leq u \leq N-1 \quad (4.31)$$

en donde $I(k)$ es el valor de un elemento de un renglón de la imagen que se desea transformar y la cual está definida en los N puntos dados por la fórmula anterior. El valor de $I'(u)$ es también un elemento de un renglón de dimensión N ya que cada punto $I(k)$ se transforma en otro punto de aquélla. Hemos definido la transformada discreta ya que es ésta la que se programa en el procesamiento de imágenes.

En la implantación de la fórmula anterior se requiere hacer algunas simplificaciones para que se pueda aplicar el algoritmo conocido como *Transformada rápida de Fourier*. La fórmula (4.31) se puede expresar como:

$$I'(u) = \sum_{k=0}^{N-1} I(k)W_N^{ku} \quad 0 \leq u \leq N-1 \quad (4.32)$$

en donde $W_N = e^{-j2\pi/N}$. Si se considera que $N = 2^n$, entonces $N = 2^p$ para algún p entero positivo, de acuerdo con esto, la fórmula (4.32) se puede reescribir como:

$$I'(u) = \sum_{k=0}^{p-1} f(2k)W_{2^p}^{2ku} + \sum_{k=0}^{p-1} f(2k+1)W_{2^p}^{(2k+1)u}. \quad 0 \leq u \leq N-1 \quad (4.33)$$

Se puede observar que $W_{2^p}^{2ku} = W_p^{ku}$ y que $W_p^{u+p} = W_p^u$, $W_{2^p}^{u+p} = -W_{2^p}^u$. Si se define $I_1(u) = \sum_{k=0}^{p-1} f(2k)W_p^{ku}$ e $I_2(u) = \sum_{k=0}^{p-1} f(2k+1)W_p^{ku}$, la fórmula anterior se convierte en:

$$I'(u) = I_1(u) + I_2(u)W_{2^p}^u \quad (4.34)$$

y se tiene además la siguiente propiedad:

$$I'(u+p) = I'(u) - I_2(u)W_{2^p}^u \quad (4.35)$$

4.3.2 Implantación de la transformada

```

1  Inicio del algoritmo
2  Dar el nombre de la imagen de entrada
3  Verificar que su formato sea correcto
4  Leer las dimensiones de la imagen de entrada ( $AltoImg \times AnchoImg$ )
5   $L2AnchoImg = \log_2(AnchoImg)$ 
6  si  $\lfloor L2AnchoImg \rfloor$  no es igual a  $\log_2 AnchoImg$ 
   entonces  $L2AnchoImg = \lfloor L2AnchoImg \rfloor + 1$ 
7   $AnchoImgAmpliado = 2^{L2AnchoImg}$ 
8  mientras falten líneas por procesar hacer
9  Leer un bloque de datos:  $v_{ij}$   $1 \leq i \leq Alto$   $1 \leq j \leq Ancho$ 
10 Expandir el bloque leído a  $AnchoImgAmpliado$  en los renglones
   considerando que cada elemento de la imagen se transforma a un
   número complejo, con la parte imaginaria igual a cero
11 para  $i = 1$  hasta  $i = Alto$  hacer
12 Transformar el  $i$ -ésimo renglon
13 Quitarle los elementos agregados en la expansión anterior
14 fin_para
15 Trasponer el bloque de datos transformado
16 Escribir el bloque de datos transformado
17 fin_mientras
18 Fin del algoritmo

```

Algoritmo 4.9 Cálculo de la semi-transformada

Con las últimas fórmulas de la sección anterior se hace la programación en la microcomputadora. Los detalles varían de acuerdo a las diferentes etapas del cálculo: Transformación en los renglones, en las columnas, cálculo del espectro de frecuencias y la normalización del mismo.

La imagen original se encuentra almacenada en disco, sus dimensiones son variables y limitadas únicamente por la capacidad de almacenamiento del mismo. Sin embargo, la memoria principal de la microcomputadora está limitada. Se hará la transformación de una imagen con un bloque de 64K *octetos* en memoria principal. La operación se llevará a cabo utilizando el esquema de subimágenes. Se carga una sección de imagen cuyas dimensiones no rebasen la capacidad de la memoria principal disponible y se calcula que quede espacio suficiente para almacenar la parte transformada.

La operación del párrafo anterior se repite tantas veces como sea necesario. Cada subimagen transformada se traspone en memoria principal y se almacena de esta forma en disco. Al finalizar la primera parte de la transformación (e.g. por renglones), se tiene una *semi-transformada transpuesta*. En el Algoritmo 4.9 se programa esta primera parte.

El paso 12 del Algoritmo 4.9 es la parte central del mismo, ya que en él se realiza la transformación de cada uno de los renglones de la imagen. En el algoritmo 4.10 se muestra la implantación de esta parte [Horo78, Aho74, Kron79].

Se inicia a continuación la segunda etapa que, consiste en calcular la transformada por columnas. Debido a que sería un problema serio la carga de una subimagen por columnas, se ha almacenado la semi-transformada transpuesta de tal manera que se puede leer de disco como una subimagen por renglones y que corresponden en realidad a columnas de la imagen original.

Se cargan subimágenes de la semi-transformada y se les aplica nuevamente la transformada de Fourier. Se trasponen nuevamente éstas y se almacenan en disco. Dos trasposiciones no afectan la posición original de los elementos. Se hace de tal forma que al terminar la segunda transformación se tiene ya la tarea terminada. El algoritmo es exactamente igual que el Algoritmo 4.9, excepto que en la expansión de elementos ya no se convierte a números complejos porque en la primera transformación se hizo así.

```

1  Inicio del algoritmo
2  Ancho =  $2^m$ 
3  j = 0
4  para i = 0 hasta i = Ancho - 1 hacer
5      si i < j entonces hacer
6          Intercambiar los valores de  $\vartheta_i$  y  $\vartheta_j$ ;
7          Temporal =  $\vartheta_i$ ;
8           $\vartheta_i = \vartheta_j$ ;
9           $\vartheta_j =$  Temporal
10     fin_si
11     k = Ancho / 2
12     mientras k ≤ j hacer
13         j = j - k
14         k = k/2
15     fin_mientras
16     j = j + k
17     fin_para
18     para k = 1 hasta k =  $\log_2$  Ancho hacer
19         Pot =  $2^k$ 
20         PotM1 =  $2^{k-1}$ 
21         r = (1, 0) Constante compleja
22         s = (cos( $\pi$ /PotM1), sen( $\pi$ /PotM1))
23         para k = 1 hasta PotM1 hacer
24             para i = k hasta i = Ancho sumando a i, Pot hacer
25                 Indice = i + PotM1
26                 Temporal =  $r\vartheta_{Indice}$ 
27                  $\vartheta_{Indice} = \vartheta_i +$  Temporal
28                  $\vartheta_i = \vartheta_i -$  Temporal
29             fin_para
30             r = rs
31         fin_para
32     fin_para
33 Fin del algoritmo

```

Algoritmo 4.10 Transformada rápida de Fourier de un renglón

La complejidad del Algoritmo 4.10 es $O(N \log N)$ [Horo78, Aho74, Kron79] y servirá para calcular la complejidad en el cálculo de la TRF de toda la imagen. El cálculo de la TRF se lleva cabo sobre M renglones y posteriormente sobre N columnas, de aquí que la complejidad total del algoritmo sea:

$$M(N \log N) + N(M \log M) = MN(\log N + \log M) = MN \log MN \quad (4.36)$$

Como parte complementaria al cálculo de la Transformada de Fourier de una imagen se mapea su *espectro de potencias de la imagen* al conjunto $Z_{[0...255]}$ y desplegarlo como una imagen.

$$e_{ij} = \sqrt{Re^2 + Im^2} \quad \begin{array}{l} 0 \leq i \leq M - 1 \\ 0 \leq j \leq N - 1 \end{array} \quad (4.37)$$

en donde Re e Im son la parte real e imaginaria de cada punto transformado. Este cálculo es más fácil que la transformada ya que se aplica únicamente a un punto. En el cálculo de la ecuación anterior se utilizará el mismo esquema de subimagen, es decir, la imagen se procesa por bloques.

Calculado el espectro, se procederá a normalizarlo, cuya finalidad es la siguiente: el espectro de frecuencias de una imagen se encuentra en el intervalo $[e_{min} \dots e_{max}]$ y se requiere que éste sea mapeado al intervalo $[0 \dots 255]$. El mapeo debe ser logarítmico debido a la distribución de los datos del espectro, y se calcula con la fórmula:

$$e'_{ij} = \log_2(1 + |e_{ij}|) \quad \begin{array}{l} 0 \leq i \leq M - 1 \\ 0 \leq j \leq N - 1 \end{array} \quad (4.38)$$

El algoritmo 4.11 es una implantación de las ecuaciones (4.37) y (4.38) anteriores, éste genera una imagen que corresponde al espectro de frecuencias de la imagen original, pero con un inconveniente que resolveremos a continuación. El espectro generado tiene los cuadrantes intercambiados: El cuadrante 1 va al cuadrante 3 y viceversa, el cuadrante 2 va al cuadrante 4 y viceversa. Los cuadrantes se numeran como en el plano cartesiano. Esta operación es la que se hace finalmente para que el espectro de frecuencias quede de manera correcta al desplegarlo.

```

1  Inicio del algoritmo
2  AmplitudMaxima =  $1 \times 10^8$ 
3  AmplitudMinima =  $-1 \times 10^8$ 
4  mientras falten líneas por leer hacer
5      Leer un bloque de número complejos:
6           $C_{ij}$   $1 \leq i \leq \text{Alto}$   $1 \leq j \leq \text{Ancho}$ 
7          para  $i=1$  hasta  $i=\text{Alto}$  hacer
8              para  $j=1$  hasta  $j=\text{Ancho}$  hacer
9                   $e_{ij} = \log_2 \left( 1 + \sqrt{\text{Re}^2(C_{ij}) + \text{Im}^2(C_{ij})} \right)$ 
10                     si  $e_{ij} > \text{AmplitudMaxima}$ 
11                         entonces AmplitudMaxima =  $e_{ij}$ 
12                     de otro modo
13                         si  $e_{ij} < \text{AmplitudMinima}$ 
14                             entonces AmplitudMinima =  $e_{ij}$ 
15                     fin_si
16                 fin_para
17             fin_mientras
18     Escribir el bloque de números reales que componen
19     el espectro de frecuencias
20     fin_mientras
21     mientras falten líneas por normalizar hacer
22         Leer un bloque de datos:  $e_{ij}$   $1 \leq i \leq \text{Alto}$   $1 \leq j \leq \text{Ancho}$ 
23         para  $i=1$  hasta  $i=\text{Alto}$  hacer
24             para  $j=1$  hasta  $j=\text{Ancho}$  hacer
25                  $\vartheta_{ij} = \left( \frac{\text{AmplitudMaxima} - \text{AmplitudMinima}}{255} \right) e_{ij}$ 
26             fin_para
27         fin_para
28     Escribir la subimagen normalizada:
29      $\vartheta_{ij}$   $1 \leq i \leq \text{Alto}$   $1 \leq j \leq \text{Ancho}$ 
30     fin_mientras
31 Fin del algoritmo

```

Algoritmo 4.11 Cálculo de las amplitudes máxima y mínima y normalización del espectro

Biblioteca de funciones del sistema SPID en C

Las operaciones básicas sobre las que se apoya SPID fueron escritas en lenguaje ensamblador debido a las características de velocidad y capacidad necesarias en el manejo de grandes bloques de memoria. Son varias las funciones básicas requeridas, por lo que se clasificarán de acuerdo a su objetivo. El lenguaje huésped fue C por sus características de direccionamiento y por la flexibilidad de programación. En este lenguaje se escribieron los programas principales de SPID que hacen uso de las funciones y subrutinas básicas.

A continuación se mostrarán los encabezados utilizados por el lenguaje C para cada una de las rutinas y funciones del sistema. Estos encabezados identifican, además del nombre, los parámetros utilizados por las funciones. En el apéndice A se lista el código fuente de las funciones de la biblioteca de entrada y salida del sistema.

Este capítulo se ha dividido en 6 secciones, cada una de las cuales identifica diferentes tipos de funciones y procedimientos de acuerdo a la tarea que realizan.

En la Sección 1, se muestran los encabezados de las funciones y procedimientos que utilizan la tarjeta gráfica HLGE. Se mencionan algunos aspectos teóricos sobre el funcionamiento e implantación de cada una de las funciones y en especial las que utilizan la tarjeta gráfica y cuya programación requiere algunos conocimientos sobre la misma.

En la Sección 2 se muestran los encabezados de funciones y procedimientos que utilizan la pantalla en modo gráfico normal, con la HLGE sirviendo de emulador de gráficas, estas rutinas utilizan la pantalla en modo gráfico de la IBM-AT, con 4 colores y a una resolución de 200 x 360 puntos. La emulación trata la HLGE como si fuese una CGA (*Color Graphics Adaptor*) normal.

En la Sección 3 se muestran los encabezados de funciones y procedimientos que realizan la entrada/salida de datos, se definen algunas funciones que son estándares de la biblioteca del lenguaje C y que se hizo únicamente para resaltar sus características específicas. En esta parte no se analizan las funciones desde un punto de vista técnico y

de implantación ya que esto se hace hasta el Apéndice A.

En la Sección 4 se muestran los encabezados de las funciones y procedimientos de propósito general que utiliza el sistema. Estas funciones tienen la característica de realizar una función específica, que por su naturaleza no se clasificaron dentro de las otras bibliotecas.

En la Sección 5 se muestran los encabezados de las funciones y procedimientos que utilizan el coprocesador matemático. Casi todas estas funciones son las que se utilizan en el proceso de la transformada de Fourier, sin embargo, se cree que esta biblioteca puede seguir creciendo a medida que se amplíe el sistema y se requieran más operaciones que utilicen el coprocesador.

Finalmente, en la Sección 6 se muestran los encabezados de un conjunto de funciones y procedimientos que fueron escritos en el siguiente nivel de programación. Cada una de estas funciones utiliza las funciones de las secciones anteriores y se escribieron en C.

5.1 Subrutinas de modo gráfico, alta resolución, `spidtrj.h`

Este grupo de funciones y procedimientos será el que deba de cambiarse en el caso de un cambio de tarjeta de alta resolución, como puede ser el caso debido al gran avance tecnológico de estos tiempos. Se han agrupado en esta sección para una mayor información al usuario y para el programador mismo.

Int `IniGrafTrj()`.

Esta función inicializa la tarjeta de despliegue de alta resolución. Verifica que ésta exista. Esta rutina debe ser la primera que se llama en el programa, para que éste pueda empezar. Regresa un valor de cero si no existe la tarjeta de alta resolución o si hay algún problema con la misma. Realiza cinco tareas: el modo de comunicación entre la tarjeta y el sistema es en ASCII (CA) y hexadecimal (CX), esta función inicializa a CX; inicializa todas las banderas de la tarjeta gráfica (para más información, ver [Vect86]); limpia la pantalla a un color llamado COLORFONDO (ver apéndice B); crea una ventana de toda la pantalla (0,639,0,479) y, finalmente, define todos los caracteres que aparecen en el menú de despliegue, tales como las flechas en el recuadro superior derecho.

void `ModoGrafTrj()`.

Esta función inicializa la pantalla para despliegue de imágenes utilizando la tarjeta HLGE en alta resolución. No regresa ningún valor. Esta función actúa de la siguiente manera: El modo de despliegue de la HLGE lo lee de la localidad de memoria C600:030C; si encuentra un cero, entonces el estado es de alta resolución; si es uno, entonces su estado es de emulación de la CGA.

void ModoTextTrj().

Esta función conmuta del modo gráfico de alta resolución a modo textual. No regresa ningún valor. El funcionamiento de este modo es igual al de la descripción hecha en el párrafo anterior para la emulación. Se alcanza este modo escribiendo un 1 en la localidad C600:030C de memoria.

void UsaTrjAsc(Cadena).

Esta subrutina envía una cadena de caracteres a la tarjeta de alta resolución para su procesamiento, la dirección en memoria de la cadena es Cadena:APTRCERCA. No regresa ningún valor. La cadena debe estar en formato ASCII.¹ El envío se hace a través de una sección de memoria que empieza en la localidad apuntada por la localidad C600:0300.

void UsaTrjHex(Cadena, Numoctetos).

Esta subrutina envía Numoctetos:Int a la tarjeta de alta resolución para su procesamiento, la dirección en memoria de la cadena es Cadena:APTRCERCA. No regresa ningún valor. Su funcionamiento es análogo a la función anterior, excepto que ahora la cadena de caracteres lleva un contador que indica su longitud.

void EscribeDMA(AbsInf, AbsDer, OrdInf, OrdSup).

Esta función muestra una sección de imagen en pantalla. Esta subrutina se utilizará en el ventaneo y enrollamiento de imágenes. Las coordenadas de la ventana son AbsInf:Int, Abscisa en pantalla del margen izquierdo; AbsDer:Int, Abscisa del margen derecho; OrdInf:Int, Ordenada del margen inferior y OrdSup:Int Ordenada del margen superior. No regresa ningún valor.

Para la transferencia se hace uso de los puertos 2,3,A,B,C y 83 para escritura y lectura. Para empezar escribe un 0 a la localidad de memoria C600:0310 lo cual indica a la tarjeta que se va a iniciar una transferencia de datos a través del canal 1 del DMA. A continuación se envían las coordenadas de los puntos en la pantalla que definen el área de despliegue y se inicia la transferencia, ésta termina cuando la localidad en memoria C600:0310 tiene un valor diferente de cero.

void LeeDMA(AbsInf, AbsDer, OrdInf, OrdSup).

Esta función lee una sección de imagen en pantalla. Esta subrutina se utilizará en el ventaneo y enrollamiento de imágenes. Las coordenadas de la ventana son AbsInf:Int, Abscisa en pantalla del margen izquierdo; AbsDer:Int, Abscisa del margen derecho; OrdInf:Int, Ordenada del margen inferior y OrdSup:Int Ordenada del margen superior. No regresa ningún valor. Al igual que la función anterior utiliza el canal del DMA, sólo que la transferencia es ahora de la tarjeta hacia la memoria del sistema.

¹ Este formato consta de una cadena de caracteres terminada con un cero.

void CargaTablaLUT(AptrLUT).

Esta subrutina actualiza la tarjeta gráfica HLGE con un conjunto de valores (256) definidos por una tabla cuyo índice es AptrLUT:Int y que determinan los colores que se van a utilizar en el despliegue de una imagen. La longitud de esta tabla es $2 \times 256 = 512 = \text{LNGREGLUT}$. Estos valores se leen del archivo TBL-LUTS.DAT, creado con la utilería vista en la Sección 3.3. No regresa ningún valor.

El proceso es muy sencillo: Se abre el archivo TBL-LUTS.DAT, se calcula la posición de la tabla pedida con la operación: Tabla pedida = $256 \times \text{IndLUT}$, y se leen 512 octetos que corresponden a la tabla requerida.

void SalvaTablaLUT(AptrLUT).

Esta subrutina guarda un registro de 256 valores de LUT's en el archivo TBL-LUTS.DAT. Se identifica con un índice, AptrLUT:Int, el cual se le pasa de parámetro. No regresa ningún valor. La longitud de este es $2 \times 256 = 512 = \text{LNGREGLUT}$. Opera igual que la función anterior excepto que en vez de leer ahora escribe.

void DefineLUT(IndColor, IntRojo, IntVerde, IntAzul).

Esta subrutina carga un valor en la tabla de LUT's, definiendo de esta manera un color dado por las intensidades de los índices: IndColor:octeto, índice que define el color; IntRojo:octeto, intensidad en el color rojo; IntVerde:octeto, intensidad en el color verde; IntAzul:octeto, intensidad en el azul. Se utiliza en la definición de tablas, creando entrada por entrada, las cuales define el usuario con el programa analizado en la sección 3.3.

void TablaLUTPred(IndLUT).

Este procedimiento carga una tabla de LUT's de las que ya están definidas en la tarjeta gráfica usando el índice IndLUT:octeto ($0 \leq \text{IndLUT} \leq 3$). No regresa ningún valor.

5.2 Rutinas de graficación, spidgraf.h

En el lenguaje C no existe un estándar de funciones gráficas, por lo que se creó un conjunto de funciones y subrutinas para tal fin, es en esta sección donde se muestran los encabezados de las mismas. Estas funciones se escribieron en lenguaje ensamblador.

void ModoGrafico().

Este procedimiento inicializa la tarjeta de despliegue a modo gráfico 4 colores y 320 columnas por 200 renglones. No regresa ningún valor. Usa la función 4 de la interrupción 10h del sistema operativo.

void ModoTextual(Atributo).

Este procedimiento inicializa la tarjeta de despliegue a modo textual normal de 80 columnas por 25 renglones. El parámetro que se le pasa es un atributo que despliega en toda la pantalla (color en que queda la pantalla). No regresa ningún valor. Utiliza la función 3 de la interrupción 10h del sistema operativo.

void MueveCursor (Columna, Renglón).

Este procedimiento posiciona el cursor en una columna (Columna:octeto) y renglón (Renglón:octeto) determinados. No regresa ningún valor. Usa la función 2 de la interrupción 10h.

void EscCarAtr (X, Y, Caracter, Atributo).

Este procedimiento escribe un Caracter:octeto en la pantalla junto con su Atributo:octeto, en las coordenadas X:octeto, Y:octeto. No regresa ningún valor. Esta función no utiliza el sistema operativo, escribe directamente en memoria el carácter.

void EscCadAtr (X, Y, Atributo, Cadena).

Este procedimiento escribe una Cadena:APTRCERCA de caracteres en formato ASCII, con un Atributo:octeto, en las coordenadas (X:octeto, Y:octeto). No regresa ningún valor. Funciona de manera análoga a EscCarAtr.

APTRCERCA SalvaVent (DirBaseVent, AprtVent).

La función almacena una ventana en memoria para restablecerla posteriormente. Regresa la dirección de almacenamiento. DirBaseVent:APTRCERCA es la dirección base de la ventana a almacenar AprtVent:VENTANA * es un apuntador a una ventana que define las características de la misma.

void RestableceVent (DirBaseVent, AprtVent).

Este procedimiento despliega en la pantalla una ventana que previamente se había almacenado. Esto sucede cuando se regresa en un nivel en el manejador de menús. No regresa ningún valor. DirBaseVent:APTRCERCA es la dirección base de la ventana a desplegar y AprtVent:VENTANA * es un apuntador a una ventana que define las características de la misma.

5.3 Subrutinas de entrada/salida, spides.h

Aunque la biblioteca estándar de C contiene algunas de las funciones y procedimientos que se definen en esta sección, aquéllos son de propósito muy general, mientras que en SPID se requieren tareas más simples, reduciendo de esta manera el código generado. Por ejemplo, la función estándar de C, printf, SPID la utilizaría únicamente para desplegar una cadena de caracteres, en este caso, mejor se define una función más pequeña que lo haga. Todos los listados fuente de estas funciones se encuentran en el apéndice A, en donde se hará una explicación más detallada de cada una de éstas.

byte LeeCar().

La función lee un caracter del teclado sin desplegarlo en la pantalla. Regresa el código ASCII del caracter leído. Usa la función 7 de la interrupción 21h del sistema operativo.

byte LeeCarEco().

La función lee un caracter del teclado y lo despliega en la pantalla. Regresa el código ASCII del caracter leído. Usa la función 1 de la interrupción 21h del sistema operativo.

void LeeCadena(DirBaseCad).

La función lee una cadena de caracteres en el formato ASCIIZ. Se le pasa la dirección donde colocará la cadena, DirBaseCad:APTRCERCA. Utiliza la función anterior LeeCarEco, el fin de la cadena se detecta con el caracter CR.

int LeeEntero().

La función lee un número. Regresa su valor. Verifica que no haya error en el formato, usa la función anterior LeeCadena.

float LeeReal().

La función lee un número real en precisión simple. Regresa la dirección donde se encuentra el valor de este número. Usa la función LeeCadena. Verifica que el formato sea correcto.

void EscCar(Character).

La función escribe un caracter en la pantalla. Character:char es el caracter que se desea imprimir. Usa la función 2 de la interrupción 21h del sistema operativo.

IMAGEN AbreImg(NomImg).

La función abre una imagen para lectura y escritura. Si existe un error regresa un 0, de otro modo regresa el identificador de la misma. NomImg:APTRCERCA es un apuntador a una cadena ASCIIZ del nombre de la imagen por abrir. Usa la función 3Dh de la interrupción 21h del sistema operativo.

IMAGEN CreaImg(NomImg).

La función crea una imagen para lectura únicamente. Si existe un error regresa un 0, de otro modo regresa el identificador de la misma. NomImg:APTRCERCA es un apuntador a una cadena ASCIIZ del nombre de la imagen por crear. Usa la función 3Ch de la interrupción 21h del sistema operativo.

void CierraImg(Img).

La función cierra una imagen. No regresa valor alguno. Img:IMAGEN es el identificador de la imagen. Usa la función 3Eh de la interrupción 21h del sistema operativo.

void BorraImg (NomImg).

La función borra una imagen. NomImg:APTRCERCA es una cadena ASCIIZ del nombre de la imagen a borrar. No regresa ningún valor. Usa la función 41h de la interrupción 21h del sistema operativo.

int ErrorLectura().

La función regresa un 1 si hubo en error en la lectura del dato anterior, esta función se aplica a la lectura de números enteros y reales, de otro modo regresa un 0.

int ErrorDOS().

La función regresa el número de error cometido en una operación del sistema operativo en disco (DOS). Ver la tabla 3.1 para una información más completa.

long LeeLongImg (Img).

La función lee la longitud de una imagen. Esta función sirve para detectar si el formato de una imagen es válido o no, comparando el tamaño físico de la imagen con las dimensiones que se encuentran al final del archivo que define la imagen. IdentImg:IMAGEN es el identificador de la imagen. Regresa la longitud física de una imagen.

void LeeDimension (Img, MMD: DIMEN far *).

La subrutina lee los datos de una imagen. Img:IMAGEN es el identificador de la imagen; MMD: DIMEN far * es un apuntador a una estructura en la que se regresa la información referente a la imagen.

PALABRA LeeSubImg (Img, DirBase, LongX, RefY, RefX, NumCols).

La subrutina carga en memoria una sección de una imagen. Regresa el número de líneas leídas. Los parámetros son: Img:IMAGEN es el identificador de la imagen de que se van a leer los datos; DirBase:APTRLEJOS es la dirección en memoria a la que se transfieren los datos; LongX: int es el ancho de la imagen en disco; RefY: int es la ordenada de la esquina superior izquierda de la subimagen a leer; RefX: int es la abscisa de la coordenada formada por el punto (RefX, RefY); y, finalmente, el último parámetro es NumCols: int, el número de columnas de la subimagen a leer.

PALABRA LeeSeq (Img, BaseImg, Numbytes).

La función lee secuencialmente un archivo de datos a partir de la posición del apuntador de archivo hasta la longitud deseada. Regresa el número de octetos leídos. Los parámetros son: Img:IMAGEN es el identificador de la imagen que contiene los datos de que se va a leer; BaseImg:APTRLEJOS es un apuntador a la dirección de transferencia de los datos; Numbytes: PALABRA es la cantidad de datos pedida.

void EscSubImg (Img, BaseImg, LongX, RefY, RefX, NumRens, NumCols).

La subrutina escribe una subimagen de memoria a disco. No regresa ningún

valor. Los parámetros son: `Img:IMAGEN` es el identificador de la imagen a la que se va a escribir; `BaseImg:APTRLEJOS` es un apuntador a la dirección en memoria, de transferencia de la subimagen a escribir; `LongX:Int` es el ancho de la imagen en disco; `RefY:Int` es la ordenada de la esquina superior izquierda de la imagen en disco; `RefX:Int` es la abscisa del mismo punto, formado por la pareja: (`RefX,RefY`); `NumRens:Int` es el número de renglones de la subimagen a escribir y `NumCols:Int` es el número de columnas de la subimagen.

PALABRA `EscSeq(Img, BaseImg, Numbytes)`.

La función escribe secuencialmente en un archivo de datos a partir de la posición del apuntador de archivo hasta la longitud deseada. Los parámetros son: `Img:IMAGEN` es el identificador de la imagen a la que se escribirán los datos; `BaseImg:APTRLEJOS` es un apuntador en memoria a la dirección de transferencia de los datos y `Numbytes:PALABRA` es la cantidad de datos a escribir.

5.4 Subrutinas de propósito general, `spidgral.h`

En esta sección se muestran los encabezados de las funciones y procedimientos utilizados por SPID de propósito general. Existen también aquí, al igual que en las secciones anteriores, algunas funciones y procedimientos de la biblioteca estándar de C, pero se prefirió escribir una versión propia.

void `Retardo(Tiempo)`.

La función genera un ciclo nulo de tal forma que la computadora permanece inactiva en un período de tiempo dado por el parámetro `Tiempo:Int`.

BYTE `Ajusta(ValAAjustar)`.

La función convierte un número entero, `ValAAjustar` a **BYTE** con las siguientes características:

- a) Si es menor de cero, lo ajusta a cero,
- b) Si es mayor de 255, lo ajusta a 255,
- c) De otro modo, toma sólo el **BYTE** de la parte baja.

void `EntAAsc(NumEnt, CadSal)`.

La rutina convierte un número entero a cadena ASCII. `NumEnt:Int` es el valor que se desea convertir a cadena. `CadSal:Cadena` es la cadena resultante de convertir `NumEnt` a ASCII, ésta debe ser un arreglo de caracteres definido global.

BYTE `Checa8087()`.

La función verifica que exista el coprocesador matemático sin el cual SPID no puede funcionar. Regresa un 0 si hay un coprocesador, de otro modo, regresa

otro valor.

void Convierte (ArchEnt, Alto, Ancho).

La subrutina convierte un archivo de datos en una imagen. Calcula el histograma resultante y la información relacionada con la imagen, tal como su altura, el ancho y los elementos mínimo y máximo, según el formato mostrado en la figura 2.1. No regresa valor alguno. Los parámetros que se le pasan son los siguientes: ArchEnt:IMAGEN es el identificador del archivo de datos de entrada; Alto:ntes el número de renglones de la imagen; Ancho:nt es el ancho de la imagen o número de columnas.

APTREJOS BaseImg (Opción).

La función regresa un apuntador que corresponde a la dirección en donde inicia el almacenamiento de las subimágenes procesadas en SPID. La división es a segmentos, por lo que el número regresado corresponde a un segmento en memoria, con un offset de cero. El parámetro Opcion:BYTE indica el segmento de memoria que se desea direccionar:

1: Regresa un apuntador al primer segmento de memoria que utiliza SPID, SEG_IMG1.

2: Regresa un apuntador al segundo segmento de memoria que utiliza SPID, SEG_IMG2.

3: Regresa un apuntador al segmento que se encuentra entre el primero y el segundo y es división de 64K, ver la fórmula 2.5 y la figura 2.2.

void DobraSubImg (DirOrigen, DirDestino, Renglones, Columnas.).

El procedimiento amplía una subimagen por doblamiento de sus elementos originales. No regresa ningún valor. Los parámetros que se le pasan son: DirOrigen:APTREJOS es un apuntador a la dirección del bloque a ampliar; DirDestino:APTREJOS es la dirección del bloque ampliado; Renglones:nt es la altura de la subimagen a ampliar y Columnas:nt es el ancho de la subimagen a ampliar. Ver el algoritmo 4.6.

void AmpliaLineal (DirOrigen, DirDestino, Renglones, Columnas).

El procedimiento amplía una subimagen utilizando interpolación lineal entre cada dos elementos y extrapolación en la frontera. No regresa ningún valor. Los parámetros que se le pasan son iguales al procedimiento anterior. Ver el algoritmo 4.7.

void AmpliaCubico (DirOrigen, DirDestino, Renglones, Columnas).

El procedimiento amplía una subimagen utilizando interpolación cúbica segmentaria en la parte central y lineal en los extremos utilizando extrapolación en las fronteras. No regresa ningún valor. Los parámetros son los mismos que los dos procedimientos anteriores. Ver la fórmula 1.3 y el algoritmo 1.1.

void TraspBlqBytes (DirOrigen, DirDestino, Renglones, Columnas).

El procedimiento traspone un bloque de bytes. No regresa ningún valor. Los parámetros, nuevamente, son los mismos de los tres procedimientos anteriores.

void DespliegaHisto (Img).

El procedimiento muestra el histograma de una imagen dada. No regresa ningún valor. Img:IMAGEN es el identificador de la imagen. Ver el algoritmo 2.3.

void CreaMapeo (Img, DirArreglo, Rengiones, Columnas).

El procedimiento genera un arreglo de 256 elementos que sirven para mapear una imagen de acuerdo al histograma normalizado. Img:IMAGEN es el identificador de la imagen de entrada; DirArreglo:APTRCERCA es la dirección del arreglo que forma el mapeo Rengiones:PALABRA es el número de rengiones de la imagen y Columnas:PALABRA es el ancho de la imagen.

void MapeaBloque (DirOrigen, DirMapeo, NumBytes).

El procedimiento es la parte complementaria del procedimiento anterior, véase el algoritmo 4.2 en donde aparecen ambas funciones. En este procedimiento se transforma un bloque de bytes de la imagen original, de acuerdo al mapeo, en otro bloque. DirOrigen:APTRLEJOS es la dirección de transferencia de los datos; DirMapeo:APTRCERCA es la dirección en la que se encuentra el arreglo mapeador y NumBytes:PALABRA es la cantidad de bytes a transformar.

void SumaBloque (DirOrigen, DirDestino, NumBytes).

El procedimiento promedia dos subimágenes puntualmente y se utiliza en la suma de dos imágenes. No regresa ningún valor. DirOrigen:APTRLEJOS es la dirección del primer bloque; DirDestino:APTRLEJOS es la dirección del segundo bloque y lugar donde se almacena el resultado del promedio y NumBytes:Int es el número de elementos en el bloque.

void RestaBloque (DirOrigen, Dirdestino, NumBytes).

El procedimiento encuentra la diferencia entre dos elementos en una subimagen. Normaliza el intervalo resultante al intervalo [0..255] linealmente. No regresa valor alguno. DirOrigen:APTRLEJOS es la dirección del primer bloque; DirDestino:APTRLEJOS es la dirección del segundo bloque y lugar donde se almacena el resultado de la diferencia y NumBytes:Int es el número de elementos en el bloque.

void DivideBloque (DirOrigen, Dirdestino, NumBytes).

El procedimiento realiza el cociente de dos bloques elemento a elemento. No regresa ningún valor. DirOrigen:APTRLEJOS es la dirección del primer bloque; DirDestino:APTRLEJOS es la dirección del segundo bloque y lugar donde se almacena el resultado del promedio y NumBytes:Int es el número de elementos en el bloque.

void FiltraSubImg (DirOrigen, DirFiltro, RensFiltrar, ColsFiltrar, AltoFiltro, AnchoFiltro).

El procedimiento filtra una subimagen. No regresa ningún valor. DirOrigen:APTRLEJOS es la dirección en la que se encuentra el bloque; DirFiltro:APTRCERCA es la dirección del filtro; RensFiltrar:Int es la altura del bloque a filtrar; ColsFiltrar:Int es el ancho del bloque a filtrar; AltoFiltro:Int es la altura del filtro y AnchoFiltro:Int es el ancho del mismo.

void ExtrapolaBlq (DirOrigen, AltoBlq, AnchoBlq, RenExtra, ColExtra).

El procedimiento ejecuta dos tareas fundamentales:

1: Dado un bloque de datos lo traslada a otra posición en memoria y lo expande, es decir, genera renglones más largos que los originales, creando un bloque de datos mayor que el original.

2: Ampliado el bloque extrapola los datos de la frontera del mismo copiándolos repetidamente tantas veces como las dimensiones del filtro.

Los parámetros son los siguientes: DirOrigen:APTRLEJOS es la dirección donde se encuentra el bloque originalmente; AltoBlq:Int es el número de renglones del bloque; AnchoBlq:Int es el ancho del bloque; RenExtra:Int es el número de renglones del filtro / 2 y ColExtra:Int es el número de columnas del filtro / 2.

void ReduceSubImg (DirOrigen, Renglones, Columnas).

El procedimiento reduce una subimagen descartando elementos de la misma. Sobre cada renglón desprecia un elemento y toma el siguiente. De cada dos renglones toma únicamente uno. Los parámetros son los siguientes: DirOrigen:APTRLEJOS es la dirección donde se encuentra la subimagen que se va a reducir; Renglones:Int es el número de renglones del bloque a reducir y Columnas:Int es el ancho del mismo.

void ExtraeSubBanda (DirOrigen, RensBanda, ColsBanda, Banda, NumBandas).

El procedimiento extrae una banda de una subimagen multiespectral. Los parámetros son: DirOrigen:APTRLEJOS es la dirección base de la subimagen multiespectral; RensBanda:Int es el número de renglones de la subimagen; ColsBanda:Int es el ancho de un renglón; Banda:Int es el número de banda que se desea extraer; NumBandas:Int es el número de bandas de que consta la imagen multiespectral.

void ComponeSubImg (DirOrigen, RensSubImg, ColsSubImg, NumBandas, BandaRojo, BandaVerde, BandaAzul).

El procedimiento crea una subimagen a partir de tres bandas, consideradas como RR VVV AAA, en donde la R es rojo, la V es verde y la A es azul. Los parámetros que se le pasan son: DirOrigen:APTRLEJOS es la dirección base de la subimagen multiespectral; RensSubImg:Int es el número de renglones de la subimagen; ColsSubImg:Int es el ancho de un renglón; NumBandas:Int es el número de bandas de que consta la imagen multiespectral; BandaRoja:Int

es el número de banda a la que se le asignará el rojo; BandaVerde:Int es el número de banda, en la imagen multispectral, a la que se le asignará el color verde y BandaAzul:Int es la banda que se considerará del azul.

5.5 Subrutinas de punto flotante, spidflot.h

Existe un conjunto de funciones y subrutinas que debe ejecutar SPID de punto flotante, en donde un emulador resulta muy ineficiente por lo complicado de las operaciones, por lo tanto, se hace necesario el uso de un coprocesador matemático que maneje todas las operaciones de punto flotante.

SPID utiliza el 8087 para soporte numérico, de esta manera se logra una mayor eficiencia en tareas que requieren de una gran cantidad de operaciones. En esta sección aparece la mayor parte de las funciones y procedimientos que utiliza el coprocesador.

PALABRA Completar (ValorACompletar).

La función genera un número potencia de 2 a partir del parámetro de entrada, ValorACompletar:PALABRA. Si el parámetro es potencia de 2, entonces el resultado es este mismo. Si es mayor que una potencia de 2, es decir, es de la forma: $2^x + a$, entonces el resultado es 2^{x+1} .

Int LogBase2 (ValLog2).

La función calcula el logaritmo en base 2 de una potencia de 2, ValLog2 : PALABRA. Regresa este valor.

void Traspone (DirOrigen, DirDestino, Renglonas, Columnas).

El procedimiento traspone un arreglo rectangular de datos complejos que se encuentra en memoria, en la dirección DirOrigen:APTRLEJOS a la dirección DirDestino:APTRLEJOS. Para traspone los elementos se utiliza la formula:

$$(i, j) = in + j \Rightarrow (j, i) = jm + i.$$

En donde m es el número de renglones y n es la longitud de un renglón. No regresa ningún valor. renglones:Int es el alto del área rectangular o número de renglones y Columnas:Int es el ancho de la misma.

void Expande (DirOrigen, Renglonas, Columnas, LongNueva).

El procedimiento se encarga de distribuir los datos de una imagen en un segmento de memoria, de tal manera que cada byte que ocupaba una localidad de memoria ahora ocupará 8. Se convierte en número complejo y ocupa 4 bytes la parte real más 4 de la parte imaginaria. Este procedimiento transforma un bloque de bytes a un bloque de números complejos. Todo lo hace en el mismo segmento de memoria. No regresa ningún valor. DirOrigen:APTRLEJOS es la dirección base del segmento a expandir; Renglonas:Int es el número de

renglones o alto de la subimagen NumCols:ntes el número de columnas o ancho de la subimagen LongNueva:nt es el ancho a que se desea ampliar cada renglón.

void TransfBloque (DirOrigen, Renglones, Columnas, L2Columnas).

El procedimiento utiliza el algoritmo de la transformada de Fourier para transformar una subimagen que se encuentra en memoria principal. Transforma renglón a renglón. No regresa ningún valor. DirOrigen:APTRLEJOS es la dirección base del segmento a transformar; Renglones:nt número de renglones de la subimagen a transformar; Columnas:nt es el número de columnas o ancho de la subimagen a transformar y L2Columnas:nt es el logaritmo en base 2 del ancho del renglón.

void AmplMaxMin (DirOrigen, Renglones, Columnas).

El procedimiento calcula la amplitud de la transformada de Fourier de una subimagen en memoria. Encuentra los valores máximo y mínimo de las amplitudes, valores que posteriormente utilizará en el mapeo de las amplitudes al intervalo [0,255]. No regresa valor alguno. DirOrigen:APTRLEJOS es la dirección base del segmento en el cual se encuentran los valores sobre los cuales calcula el máximo y el mínimo; Renglones:nt es el número de renglones de la subimagen y Columnas:nt es el número de columnas de la subimagen.

void EspectroImg (DirOrigen, Renglones, Columnas).

El procedimiento calcula el mapeo del espectro de un bloque correspondiente a una subimagen. DirOrigen:APTRLEJOS es la dirección base del bloque; Renglones:nt es el número de renglones de una subimagen Columnas:nt es el número de columnas de una subimagen.

5.6 Subrutinas de alto nivel, spidlib.h

Algunas funciones y procedimientos se escribieron en el lenguaje C ya que se componen de una o más funciones básicas, como las que hemos analizado hasta ahora. En esta sección se muestran los encabezados de estas funciones.

int DameLetra().

La función lee del teclado un carácter y regresa un entero con las siguientes características: a) Si la tecla presionada es normal, ésta se regresa en la parte alta de la función y b) Si la tecla presionada es de código extendido, la parte alta es cero y la parte baja es el código correspondiente.

void LeeCadenaXY (X, Y, DirOrigen).

La función lee una cadena de caracteres. Regresa un apuntador a la cadena en DirOrigen:APTRCERCA. Se le pasan como parámetros las coordenadas (X:BYTE, Y:BYTE) del punto en la pantalla donde se lee la cadena.

char LeeCarSNXY (X,Y).

La función lee un caracter y sólo acepta que éste sea 'S', 's', 'N' o 'n'. Se le pasan de parámetros las coordenadas (X:BYTE, Y:BYTE) del punto en la pantalla donde se lee el caracter. Regresa el código ASCII del caracter leído.

float LeeRealXY (DirVentana, X, Y, Longitud).

La función lee un número real, verificando que su formato sea correcto. Regresa el número leído. Se le pasan como parámetros un apuntador DirVentana:APTRVENT a la ventana en la que se lee el número; las coordenadas (X:BYTE, Y:BYTE) del punto en la pantalla; y la cantidad máxima Longitud:BYTE de caracteres de que se puede componer el número.

int LeeEnteroXY (DirVentana, X, Y, Longitud).

La función lee un número entero, verificando que su formato sea correcto. Regresa el número leído. Los parámetros que se le pasan son exactamente los mismos que para la lectura de un número real.

void MarcoTrj (X1, Y1, X2, Y2, ColorMarco).

El procedimiento despliega un rectángulo en la pantalla de alta resolución. No regresa ningún valor. Los parámetros son las coordenadas (X1:int, Y1:int) y (X2:int, Y2:int) de la esquina superior izquierda e inferior derecha del mismo, finalmente ColorMarco:BYTE es el color con que se desea desplegar el marco.

void MarcoRellenoTrj (X1, Y1, X2, Y2, ColorMarco, ColorFondo).

La subrutina traza un marco y lo rellena de un color dado. Los parámetros son los mismos que para un rectángulo normal —subrutina anterior—, excepto que ahora se le agrega el color del fondo ColorFondo:BYTE con que se rellena el marco.

void RellenaTrj (X, Y, ColorARellenar, ColorFrontera).

La subrutina rellena un área de la pantalla usando la tarjeta de alta resolución. Como parámetros se le pasan: Las coordenadas (X:int, Y:int) del punto inicial de partida para rellenar, este punto debe ser interior al área; el color con que se va a rellenar, ColorARellenar:BYTE y, finalmente, el color de la frontera del área, ColorFrontera:BYTE.

void EscTextTrj (Columna, renglón, ColorTex, TipoFont, Estilo, Tamano, AprtTexto).

La subrutina escribe una cadena de texto en la pantalla utilizando la tarjeta de alta resolución. No regresa ningún valor. Los parámetros que se le pasan son los siguientes: Columna:int es la abscisa a partir de la cual se desplegará el texto; renglón:int es el renglón a partir del cual se desplegará el texto; ColorTex:BYTE es el color del texto; TipoFont:int es el tipo de font que se desea utilizar para el despliegue, si es 0, entonces es el font predefinido en la tarjeta de despliegue, si es 1, entonces el font desplegado es el definido por el usuario; Estilo:int es la forma en que se despliega el texto, si es 0, el texto es delgado, si es 1, el texto es grueso; Tamano:int es el tamaño del texto

desplegado, puede variar desde 1 hasta 20mm.; AprtTexto:APTRCERCA es la dirección en donde se encuentra el texto a desplegar.

void Marco(X, Y, Alto, Ancho, Atributo).

El procedimiento despliega un marco en pantalla, utiliza un octeto de Atributo : BYTE para el mismo. No regresa ningún valor. Se le pasan de parámetros las coordenadas de la esquina superior izquierda (X:BYTE, Y:BYTE) y el Alto:BYTE y Ancho:BYTE del mismo.

void DespVentana(AprtV, Normal).

El procedimiento despliega una ventana. Muestra el marco y despliega las opciones. AprtV:VENTANA * es un apuntador a la ventana que se va a desplegar, el parámetro Normal:INT es un valor que determina el tipo de ventana: 0 si es una ventana de ayuda —en este caso no coloca la barra separadora entre título y opciones—, si es 1, entonces la ventana es normal.

BYTE LeeOpcion(AprtV).

El procedimiento lee la opción deseada dentro de una ventana. Regresa 0 para la primer opción, 1 para la segunda, etc. AprtV:VENTANA * es un apuntador a la ventana en cuestión.

IMAGEN AbreImgXY(NomImgEnt, X, Y, AprtVent).

La función abre una imagen colocando el cursor en la posición (X:BYTE, Y:BYTE) en pantalla para preguntar su nombre. Se le pasa como parámetro el nombre de la imagen NomImgEnt:APTRCERCA. Si la imagen no existe, despliega un mensaje de error y pregunta por otro nombre. Regresa el identificador de la imagen cuando logra abrirla. El último parámetro es un apuntador AprtVent:APTRCERCA a la ventana en que se lee el nombre de la imagen.

IMAGEN CreaImgXY(NomImgEnt, X, Y, AprtVent).

La función crea una imagen si ésta no existe; de otra manera pregunta al usuario si desea borrarla, si éste es el caso entonces la borra, de otro modo pregunta por una nueva imagen. Los parámetros son exactamente los mismos que la función anterior.

int LeeDimConError(AprtVent, Img, MMD).

La función lee las dimensiones de una imagen y las compara con la longitud declarada de la misma, reportando un error, si no corresponden ambas dimensiones. Los parámetros son los siguientes: AprtVent:APTRVENT es un apuntador a una ventana desde la cual se lee la dimensión de la imagen; Img:IMAGEN es el identificador de la imagen y MMD:DIMEN far * es un apuntador a una estructura donde se lee la información.

Programa fuente SPID.C

A continuación se muestra el listado del programa fuente SPID.C para referencia.

```
#include <stdio.h>
#include <spid.def>
#include <spides.h>
#include <spidflot.h>
#include <spidgraf.h>
#include <spidgraf.h>
#include <spidtrj.h>
#include <spidlib.h>
```

/ Pasos a seguir cuando se modifique una ventana:*

- 1: Actualizar los mensajes*
- 2: Actualizar las dimensiones de 'Mensaje'*
- 3: Actualizar el número de ventana, si se incluye una más*
- 4: Actualizar en 'ArregloV' los apuntadores*
- 5: Actualizar 'MatSal' y 'MatTrans'*

**/*

A continuación se muestran todos los mensajes que se utilizan en el manejo de menús y que aparecen en las ventanas de despliegue. Los comentarios que aparecen a la derecha de cada ventana (cada ventana está separada por un espacio vertical en blanco)

indican el número de ventana, el ancho en caracteres de la misma y el índice en el arreglo Mensaje.

```

char Mensaje[NUM_MSG][ANCHO_MSG] =      /* NumVentana, Ancho, Indice */
{
  " MENU PRINCIPAL                        ", /* 0 42 0 */
  " Despliegue e histograma de imágenes",
  " Funciones de utilería al usuario",
  " Operaciones puntuales",
  " Operaciones de área",
  " Operaciones vectoriales",
  " Ayuda al usuario",
  " Salida del sistema < Esc >

  " FUNCIONES DE UTILERIA AL USUARIO      ", /* 1 49 8 */
  " Definición de tablas de LUT's",
  " Convertir archivo de datos a imagen",
  " Imprimir datos de una subimagen",
  " Extraer una banda de una imagen multiespectral",
  " Composición de tres bandas",
  " Ayuda al usuario",
  " Regreso al nivel anterior < Esc >

  " OPERACIONES PUNUALES                  ", /* 2 37 16 */
  " Suma de imágenes",
  " Resta de imágenes",
  " División de imágenes",
  " Normalización del histograma",
  " Ayuda al usuario",
  " Regreso al nivel anterior <Esc>

  " OPERACIONES DE AREA                   ", /* 3 34 23 */
  " Filtros digitales",
  " Ampliación de imágenes",
  " Reducción de imágenes",
  " Ayuda al usuario",
  " Regreso al nivel anterior <Esc>

  " OPERACIONES VECTORIALES              ", /* 4 33 29 */

```


"	Transformada de Fourier	"	
"	Ayuda al usuario	"	
"	Regreso al nivel anterior<Esc>	"	
"	AMPLIACION DE IMAGENES	"	/* 5 38 33 */
"	Doblamiento de la imagen	"	
"	Interpolación lineal	"	
"	Interpolación cúbica segmentaria	"	
"	Ayuda al usuario	"	
"	Regreso al nivel anterior < Esc >	"	
"	Nombre de la imagen:	"	/* 6 38 39 */
"	Nombre de la imagen de entrada:	"	/* 7 48 40 */
"	Alto de la imagen:	"	
"	Ancho de la imagen:	"	
"	Nombre de la imagen de entrada:	"	/* 8 48 43 */
"	Nombre de la imagen de salida:	"	
"	Indice (en el archivo) de la tabla definida:	"	/* 9 50 45 */
"	Nombre de la imagen (1) de entrada:	"	/* 10 50 46 */
"	Nombre de la imagen (2) de entrada:	"	
"	Nombre de la imagen resultante:	"	
"	Nombre de la imagen a filtrar:	"	/* 11 49 49 */
"	Nombre de la imagen de salida:	"	
"	Alto del filtro:	"	
"	Ancho del filtro:	"	
"		"	
"	Nombre de la imagen a imprimir:	"	/* 12 49 54 */
"	Abscisa de la esquina superior izquierda:	"	

" Ordenada de la esquina superior izquierda:	" ,
" Alto de la subimagen a imprimir:	" ,
" Ancho de la subimagen a imprimir:	" ,
"	"
" Nombre de la imagen multiespectral:	" , /* 13 50 59 */
" Nombre de la imagen compuesta:	" ,
" Renglones en la imagen multiespectral:	" ,
" Ancho de cada renglón en la imagen:	" ,
" De cuántas bandas se compone la imagen:	" ,
" Banda asignada al rojo:	" ,
" Banda asignada al verde:	" ,
" Banda asignada al azul:	" ,
" Contiene encabezado (S/N) ? :	" ,
"	" ,
"	"
" Nombre de la imagen multiespectral:	" , /* 14 50 69 */
" Nombre de la imagen extraída:	" ,
" Renglones en la imagen multiespectral:	" ,
" Ancho de cada renglón en la imagen:	" ,
" De cuántas bandas se compone la imagen:	" ,
" Cual banda se va a extraer:	" ,
" Contiene encabezado (S/N) ? :	" ,
"	" ,
"	"
"	" , /* 15 50 77 */
"	" ,
"	" , /* 16 50 78 */
"	" ,
"	"
" AYUDA. MENU PRINCIPAL	" , /* 17 50 80 */
" En todos los programas que utilizan la tarjeta,	" ,
" se termina su ejecucion presionando la tecla	" ,
" <Esc>, con lo cual se mostrará el menú anterior.	" ,
" Sin embargo, a nivel de menús, esta tecla	" ,
" terminará el programa.	" ,
"	" ,
"	" ,
"	" ,
" Presione < Retorno > para continuar	" ,

" **AYUDA. FUNCIONES DE UTILERIA AL USUARIO** " , /* 18 50 88 */

" A las operaciones subyacentes a SPID que no
" alteran el contenido de las imágenes se les
" considera de ayuda al usuario. Estas opciones
" son:

" Definición de tablas de LUT's. Con esta opción
" es posible crear tablas de colores (256) para
" desplegar imágenes con estos.

" Convertir archivo de datos a imagen. Dado un
" conjunto de datos, se crea su histograma y se
" genera un archivo con características de img.

" Imprimir datos de una subimagen. Envía a la
" impresora un conjunto de valores de elementos
" una subimagen, dada su posición en la imagen.

" Presione < Retorno > para continuar

" **AYUDA. OPERACIONES PUNTUALES** " , /* 19 50 104 */

" Se consideran puntuales aquellas operaciones en
" que la modificación de un elemento depende
" únicamente del mismo. Entre otras se han
" definido las operaciones aritméticas de suma,
" resta y división, las cuales requieren de dos
" imágenes; también se encuentra implantada la
" operación de normalización del histograma, fun-
" ción con la cual se logra una mejor distribución
" de los datos en una imagen.

" Presione < Retorno > para continuar

" **AYUDA. OPERACIONES DE AREA** " , /* 20 50 116 */

" Las operaciones de área son aquellas en las que
" cada uno de los elementos de una imagen se
" modifica en función de los elementos vecinos.

" Presione < Retorno > para continuar

" **AYUDA. OPERACIONES VECTORIALES** " , /* 21 50 122 */

" Estas operaciones se caracterizan por modificar

```

" un elemento en la imagen de acuerdo al valor de
" un conjunto de ellos, ordenados en forma de
" renglón o columna.
"
"-----"
" Presione < Retorno > para continuar
"
" AYUDA. AMPLIACION DE IMAGENES
" Hay tres maneras de ampliar una imagen: Por
" doblamiento, consistente en repetir cada
" elemento 4 veces, a la derecha, abajo y en la
" diagonal abajo.
" Por interpolación lineal entre dos elementos de
" la imagen original, por renglones y columnas.
" Por interpolación cúbica segmentaria, análoga
" a la lineal, sólo que utilizando polinomios
" cúbicos.
"-----"
" Presione < Retorno > para continuar
"
";

```

```
/* 22 50 129 */
```

```

VENTANA ArregloV[NUM.VENTANAS] =
{ {10,9, 42, 11, 112,79, 31, 0, 0}, /* 0 Menú principal */
  {25,12, 50, 11, 113,79, 47, 0, 8}, /* 1 Funciones de utileria */
  {40,6, 37, 10, 83, 79, 83, 0, 16}, /* 2 Operaciones puntuales */
  {35,13, 34, 9, 83, 79, 95, 0, 23}, /* 3 Operaciones de area */
  {39,12, 33, 7, 31, 103,89, 0, 29}, /* 4 Operaciones vectoriales */
  {18,15, 38, 9, 31, 103,112,0, 33}, /* 5 Ampliación de imágenes */
  {5, 20, 38, 3,ATR_VAR,0,101,0,39}, /* 6 */
  {5, 17, 48, 5,ATR_VAR,0,110,0,40}, /* 7 */
  {5, 19, 48, 4,ATR_VAR,0,111,0,43}, /* 8 */
  {5, 20, 50, 3,ATR_VAR,0,112,0,45}, /* 9 */
  {5, 18, 50, 5,ATR_VAR,0,114,0,46}, /* 10 */
  {5, 17, 49, 7,ATR_VAR,0,115,0,49}, /* 11 */
  {5, 14, 49, 7,ATR_VAR,0,115,0,54}, /* 12 */
  {5, 12, 51, 12,ATR_VAR,0,115,0,59}, /* 13 */
  {5, 14, 51, 10,ATR_VAR,0,115,0,69}, /* 14 */
  {X_MSG_ER,Y_MSG_ER,51,3,ATR_ER,207,ATR_ER-128,0,77},
  /* 15 Mensaje de error VENT_ERROR */
  {X_MSG_LN,Y_MSG_LN,51,4,ATR_MSG,0,ATR_MSG,0,78},
  /* 16 Mensaje de edo. del proceso VENT_MSG */
  {20,14, 51, 10, 31, 0, 101,0, 80}, /* 17 Ayuda. Menú principal VENT_AYUDA */

```

```

{18,5, 51, 18, 31, 0, 101,0, 88}, /* 18 " Func. Utileria */
{14,11, 51, 14, 31, 0, 101,0, 104}, /* 19 " Oper. Puntuales */
{22,7, 51, 8, 31, 0, 101,0, 116}, /* 20 " Oper. de área */
{11,10, 51, 9, 31, 0, 101,0, 122}, /* 21 " Oper. vectoriales */
{7, 10, 51, 14, 31, 0, 101,0, 129}}; /* 22 " Ampl. de imágenes */

```

```

BYTE MatTrans[ESTADOS][TIPOSCAR] =
{
  {0, 1, 2, 3, 4, 0, 6 },
  {1, 1, 1, 1, 1, 1, 0 },
  {2, 2, 2, 2, 2, 0, 0 },
  {3, 5, 3, 3, 0, 3, 0 },
  {4, 4, 0, 4, 4, 4, 0 },
  {5, 5, 5, 5, 3, 5, 3 } };

```

```

BYTE MatSal[ESTADOS][TIPOSCAR] =
{
  { 1, 2, 3, 4, 5, 21, 0 },
  { 7, 9, 8, 19, 20, 22, 10 },
  {11,12, 13, 14, 23, 10, 10 },
  {15,16, 18, 24, 10, 0, 10 },
  {17,25, 10, 0, 0, 0, 10 },
  { 6, 28, 27, 26, 10, 0, 10 } };

```

```

BYTE BloqueVent[MAX_BLOQUE_VENT];

```

```

APTRCERCA StackVent[MAX_TOPE];

```

```

float Filtro[ALTO_MAX_FIL * ANCHO_MAX_FIL] = {0};

```

```

CADENA NomImgEnt ="
CADENA NomImgEnt1 ="
CADENA NomImgSal ="
CADENA CadenaAux ="
APTRCERCA DirBaseVent =&BloqueVent[0];
APTRCERCA VentMsg =&BloqueVent[0];

```

```

main ( )

```

```

{
BYTE Estado;
BYTE Indice;
BYTE Opcion;
BYTE Salida;
BYTE NumVent;
BYTE TopeStk Vent;

```

```

ModoTextual(3);
if (Checa8087()  $\neq$  CERO) Error(0,CRITICO,"");
Marco(0,0,25,80,63);
EscCadAtr(1,1,78,"SISTEMA PARA EL PROCESAMIENTO
DE IMAGENES DIGITALES");

```

```

EscCadAtr(4,3,62," ██████████ ██████████ ██████████ ██████████ ");
EscCadAtr(4,4,62," ██████████ ██████████ ██████████ ██████████ ");
EscCadAtr(4,5,62," ██████████ ██████████ ██████████ ██████████ ");
EscCadAtr(4,6,62," ██████████ ██████████ ██████████ ██████████ ");
EscCadAtr(4,7,62," ██████████ ██████████ ██████████ ██████████ ");
EscCadAtr(31,7,49,"A. Cortés");

```

```

NumVent = 0;
Salida = 0;
TopeStk Vent = 0;
Opcion = 0;
Estado = 0;

```

```

do
{

```

```

    MueveCursor(0,30);
    DespVentana(&ArregloV/NumVent,1);
    Opcion = LeeOpcion(&ArregloV/NumVent);
    Salida = MatSal[Estado][Opcion];
    switch (Salida)
    {

```

/ Cada uno de los casos que se muestran a continuación corresponde a las salidas mostradas en la tabla 1.2, cuyo comportamiento lo define la matriz de salidas. */*

```

        case 1: NumVent = DespImg();
            break;
        case 2:
        case 3:
        case 4:
        case 5:

```

```

    StackVent[TopeStkVent] = DirBaseVent;
    TopeStkVent++;
    NumVent = Salida - 1;
    DirBaseVent = SalvaVent(DirBaseVent,&ArregloV[NumVent]);
    break;
case 6: NumVent = Amplia(0);
    break;
case 7: NumVent = TablaDeLuts();
    break;
case 8: NumVent = ImprimeImg();
    break;
case 9: NumVent = ConvierteImg();
    break;
case 10:
    TopeStkVent--;
    DirBaseVent = StackVent[TopeStkVent];
    RestableceVent(DirBaseVent,&ArregloV[Estado]);
    If (Estado == 5) NumVent = 3;
        else NumVent = 0;
    break;
case 11: NumVent = OperaImg(0);
    break;
case 12: NumVent = OperaImg(1);
    break;
case 13: NumVent = OperaImg(2);
    break;
case 14: NumVent = NormalizaHisto();
    break;
case 15: NumVent = Filtros();
    break;
case 16:
    StackVent[TopeStkVent] = DirBaseVent;
    TopeStkVent++;
    NumVent = 5;
    DirBaseVent = SalvaVent(DirBaseVent,&ArregloV[NumVent]);
    break;
case 17: NumVent = Fourier();
    break;
case 18: NumVent = Reduce();
    break;
case 19: NumVent = Extrae();

```

```
        break;
    case 20: NumVent = ComponeBanda();
        break;
    case 21: NumVent = Ayuda(VENT_AYUDA);
        break;
    case 22: NumVent = Ayuda(VENT_AYUDA+1);
        break;
    case 23: NumVent = Ayuda(VENT_AYUDA+2);
        break;
    case 24: NumVent = Ayuda(VENT_AYUDA+3);
        break;
    case 25: NumVent = Ayuda(VENT_AYUDA+4);
        break;
    case 26: NumVent = Ayuda(VENT_AYUDA+5);
        break;
    case 27: NumVent = Amplía(2);
        break;
    case 28: NumVent = Amplía(1);
    }
    Estado = MatTrans[Estado][Opción];
}while (Estado ≠ 6);
ModoTextual(0);
}
```


Conclusiones

El sistema presentado en esta tesis es una de las herramientas fundamentales en el análisis de imágenes digitales, con la ventaja de modularidad que permitirá en un futuro cercano ampliarse tanto como sea necesario y de acuerdo a las necesidades de cada usuario. Inicialmente el sistema se ha desarrollado con un conjunto básico de operaciones, pero sin ninguna restricción para que este conjunto sea ampliado tanto como se desee. Siendo un sistema desarrollado en una microcomputadora tiene la enorme ventaja de poderse implantar a bajo costo con lo que amplía sus perspectivas de uso por un gran número de usuarios, además que la tendencia en la computación es hacia el uso de microcomputadoras.

Los sistemas existentes hasta la fecha tienen dos desventajas: La primera es que, si se trata de un sistema que realice procesamiento de imágenes a nivel profesional, éste estará implantado en equipos de cómputo muy sofisticados y de propósito especial, resultando muy caros, por este sólo hecho. En segundo lugar, los sistemas en microcomputadora son también muy caros y se convierten en cajas negras en el momento de sus adquisición. La programación de SPID crea hasta cierto punto independencia tecnológica. Además algunos sistemas en el mercado son más ineficientes en algunas operaciones comparados con SPID en cuanto a tiempo de ejecución o las tareas que realizan no se pueden considerar como de aplicación profesional debido a las restricciones impuestas tales como: tamaño fijo, pocos valores para representar un elemento de la imagen y pocas operaciones disponibles.

Una de las ventajas de SPID es la de poder contar con una tarjeta de alta resolución, la cual define algunas pautas a seguir en la implantación de un sistema. Con la ayuda de esta tarjeta puede considerarse a SPID como un sistema con características profesionales de procesamiento. Se ha considerado que los elementos de una imagen pertenecen al conjunto $Z_{[0..255]}$ con lo cual se logran imágenes desplegadas a 256 colores.

Se ha implementado una gran variedad de operaciones aritméticas, puntuales, de

área, vectoriales y estadísticas, para que el usuario haga uso de las mismas con un esfuerzo mínimo de su parte, debido al uso de ventanas y de menús. El sistema es autocontenido ya que contiene información en línea de las operaciones y opciones a realizar en cualquier momento dado, únicamente presionando la tecla de ayuda.

Por ahora, el sistema SPID es dependiente de una tarjeta de alta resolución, HLGE, cuyas características se han analizado a lo largo del trabajo, sin embargo, se piensa expandir el sistema a tal grado que no dependa de la tarjeta gráfica. La ampliación será compatible con las tarjetas gráficas: VGA, EGA y aun con la CGA.

El sistema funciona con 256K octetos de memoria principal. El disco duro debe ser de las dimensiones requeridas por la aplicación a que se vaya a enfocar SPID, esto depende de la cantidad de datos en imágenes que se vaya a generar en un momento dado. Finalmente, no se requiere forzosamente un coprocesador matemático, pero se recomienda para que la velocidad de operación de SPID mejore. Se requiere, además un monitor a color, de preferencia que soporte alta resolución por si se utiliza la tarjeta HLGE.

Apéndice A.

Programas de la biblioteca

SPIDES.ASM

Las funciones y rutinas que se listan en este apéndice son para el manejo de la entrada y salida de datos entre memoria y disco y viceversa del sistema SPID. Se lista todo el archivo que compone la biblioteca completa de entrada/salida de todos los encabezados mostrados en la sección 5.3. Todas estas funciones y procedimientos están escritos en lenguaje ensamblador con base en el microprocesador 8086/8088, utilizando en algunas funciones el coprocesador matemático 8087/80287.

El formato será como el que se encuentra originalmente en el programa, sin cambio en los comentarios. Si el tipo de letra es romana, entonces los comentarios fueron agregados posteriormente.

En este momento cabe hacer notar que el sistema SPID utiliza dos segmentos de memoria de 64K bytes cada uno para almacenar datos temporales. Estos segmentos se les ha llamado SEG.IMG1 y SEG.IMG2, respectivamente. Se utilizó este esquema de memoria fija ya que la mayoría de las funciones requieren de bloques grandes de memoria y el manejo dinámico de la misma hubiese redundado en un mayor trabajo.

En casi todos las funciones y procedimientos de este apéndice y del resto de la biblioteca de funciones, cuyos encabezados se muestran en el capítulo 5, se utilizan los dos segmentos como áreas temporales de memoria. Al leer una subimagen, por ejemplo, se lee en uno de estos segmentos, si se requiere un proceso, éste se lleva a cabo en el segundo segmento, o viceversa.

Existen algunos casos en que se requieren más de dos segmentos, pero no simultáneamente, se puede aprovechar esta circunstancia para utilizar únicamente los dos disponibles, liberando el espacio de cualquiera una vez que deje de utilizarse.

A continuación se muestra que todas las subrutinas de este archivo son de uso

público, lo cual permite que todo el sistema SPID tenga acceso a ellas.

```
public    _LeeCar
public    _LeeCarEco
public    _LeeCadena
public    _LeeEntero
public    _LeeReal
public    _ErrorLectura
public    _ErrorDOS
public    _EscCar
public    _AbreImg
public    _CreaImg
public    _CierraImg
public    _BorraImg
public    _LeeLongImg
public    _LeeDimension
public    _LeeSubImg
public    _LeeSeq
public    _EscSubImg
public    _EscSeq
```

```
public    _CadenaEnt      ; Ya que otras subrutinas lo utilizan
```

El segmento de código debe llamarse `_TEXT` por compatibilidad con el lenguaje C. En el modelo pequeño de memoria, este lenguaje utiliza únicamente 64K *bytes* para el código de un programa, de aquí la necesidad de que cada segmento sea llamado como se muestra a continuación.

Se creó un conjunto de segmentos de datos y fueron agrupados bajo el nombre de `DGROUP`. Inicialmente el registro de segmento de datos, `ds`, se posiciona al inicio del grupo. Después veremos que no todas las funciones mantienen el registro de datos apuntando a este grupo.

```
_TEXT      SEGMENT BYTE PUBLIC 'CODE'
           assume cs:_TEXT, ds:DGROUP
```

La mayor parte de funciones y procedimientos listados en este apéndice utilizan la función `21h` del sistema operativo MS-DOS, como lo muestran las dos funciones siguientes. La primera función, `_LeeCar`, lee un carácter del teclado, sin mostrarlo en la pantalla, mientras que la segunda función, `_LeeCarEco`, sí lo despliega.

```
_LeeCar    proc    near
           mov     ah,7
           int    21h
           ret
```

```

_LeeCar      endp

_LeeCarEco  proc near
            mov     ah,1
            int    21h
            ret
_LeeCarEco  endp

```

Las tres funciones que siguen utilizan la función `_LeeCarEco` anterior para leer una cadena de caracteres —`_LeeCadena`—, un número entero —`_LeeEntero`— y un número real —`_LeeReal`—. Posteriormente, estas funciones se utilizan, a su vez, dentro de ventanas para verificar si el dato leído es correcto y corresponde al formato del mismo. La función `_LeeCadena` utiliza un área de memoria direccionada por el parámetro que se le pasa de entrada. El final de la cadena se detecta con un caracter CR

```

_LeeCadena  proc near
CadenaEntrada equ word ptr [bp+4]
            push   bp
            mov    bp,sp
            push   di
            mov    di,CadenaEntrada
            mov    cx,di
SigLeeCad:  call   _LeeCarEco
            cmp    al,8           ; Borrar caracter anterior
            jne   AnalizaCar
            cmp    di,cx
            je    SigLeeCad
            dec   di
            mov   ax,' '
            push  ax
            call  _EscCar
            pop   ax
            mov  ax,8
            push  ax
            call  _EscCar
            pop   ax
            jmp  SigLeeCad
AnalizaCar: cmp    al,CERO
            jne  CarNormal
            call _LeeCarEco
CarNormal:  cmp    al,CR           ;'? Es fin de la cadena ?
            je   FinLeeCad
            mov  [di],al
            inc  di
            jmp  SigLeeCad
FinLeeCad: mov  byte ptr [di],0
            pop  di
            mov  sp,bp

```

```

pop      bp
ret
_LeeCadena endp

_LeeEntero proc near
push    si
mov     word ptr DGROUP:ErrorLect,0
mov     ax,offset DGROUP:_CadenaEnt
push    ax
call   _LeeCadena      ; Cadena que representa el número
add     sp,2
mov     si,offset DGROUP:_CadenaEnt
cld
mov     bx,0           ; bx será el número leído
mov     dl,0          ; dl es el signo (0) positivo
lodsb   ; (1) negativo
cmp     al,'+'
je      SigCarLeeEnt
cmp     al,'-'
jne     EnteroPos
mov     dl,1         ; Se trata de un numero negativo
SigCarLeeEnt: lodsb
EnteroPos: cmp     al,CERO
je      FinLeeEnt
cmp     al,'0'
jl     ErrorLeeEnt
cmp     al,'9'
jg     ErrorLeeEnt
xor     ah,ah
sub     al,'0'
mov     cx,bx
shl    bx,1
shl    bx,1
add    bx,cx
shl    bx,1
add    bx,ax
jmp    SigCarLeeEnt
ErrorLeeEnt: mov word ptr DGROUP:ErrorLect,1
FinLeeEnt:  mov ax,bx
or      dl,dl
jz     FuePos
neg    ax
FuePos:  pop si
ret
_LeeEntero endp

```

La función `_LeeReal` es un poco más sofisticada que las dos anteriores ya que acepta cualquier formato válido en el número que se desea leer, incluyendo notación exponencial. El formato válido para un número real es:

[±][Número Entero][.]Número Entero[e][E] ± [Número Entero]

en donde los corchetes indican que es opcional el parámetro que encierran. Si el formato del número leído no se ajusta al anterior, entonces la función enciende una bandera de error escribiendo un 1 en la localidad de memoria ErrorLect, valor que posteriormente sirve para hacer notar el error al usuario.

LeeReal proc near

; Variables locales

```
Digito equ word ptr [bp-2]
Signo equ word ptr [bp-4]
ExpReal equ word ptr [bp-6]
SignoExp equ word ptr [bp-8]
ExpCor equ word ptr [bp-10]
Diez equ word ptr [bp-12]

push bp
mov bp,sp
sub sp,12
push si
cld
mov ax,offset DGROUP:_CadenaEnt
push ax
call _LeeCadena ; Cadena que representa el número
add sp,2
mov si,offset DGROUP:_CadenaEnt
mov ax,10
mov Diez,ax
mov Signo,0
mov SignoExp,0
mov ExpCor,0
mov ExpReal,0
FLDZ
mov word ptr DGROUP:ErrorLect,0
lodsb
cmp al,'+'
je LeeSigDigito
cmp al,'-'
jne PrimerDigito
mov Signo,1 ; Se trata de un número negativo

LeeSigDigito: lodsb
PrimerDigito: cmp al,'0'
jl NoDigito1
cmp al,'9'
jg NoDigito1
xor ah,ah
```

```

sub    ax,'0'
mov    Digito,ax
FIMUL  Diez
FIADD  Digito
jmp    LeeSigDigito
NoDigito1: cmp    al,'.'
        je    SigEntero
        jmp   NoDigito2
SigEntero: lodsb
        cmp    al,'0'
        jl    NoDigito2
        cmp    al,'9'
        jg    NoDigito2
        xor    ah,ah
        sub    ax,'0'
        mov    Digito,ax
FIMUL  Diez
FIADD  Digito
inc    ExpCor
jmp    SigEntero
NoDigito2: cmp    al,'e'
        je    LeeExp
        cmp    al,'E'
        je    LeeExp
        jmp   FinLeeReal
LeeExp: lodsb
        cmp    al,'+'
        je    SigDigExp
        cmp    al,'-'
        jne  PrimerDigExp
        mov    SignoExp,1
SigDigExp: lodsb
PrimerDigExp: cmp    al,'0'
        jl    FinLeeReal
        cmp    al,'9'
        jg    FinLeeReal
        xor    ah,ah
        sub    ax,'0'
        mov    bx,ExpReal
        shl    bx,1
        shl    bx,1
        add    bx,ExpReal
        shl    bx,1
        add    bx,ax
        mov    ExpReal,bx
        jmp   SigDigExp
FinLeeReal: cmp    al,CERO
        je    NoErrorReal
        mov    word ptr DGROUP:ErrorLect,1
        jmp   RetLeeReal

```



```

NoErrorReal: mov  cx,Expreal
               cmp  SignoExp,0
               je   ExpPosit
               neg  cx
ExpPosit:     sub  cx,ExpCor
               or   cx,cx
               jz   RetornoReal
               jg   ExpPos
               neg  cx
AjustaDiv:    FIDIV Diez
               loop AjustaDiv
               jmp  RetornoReal
ExpPos:       FIMUL Diez
               loop ExpPos
RetornoReal:  cmp  Signo,0
               je   RetLeeReal
               FCMS
RetLeeReal:   FSTP  qword ptr DGROUP:TempoGral
               mov  ax,offset DGROUP:TempoGral
               pop  si
               mov  sp,bp
               pop  bp
               ret
.LeeReal      endp

```

Las siguientes dos funciones detectan un posible error en una operación de entrada/salida. ErrorLectura regresa un valor de 1 si hubo un error en la lectura del último número leído, ya sea entero o real. Se puede ver en las funciones anteriores que en caso de un error, se escribe un 1 a la localidad de memoria ErrorLect, mismo que regresa la función ErrorLectura, por otro lado, si no hay error de lectura en el número, la función regresa 0. ErrorDos, por el otro lado, regresa un código que corresponde al error cometido en la ejecución de una función del sistema operativo, la tabla de errores se encuentra en el capítulo 3, ahí se puede ver a qué error corresponde, si no hay error el valor regresado es 0.

```

_ErrorLectura proc near
               mov  ax,word ptr DGROUP:ErrorLect
               ret
_ErrorLectura endp

_ErrorDOS     proc  near
               mov  ax,word ptr DGROUP:ErrorDOS
               ret
_ErrorDOS     endp

```

En las funciones que siguen se nota el predominio en el uso de la función 21h del sistema operativo. La siguiente función escribe un caracter en la pantalla.

```

_EscCar      proc      near
Caracter     equ      byte ptr [bp+4]      ; Caracter a imprimir

              push     bp
              mov      bp,sp
              mov      di,Caracter
              mov      ah,2
              int      21h
              mov      sp,bp
              pop      bp
              ret
_EscCar      endp

```

El resto de funciones son todas las que manejan grandes volúmenes de datos, entre disco y memoria y viceversa. Las primeras cuatro funciones —_AbreImg, _CreaImg, _CierraImg y _BorraImg— utilizan directamente una función del sistema operativo, con las características necesarias para el manejo de un archivo que compone una imagen. La tarea que realiza cada una de estas funciones es explícita por sí misma. En cada una de estas funciones se escribe inicialmente un 0 en la localidad de memoria ErrorDOS, indicando con esto que de entrada no hay ningún error en la operación de archivos. Si al ejecutarse la función se detecta un error, entonces se escribe su código a la localidad de memoria ya mencionada. Posteriormente el sistema verifica que este valor sea cero, de otro modo se lo hace notar al usuario.

```

_AbreImg     proc      near
NombreImg    equ      word ptr [bp+4]      ; Apuntador a nombre de imagen

              push     bp
              mov      bp,sp
              mov      DGROUP:ErrorDOS,0 ; No hay error
              mov      dx,NombreImg      ; Offset del nombre de la img.
              mov      ax,3D02h         ; Se abre para lectura y esc.
              int      21h
              jnc      SiAbrio
              mov      DGROUP:ErrorDOS,ax
SiAbrio:     mov      sp,bp
              pop      bp
              ret
_AbreImg     endp

_CreaImg     proc      near
NombreImg    equ      word ptr [bp+4]      ; Nombre de la imagen a crear

              push     bp
              mov      bp,sp
              mov      DGROUP:ErrorDOS,0 ; No hay error
              mov      dx,NombreImg      ; Offset del nombre de la img.
              mov      cx,20h           ; se crea para lectura y esc.

```

```

        mov     ah,3Ch
        int     21h
        jnc     SiCreo
        mov     DGROUP:ErrorDOS,ax
SiCreo:  mov     sp,bp
        pop     bp
        ret
        .CreaImg endp

        .CierraImg proc near
FileHandle equ word ptr [bp+4] ; Identificar de la imagen

        push   bp
        mov    bp,sp
        mov    DGROUP:ErrorDOS,0 ; No hay error
        mov    bx,FileHandle ; Identificador de la imagen
        mov    ah,3Eh
        int    21h
        jnc    SiCerro
        mov    DGROUP:ErrorDOS,ax
SiCerro:  mov    sp,bp
        pop    bp
        ret
        .CierraImg endp

        .BorraImg proc near
NombreImg equ word ptr [bp+4] ; Identificar de la imagen

        push   bp
        mov    bp,sp
        mov    DGROUP:ErrorDOS,0 ; No hay error
        mov    dx,NombreImg ; Identificador de la imagen
        mov    ah,41h
        int    21h
        jnc    SiBorro
        mov    DGROUP:ErrorDOS,ax
SiBorro:  mov    sp,bp
        pop    bp
        ret
        .BorraImg endp

```

La siguiente función calcula la longitud de una imagen tomando en consideración la parte final de la misma. Esta información es la que define las dimensiones de la imagen, elementos mínimo y máximo de la imagen y su histograma.

```

        .LeeLongImg proc near
FileHandle equ word ptr [bp+4]
        push   bp

```

```

mov    bp,sp
mov    bx,FileHandle    ; Identificador de la imagen
xor    cx,cx
xor    dx,dx
mov    ax,4202h        ; Calcula la longitud de la imagen
int    21h
push  ax
push  dx
mov    cx,0
mov    dx,0
mov    ax,4200h        ; Se posiciona al inicio de
int    21h            ; la imagen
pop   dx
pop   ax
mov   sp,bp
pop   bp
ret
.LeeLongImg endp

```

La siguiente función lee la información relacionada con la imagen, ésta no lee el histograma, sólo las dimensiones y los elementos mínimo y máximo de la misma. Esta rutina y la anterior sirven para verificar el formato de una imagen de la siguiente manera: La función `_LeeLongImg` anterior calcula el tamaño físico del archivo que contiene la imagen, junto con su información, si a este valor se le resta el número de bytes (`TAM.INF.IMG + TAM.HISTO`) que ocupa esta información, se obtiene el tamaño neto de la matriz de datos que forma la imagen.

Por el otro lado, la función `_LeeDimension` lee las dimensiones de la imagen (`Alto x Ancho`). El producto de estas dimensiones debe coincidir con la obtenida por el método anterior, de otro modo, existe una anomalía en el formato de la imagen.

```

.LeeDimension procnear
FileHandle equ word ptr [bp+4]    ; Identificador de la imagen
DimenImg   equ dword ptr [bp+6]  ; Apuntador FAR a la estructura

push  bp
mov   bp,sp
mov   bx,FileHandle    ; Identificador de la imagen
xor   cx,cx
xor   dx,dx
mov   ax,4202h        ; Calcula la longitud de la imagen
int   21h
sub   ax,TAM_INF_IMG
sbb  dx,0
mov   cx,dx
mov   dx,ax
mov   ax,4200h        ; Se posiciona al inicio de la
int   21h            ; información de la imagen

```

```

mov     cx,TAM_INF_IMG
push   ds                ; Segmento y offset de la
lds    dx,DimenImg      ; dirección de transferencia
mov     ah,3Fh
int    21h
pop    ds
mov     cx,0
mov     dx,0
mov     ax,4200h        ; Se posiciona al inicio de
int    21h              ; la imagen
mov     sp,bp
pop    bp
ret

```

LeeDimension endp

La función siguiente es una de las más importantes de SPID ya que en todos los programas se utiliza, por lo que requiere de una explicación más detallada, la cual damos a continuación.

Con las coordenadas del punto superior izquierdo de la subimagen a leer, calcula la posición inicial en disco y lee un segmento de datos de 64K. El proceso de lectura es el siguiente: Al posicionarse el apuntador al inicio del bloque a ser leído, se lleva a cabo la lectura, llevando a memoria todas las columnas comprendidas en el bloque cuya altura es igual al número de renglones de la imagen que caben en el segmento de 64K. Si el ancho de la subimagen a leer es menor que el ancho de la imagen total, se desechan en memoria las columnas que sobran, compactando el bloque leído. Es tarea del programa que la invoca verificar si requiere más datos, en cuyo caso ejecuta nuevamente esta función, hasta completar el conjunto de datos requerida. Normalmente las subimágenes que se requieren son menores o iguales a esta cantidad.

```

LeeSubImg proc near
Imagen    equ word ptr [bp+4]    ; Identificador de la imagen
BaseMem   equ dword ptr [bp+6]  ; Aptr FAR a donde se transfiere
Ancho     equ word ptr [bp+10]   ; Ancho de la imagen
RefY      equ word ptr [bp+12]   ; Ordenada de la esquina sup.
RefX      equ word ptr [bp+14]   ; izq. formada por (RefX,RefY)
NumCols   equ word ptr [bp+16]   ; Ancho de la subimagen

```

; Variables locales

```

Diferencia equ word ptr [bp-2]   ; Diferencia = Ancho - NumCols

```

```

assume ds:SEG_IMG2, es:SEG_IMG2
push  bp
mov   bp,sp
sub   sp,2
push  ds
push  es
push  si

```

```

push di
mov ax,Ancho ; Calcula la diferencia entre el
sub ax,NumCols ; ancho de la imagen en disco y
mov Diferencia,ax ; el ancho de la subimagen.
mov bx,Imagen ; Identificador de la imagen
mov ax,Ancho ; Calcula la posición inicial
mul RefY ; del apuntador a la imagen,
add ax,RefX ; LongX*RefY -> dx:ax
adc dx,0 ; LongX*RefY+RefX -> dx:ax
mov cx,dx ; Asigna la posición del
mov dx,ax ; apuntador.
mov ax,4200h ; función 42 y apuntador
int 21h ; MUEVE EL APUNTADOR A LA IMG.
mov cx,OFFFh ; Bytes a leer. La dirección de
lds dx,BaseMem ; transferencia es DS:DX.
push ds
pop es
mov ah,3Fh ; En AX regresara el numero de
int 21h ; bytes realmente leídos.
push ax
div Ancho ; AX = Renglones de la subimagen.
mov cx,ax
jcxz FinDeSubImg ; Sólo si es fin de imagen.
mov dx,NumCols ; Verifica si el ancho de la sub-
cmp dx,Ancho ; imagen es igual a la imagen en
je FinDeSubImg ; disco, en cuyo caso no mueve
mov si,0 ; Inicializa los apuntadores de
mov di,0 ; transferencia de datos.
cld
MueveRen: push cx
mov cx,NumCols ; Este ciclo mueve los datos, com-
rep movsb ; pactando la subimagen leída.
add si,Diferencia
pop cx
loop MueveRen
FinDeSubImg: pop ax
pop di
pop si
pop es
pop ds
mov sp,bp
pop bp
ret
_LeeSubImg endp

```

La función `_LeeSeq` es muy parecida a la anterior, excepto que esta última lee a partir de la posición del apuntador al archivo. Normalmente se utiliza en procesos en los cuales se leerán todas las columnas de la imagen y cuando el proceso se lleva a cabo secuencialmente.

```

_LeeSeq      proc near
Imagen      equ word ptr [bp+4] ; Identificador de la imagen
BaseMem     equ dword ptr [bp+6] ; Area de transferencia en mem.
NumBytes    equ word ptr [bp+10] ; Bytes a leer

            push bp
            mov bp,sp
            push ds
            mov bx,Imagen ; Identificador de la imagen
            mov cx,NumBytes ; Bytes a leer. La dirección de
            lds dx,BaseMem ; transferencia es DS:DX.
            mov ah,3Fh ; En AX regresara el numero de
            int 21h ; bytes realmente leidos.
            pop ds
            mov sp,bp
            pop bp
            ret
_LeeSeq      endp

```

La siguiente función es de importancia fundamental en el sistema SPID, y con una dificultad mayor que la de lectura de datos, por lo que requiere una doble atención.

La escritura de una subimagen a disco tiene una característica dual: Por un lado debe ser lo más rápido posible, y por el otro, debe hacerse con el mínimo número de accesos a disco.

Inicialmente, esta función se había programado de tal manera que por cada renglón de la subimagen que se escribía se movía el apuntador a la imagen, calculando la posición inicial de cada renglón se escribía éste. Sin embargo, este proceso es muy lento por dos razones: La primera, el movimiento del apuntador en la imagen es lento y la segunda, se escribía renglón por renglón, lo cual acrecentaba el acceso a disco enormemente con un gasto de tiempo excesivo.

La versión que se presenta aquí es un poco más sofisticada y se atacan los dos problemas anteriores al mismo tiempo. La descripción es la siguiente: Sólo una vez se posiciona el apuntador en el archivo, a continuación se lee un segmento de 64K bytes a memoria. Ya en memoria se actualizan las columnas de ese bloque de datos con los que se van a escribir a disco, hecho esto, lo cual es mucho más rápido ya que se actualizan en memoria los renglones necesarios, se escribe el bloque de datos actualizado a disco. El proceso anterior se repite tantas veces como sea necesario hasta escribir toda la subimagen.

Cabe decir que este método no es lo suficientemente rápido en el caso especial en que se desee escribir una subimagen cuya altura es igual a la altura de la imagen. La razón es que para escribirla se requiere leer, actualizar y escribir toda la imagen.

```

_EscSubImg  proc near
Imagen     equ word ptr [bp+4] ; Identificador de la imagen
BaseMem    equ dword ptr [bp+6] ; Aptr FAR de donde se transfiere
Ancho     equ word ptr [bp+10] ; Ancho de la imagen
RefY      equ word ptr [bp+12] ; Ordenada de la esquina sup.

```

```

RefX      equ    word ptr [bp+14] ; izq. formada por (RefX,RefY)
NumRens   equ    word ptr [bp+16] ; Renglones de la subimagen
NumCols   equ    word ptr [bp+18] ; Ancho de la subimagen

```

; Variables locales

```

Diferencia equ word ptr [bp-2]
RensFaltan equ word ptr [bp-4]
RensLeer   equ word ptr [bp-6]
Rens64K    equ word ptr [bp-8]
BytesLeerEsc equ word ptr [bp-10]
ParteAlta  equ word ptr [bp-12]
ParteBaja  equ word ptr [bp-14]
ErEsc      equ word ptr [bp-16]

```

; Este procedimiento utiliza el segmento SEG_IMG2 como segmento auxiliar
; en la escritura de un bloque de datos a una imagen, por lo que se debe
; tener cuidado que no se traslape el área de datos que se desea escribir
; con este segmento.

```

assume es:SEG_IMG2
push bp
mov bp,sp
sub sp,16
push di
push si
push ds
push es
mov ErEsc,0 ; No hay error, el disco tiene
lds si,BaseMem ; espacio suficiente.
mov ax,SEG_IMG2
mov es,ax
mov bx,Imagen ; En todo el subprograma BX guarda
mov ax,NumRens ; el identificador de la imagen
mov RensFaltan,ax ; RensFaltan = NumRens
mov dx,0 ; Calcula el número de renglones
mov ax,OFFFh ; que caben en un segmento de 64K
div Ancho
mov Rens64K,ax
mov ax,Ancho ; Calcula la diferencia entre el
sub ax,NumCols ; ancho de la imagen en disco y
mov Diferencia,ax ; la subimagen

```

; Posiciona el apuntador del archivo de entrada al inicio del primer
; renglón sobre el cual se escribirá la subimagen.

```

mov ax,RefY
mul Ancho
mov cx,dx
mov dx,ax

```



```

mov ParteAlta,cx ; Apuntador a la imagen =
mov ParteBaja,dx ; ParteAlta * 65536 + ParteBaja
mov ax,4200h
int 21h

OtroSeg: cld
mov ax,Rens64K ; Calcula los renglones que faltan
cmp ax,RensFaltan ; por escribir, con la formula
jle NoAcaba ; RensLeer=MIN(Rens64K,RensFaltan)
mov ax,RensFaltan
NoAcaba: mov RensLeer,ax
mul Ancho
mov BytesLeerEsc,ax ; Calcula los bytes a escribir

```

; Lee un segmento de 64K bytes. La dirección de transferencia es a
; donde apunte el par de registros DS:DX.

```

mov cx,ax ; CX = Bytes a leer
mov dx,0
push ds
push es
pop ds
mov ax,3F00h
int 21h
pop ds
or ax,ax
jz LeeNada
mov cx,ParteAlta ; Reposiciona el apuntador de la
mov dx,ParteBaja ; imagen al inicio del primer dato
mov ax,4200h ; CX:DX posición que se desea
int 21h ; Regresa DX:AX posición final

```

; Se actualiza el segmento con los datos de la subimagen que se va
; a escribir.

```

LeeNada: mov di,RefX
mov dx,RensLeer
MueveOtroRen mov cx,NumCols
rep movsb
add di,Diferencia
dec dx
or dx,dx
jz FinMueveOtro
jmp MueveOtroRen

```

; Se procede a escribir el segmento actualizado

```

FinMueveOtro mov cx,BytesLeerEsc
mov ax,4000h
push ds

```

```

push  es
pop   ds
int   21h
pop   ds

```

; Si el espacio en disco es insuficiente, el valor regresado en AX no
; corresponderá al que se pidió en CX.

```

cmp    ax,cx
je     HayEspacio
mov    ErEsc,1
jmp    FinEscS
HayEspacio: add ParteBaja,ax      ; Apuntador a la imagen +=
          adc ParteAlta,0      ; BytesLeerEsc
          mov ax,RensLeer
          sub RensFaltan,ax    ; RensFaltan -= RensLeer
          cmp RensFaltan,0
          jle FinEscS
          jmp OtroSeg
FinEscS: pop es
          pop ds
          assume ds:DGROUP
          cmp ErEsc,1
          jne FinNormal
          mov word ptr DGROUP:ErrorDOS,14 ; Error no usado por DOS
FinNormal: pop si
          pop di
          mov sp,bp
          pop bp
          ret
_EscSubImg endp

```

La función `_EscSeq` escribe secuencialmente una subimagen a disco. Como puede deducirse, el ancho de la subimagen a escribir debe ser del ancho de la imagen, de otra manera no se puede utilizar esta función y debe emplearse la anterior.

```

_EscSeq proc near
Imagen equ word ptr [bp+4] ; Identificador de la imagen
BaseMem equ dword ptr [bp+6] ; Area de transferencia en mem.
NumBytes equ word ptr [bp+10] ; Bytes a leer

push bp
mov bp,sp
push ds
mov bx,Imagen ; Identificador de la imagen
mov cx,NumBytes ; Bytes a escribir. La dirección
lds dx,BaseMem ; de transferencia es DS:DX.
mov ah,40h ; En AX regresara el numero de

```

```
int 21h ; bytes realmente escritos.
pop ds
```

; Si el espacio en disco es insuficiente, el valor regresado en AX no
; corresponderá al que se pidió en CX.

```
assume ds:DGROUP
cmp ax,cx
je HayEspacioE
mov word ptr DGROUP:ErrorDOS,14 ; Error no usado por DOS
HayEspacioE: mov sp,bp
pop bp
ret
_EndSeq endp
.TEXT ENDS
```

El segmento de datos se llama `_DATA` y forma parte del grupo `DGROUP`. El siguiente segmento de datos contiene 4 variables, como se muestra. Estas variables se utilizan en esta biblioteca de funciones.

```
_DATA SEGMENT WORD PUBLIC 'DATA'
TempoGral dq ?
_CadenaEnt db 50 dup(?)
ErrorLect dw 0
ErrorDOS dw 0
_DATA ENDS
END
```

Apéndice B.

Constantes y tipos de SPID

En este apéndice se darán las definiciones de constantes utilizadas por SPID y de los tipos de variables utilizadas, así como las variables globales a todo el sistema.

```
#ifndef SPIDDEF
#define SPIDDEF      1

                /* DEFINICION DE SIMBOLOS */

#define CERO      0
#define CR        13
#define ESC       27

                /* DEFINICION DE CONSTANTES GENERALES */

#define LNGREGLUT 512 /* Longitud de un registro de LUT */
#define TAM_INF_IMG 6 /* Tamaño de los datos de una imagen */
#define TAM_HISTO 1024 /* Tamaño del histograma en bytes */
#define LONGENCAB 128 /* Long. del encabezado de una img. mult. */
#define SEGMENTO 0xFFFF /* 64K - 1 de memoria */
#define SEGMENTOS4 0x3FFF /* 16K - 1 de memoria */
#define SEGMENTOS8 0x1FFF /* 8K - 1 de memoria */
#define VENT_AYUDA 17 /* Primera ventana de ayuda */
#define VENT_ERROR 15 /* Ventana de despliegue de errores */
#define VENT_MSG 16 /* Ventana de mensajes */
#define NUM_MSG 141 /* Mensajes de las ventanas */
#define ANCHO_MSG 51 /* Ancho de cada mensaje */
#define ATR_VAR 118 /* Atributo de las ventanas donde se leen datos */
#define ATR_MSG 79 /* Atributo de la vent. de mensajes */
```

```

#define ATR_ER 207 /* Atributo del mensaje de error */
#define X_MSG_LN 20 /* Posición de la ventana de mensajes */
#define Y_MSG_LN 18
#define X_MSG_ER 3 /* Posición de la ventana de errores */
#define Y_MSG_ER 5

```

/* DEFINICION DE CONSTANTES UTILIZADAS
EN LA PANTALLA DE DESPLIEGUE */

```

#define ALTOPAN 478 /* Renglones desplegados de la imagen */
#define ANCHOPAN 540 /* Columnas desplegadas de la imagen */
#define COLIZQ 1 /* Abcisa de la esq. inf. izq. en pantalla */
#define COLDER 540 /* Abcisa de la esq. sup. der. en pantalla */
#define RENINF 1 /* Ordenada de la esq. inf. izq. en pantalla */
#define RENSUP 478 /* Ordenada de la esq. sup. der. en pantalla */
#define ALTOSUB 239 /* Altura de la subimagen a ampliar en linea */
#define ANCHOSUB 270 /* Ancho de la subimagen a ampliar en linea */
#define ANCHOC 18 /* Ancho y alto de cada cuadrito de flechas */
#define COLB 564 /* Abcisa base del cuadrito de flechas */
#define COLC 582 /* COLB + ANCHOC */
#define COLD 545 /* COLDER + 10 */
#define RENA 116 /* Ordenada base de las opciones */
#define RENB 420 /* Ordenada base del cuadrito de flechas */
#define RENC 75 /* Ordenada del cuadro inferior */
#define ALTOHISTO 415 /* Altura del histograma desplegado */
#define COLIZQHISTO 14
#define COLDERHISTO 527
#define RENIZQHISTO 27
#define RENDERHISTO 447
#define COLORMARCOS 254 /* Color de los marcos desplegados */
#define COLORLETRAS 253 /* Color de las letras en el despliegue */
#define COLOROPCION 5 /* Color del cuadrito en la posición relativa */
#define COLORFONDO 88 /* Color del fondo de la pantalla de desp. */
#define DELTA 100 /* Incremento de la ventana en enrollamiento */
#define DELTASUB 10 /* Incremento en la ventana de ampliación */

```

/* DEFINICION DE CONTANTES DE LAS VENTANAS */

```

#define MAX_BLOQUE_VENTANA 4K para almacenar ventanas /*
#define MAX_TOPE 5 /* Máximo no. de elementos en el stack de vent.
#define NUM_VENTANAS 23 /* Número de ventanas */
#define ESQSUPIZQ 201
#define ESQSUPDER 187

```

```

#define ESQINFIZQ      200
#define ESQINFDER      188
#define UNIONIZQ       204
#define UNIONDER       185
#define UNIONVERT      186
#define UNIONHOR       205

```

/* DEFINICION DE CONSTANTES UTILIZADAS POR EL AUTOMATA */

```

#define ESTADOS        6
#define TIPOSCAR       7

```

/* DEFINICION DE ESTADOS DE ERROR Y CONSTANTES AFINES */

```

#define CRITICO        1
#define NO_CRITICO    0
#define ANCHO_ERR     50
#define NUM_ERRS      30

```

/* DEFINICION DE CONSTANTES DEL FILTRO */

```

#define ANCHO_MAX_FIL 11
#define ALTO_MAX_FIL  11

```

/* DEFINICION DE MACROS UTILIZADOS FRECUENTEMENTE POR SPID */

```

#define MAX(a,b)((a) < (b))?(b) : (a)*  Elemento máximo entre a y b      */
#define MIN(a,b)((a) < (b))?(a) : (b)/*  Elemento mínimo entre a y b    */

```

/* DEFINICION DE ESTRUCTURAS Y TIPOS */

```

typedef unsigned int PALABRA;
typedef unsigned char BYTE;
typedef BYTE far * APTRLEJOS;
typedef BYTE * APTRCERCA;
typedef char * CADENA;
typedef int IMAGEN;
typedef struct
{
    BYTE Emin,Emax; /* Información sobre la imagen. 6 bytes */
    PALABRA Alto,Ancho; /* Elementos mínimo y máximo de una imagen */
} /* Dimensiones de la imagen en disco */
typedef struct
{
    /* DIMEN; */
}

```

```

BYTE PosCol, PosRen;      /* Posición de la esq. sup. izq. de la ventana */
BYTE NumCols, NumRens;   /* Dimensiones de la ventana */
BYTE AtrTexNor;          /* Atributo del texto normal */
BYTE AtrTexOpc;          /* Atributo del texto que marca la opción actual */
BYTE AtrMarco;           /* Atributo del marco */
BYTE NumOpc;             /* Opción actual en la ventana */
BYTE Encabezado;         /* Índice de encabezado en el arreglo 'Mensaje' */
} VENTANA;
#endif

```

Bibliografía

- [Aho74] *The design and analysis of computer algorithms.* Alfred V. Aho, John E. Hopcroft, Jeffrey D. Ullman. Addison-Wesley, 1974.
- [Boor78] *A Practical Guide to Splines.* Carl de Boor. Springer-Verlag, 1978.
- [Boot67] *Sequential Machines and Automata Theory.* Taylor L. Booth. John Wiley and Sons, 1967.
- [Brac65] *The Fourier Transform and its Applications.* Ron Bracewell. Mc. Graw-Hill, 1965.
- [Cool67] *Applications of the Fast Fourier Transform to Computation of Fourier Integrals, Fourier Series and Convolution Integrals.* Lewis Cooley, J. W., P. A. W. and Welch. *IEEE Trans. on Audio and Electroacoustics*, AV-15, No. 2, 79, 1967.
- [Conr87] *Data Dependent Filters for Edge Enhancement of Landsat Images.* Knut Conradsen and Gert Wilson. *Computer, Graphics and Image Processing*, 38, pp. 101-121, 1987.
- [Daws87] *Introduction to Image Processing Algorithms.* Benjamin M. Dawson. *BYTE The Small Systems Journal*, Vol. 12, Num. 3, March, 1987.
- [Ekst84] *Digital Image Processing Techniques.* Michael P. Ekstrom. Academic Press, Inc, 1984.
- [Ellis2] *Fast Transforms, Algorithms, Analyses, Applications.* Douglas F. Elliot, K. Ramamohan Rao. Academic Press, 1982.
- [Gonz85] *Splines in Geophysics.* Pedro Gonzalez C. and Román Alvarez. *Geophysics*, vol. 50, No. 12, pp. 2831-2848, December 1985.
- [Hahn84] *Simple Enhancement Techniques in Digital Image Processing.* Saúl Hahn and Eugenio E. Mendoza. *Computer Graphics and Image Processing*, 26, pp. 233-241, 1984.
- [Hara78] *KANDIDATS: An Interactive Image Processing System.* Robert M. Haralick and Gary Minden. *Computer Graphics and Image Processing*, 8 pp. 1-15, 1978.
- [Hord82] *Digital Image processing of Remotely Sensed Data.* R. Michael Hord. Academic

Press, Inc, 1982.

- [Horo78] *Fundamentals of computer algorithms.* . Computer Science Press, 1978.
- [Knut86] *The T_EXbook.* Donald E. Knuth. Addison Wesley Publishing Company, 1986.
- [Kron89] *Algorithms. Their complexity and efficiency.* Lydia Kronsjö. John Wiley & Sons, 1979.
- [Land84] *HIPS: A Unix-Based Image Processing System.* Michael Landy, Yoav Cohen and George Sperling. *Computer Vision, Graphics and Image Processing*, 25, pp. 101-121, 1984.
- [Lira87] *La percepción remota: Nuestros ojos desde el espacio.* Jorge Lira. Fondo de cultura económica-CONACyT-SEP, 1987.
- [Math87] *Computer Processing of Remotely-Sensed Images.* Paul M. Mather. John Wiley & Sons, 1987.
- [Mill86] *Assembly Language Techniques for the IBM-PC.* Allan R. Miller. SIBEX Inc, 1986.
- [Offe85] *VLSI Image Processing.* R. J. Offen. *British Library Cataloguing in Publication Data*, 1985.
- [Pavl82] *Algorithms for Graphics and Image Processing.* Theo Pavlidis. Computer Science Press, 1982.
- [Rich86] *Remote Sensing Digital Image Analysis, An introduction.* John A. Richards. Springer-Verlag, 1986.
- [Star85] *8087 Applications and programming.* Richard Startz. Prentice Hall Press, 1985.
- [Vect86] *HP 82960 Graphics Controller Programmer's Reference Manual.* . Hewlett Packard, January, 1986.
- [Whit87] *Compressing Image Data with Quadtrees.* Ronald G. White. *Dr. Dobb's Journal of Software Tools*, Vol. 12, No. 3, March, 1987.